



## รายงานการวิจัย

โครงการวิจัยเรื่อง เครื่องให้ความร้อนแบบเหนี่ยวนำสำหรับงานเชื่อมประลามท่อทองแดง

An Induction Heater Employing for brazing tube Application



นายสายชล ชุดเจ้อจิน

นายวิเชียร หทัยรัตน์ศิริ

RMUTK - CARIT



3 2000 00094324 3

โครงการวิจัยทุนสนับสนุนงานวิจัยของมหาวิทยาลัยเทคโนโลยีราชมงคลกรุงเทพ  
งบประมาณแผ่นดิน ปี พ.ศ. 2553

มหาวิทยาลัยเทคโนโลยีราชมงคลกรุงเทพ

หัวข้องานวิจัย	เครื่องให้ความร้อนแบบเหนี่ยวนำสำหรับงานเชื่อมประสานท่อทองแดง
ผู้เขียน	นายสาบชล ชุดเจ้อจีน
	นายวิเชียร หทัยรัตน์คิริ
สาขาวิชา	วิศวกรรมไฟฟ้า
ภาควิชา	วิศวกรรมไฟฟ้าและโทรคมนาคม
คณะ	วิศวกรรมศาสตร์
พ.ศ.	2553

### บทคัดย่อ

งานวิจัยฉบับนี้เสนอของเรอินเวอร์เตอร์แบบครึ่งบริดจ์ที่มีการควบคุมวงปีกแบบบันาน สำหรับงานให้ความร้อนท่อสแตนเลส อุปกรณ์สวิตซ์ใช้ไอจีบีที่เป็นตัวสวิตซ์ อินเวอร์เตอร์ถูกควบคุมให้ทำงานที่ย่านความถี่สูงกว่าเรโซแนนซ์ เพื่อให้สวิตซ์นำกระแสที่แรงดันเป็นศูนย์ วงจรควบคุมสามารถปรับกระแสลงอย่างรวดเร็วขณะไม่มีโหลดได้โดยการปรับความถี่ เครื่องต้นแบบมีกำลังด้านเข้าขนาด 3.95 กิโลวัตต์ ปรับความถี่อยู่ในย่าน 42-75 กิโลเฮิรตซ์ สามารถให้ความร้อนกับท่อทองแดงที่มีเส้นผ่านศูนย์กลางประมาณ 50 มม. ยาว 10 มม. ให้มีอุณหภูมิสูงขึ้นจากอุณหภูมิห้องเป็น 700 องศาเซลเซียส ภายในเวลา 40 วินาที



## กิตติกรรมประกาศ

ในการจัดทำงานวิจัยฉบับนี้สำเร็จได้ด้วยดี ผู้เขียนขอขอบพระคุณ พศ.ชัยันต์ คุ่มภัย และ พศ. ดร. อนวัช แสงสว่าง อาจารย์ประจำภาควิชาวิศวกรรมไฟฟ้า มหาวิทยาลัยเทคโนโลยีพระจอมเกล้าธนบุรี ที่ได้กรุณาให้คำปรึกษาแนะนำและช่วยแก้ไขข้อบกพร่องปัญหาต่าง ๆ อีกทั้งยังได้ถ่ายทอดประสบการณ์จากการทำงานให้กับผู้เขียนเป็นอย่างมาก

ผู้วิจัยขอขอบคุณ สถาบันวิจัยและพัฒนา มหาวิทยาลัยเทคโนโลยีราชมงคลกรุงเทพที่ช่วยสนับสนุนเงินทุนในการวิจัยในการทำวิจัย และบุคลากรทุกท่านที่ให้ความสำคัญในการทำงานวิจัย ทั้งทางด้านเมิกจ่ายงบประมาณ และคืนค่าว่าหาข้อมูล สุดท้ายนี้ขอขอบพระคุณบิดา-มารดา ที่สนับสนุนในการศึกษาของผู้เขียน และให้กำลังใจในการศึกษาตลอดมา

ผู้ทำวิจัย



# สารบัญ

บทคัดย่อ	หน้า
กิตติกรรมประกาศ	ข
บทที่	ค
1. บทนำ	
1.1 ความเป็นมา	1
1.2 วัตถุประสงค์ของโครงการ	2
1.3 ขอบเขตของโครงการ	2
1.4 ขั้นตอนการดำเนินงาน	2
1.5 ประโยชน์ที่คาดว่าจะได้รับ	2
2. ทฤษฎีที่เกี่ยวข้อง	
2.1 หลักการให้ความร้อนแบบเหนี่ยวนำเบื้องต้น	3
2.2 แหล่งจ่ายไฟของขดลวดเหนี่ยวนำ	5
2.3 ผลางอุณหภูมิที่มีต่อคุณสมบัติของชิ้นงาน	7
2.4 ขดลวดเหนี่ยวนำและวงจรสมมูล	10
2.5 อินเวอร์เตอร์ 1 เฟส	14
2.6 เมล็ดอกลุป	16
2.7 วงจร Proportional-Integral Controller	22
3. โครงสร้างและส่วนประกอบของเครื่องเชื่อมแบบเหนี่ยวน้ำความร้อน	
3.1 โครงสร้างเครื่องเชื่อมแบบเหนี่ยวน้ำความร้อน	25
3.2 การทำงานของวงจร	26
3.3 วงจรขับนำเกต	29
3.4 Current Transformer สำหรับวัดกระแสที่ขดลวดเหนี่ยวน้ำความร้อน	31
4. ผลการทดสอบ	32
5. สรุปผลโครงการและข้อเสนอแนะ	
5.1 สรุปผลงานวิจัย	38
เอกสารอ้างอิง	39

	หน้า
ภาพพนวก ก.	40
ภาพพนวก ข.	59
ภาพพนวก ค.	62
ประวัตินักวิจัย	



## บทที่ 1

### บทนำ

#### 1.1 ความเป็นมาและความสำคัญของโครงงาน

ปัจจุบันหลักการเหล่านี้ยังมีความร้อนไว้ใช้งานได้หลากหลาย เช่น brazing, surface hardening, welding, forming และ melting ซึ่งในแต่ละงานจะต้องใช้ความถี่และกำลังไฟฟ้าแตกต่างกันขึ้นอยู่กับชนิดของงานและขนาดของโลหด[1] การให้ความร้อนแบบเหล่านี้ยังมีข้อดีคือสามารถให้ความร้อนที่เกิดขึ้นมีความสม่ำเสมอทั้งชิ้นงาน ชิ้นงานกับแหล่งพลังงานไม่มีการสัมผัสกันโดยตรง ไม่ก่อให้เกิดมลพิษแก่สิ่งแวดล้อมเป็นต้น[2] ลักษณะโดยทั่วไปของอินเวอร์เตอร์ที่ถูกนำมาใช้ในงานให้ความร้อนแบบเหล่านี้ยังแบ่งตามลักษณะของแหล่งจ่ายได้เป็น 2 ประเภทใหญ่ ๆ คือ อินเวอร์เตอร์ชนิดแหล่งจ่ายแรงดันคงที่และอินเวอร์เตอร์ชนิดแหล่งจ่ายกระแสคงที่ ซึ่งอินเวอร์เตอร์ชนิดแหล่งจ่ายแรงดันคงที่ยังคงใช้กันมากอยู่ในปัจจุบัน วงจรที่ถูกนำมาใช้มีอยู่มากเช่น วงจรอินเวอร์เตอร์แบบเด็นบริดจ์ วงจรควบคุมโซลาร์ โซลาร์เซลล์ วงจรคลาสดีอินเวอร์เตอร์เป็นต้น ซึ่งจะขึ้นอยู่กับกำลังไฟฟ้าที่ใช้

อินเวอร์เตอร์ชนิดแหล่งจ่ายแรงดันคงที่สำหรับเครื่องที่มีกำลังไม่เกิน 20 กิโลวัตต์จะนิยมใช้วิธีการควบคุมกำลังแบบปรับความถี่ [3] เพราะเป็นวิธีที่ง่าย และวงจรไม่ซับซ้อน

นกคดล และคณะ (2540) ได้ทำการสร้างอินเวอร์เตอร์แบบปรับความถี่อัตโนมัติสำหรับงานทุบเข็มรูปโลหะ โดยใช้วงจรคริจิบридจ์อินเวอร์เตอร์เรโซลูเอนซ์แบบอนุกรมขนาด 6 เกวีโอ มีตัวประกอบกำลังด้านเข้าอยู่ระหว่าง 0.63-0.67 มีการควบคุมด้านเข้าโดยจำกัดกระแสโลหดของวงจร อินเวอร์เตอร์ Khan และคณะ (1998) ได้ทำการสร้างเตาหลอมโดยใช้ฟลูบิริดจ์อินเวอร์เตอร์เรโซลูเอนซ์แบบขนาด มีการควบคุมแบบวงปีด จากการวิจัยดังกล่าวจะเห็นได้ว่าเครื่องที่สร้างขึ้นมี มีตัวประกอบกำลังด้านเข้าค่อนข้างต่ำประสิทธิภาพการทำงานจึงลดต่ำลงไปด้วย ซึ่งเกิดจากไม่มี การควบคุมให้เครื่องทำงานที่จุดเรโซลูเอนซ์และการปรับกระแส เพื่อปรับกำลังด้านเข้าทำให้ไม่ สามารถควบคุมกำลังด้านออกได้ เพราะกระแสที่ด้านออกจะไม่เป็นรูปคลื่นซายน์

ปัจจุบันวงจรควบคุมกำลังแบบปรับความถี่ที่ทำกัน โดยทั่วไปจะมีลักษณะที่ต่อ กันเป็น แบบคาสเคด โดยมีการควบคุมมุมไฟฟ้าที่ลูปใน และลูปนอกควบคุมกระแสซึ่งการต่อแบบนี้ การ ปรับให้ การควบคุมเป็นไปได้อย่างมีประสิทธิภาพทำได้ยาก เพราะการทั้งลูปในและลูปนอกมี ความสัมพันธ์กัน จึงทำให้การควบคุมไม่อิสระจากกัน

ดังนั้นในงานวิจัยนี้นำเสนอของวงจร วงจรอินเวอร์เตอร์แบบคริจิบридจ์ ทำงานที่ย่านความถี่ สูงกว่าเรโซลูเอนซ์ เพื่อให้สวิตช์นำกระแสที่แรงดันเป็นศูนย์ มีการควบคุมกำลังโดยการปรับ

ความถี่ของปัจจัยที่มีผลต่อความสามารถในการทำงาน เช่น ภาระงานหนัก ความเครียด ความไม่สงบในบ้าน เป็นต้น จึงส่งผลกระทบต่อความสามารถในการทำงานของบุคคล

## 1.2 วัตถุประสงค์ของโครงการ

- 1.2.1 เพื่อออกแบบและสร้างเครื่องเงินยาน้ำร้อนในการเชื่อมประสานท่อทองแดงให้มีขนาดเบาและกระหัคได้
- 1.2.2 เพื่อนำเครื่องที่ออกแบบได้ไปเชื่อมท่อทองแดงในแอร์ที่ร้าวได้ซึ่งปัจจุบันจะใช้อัจฉริยะมาก

## 1.3 ขอบเขตของโครงการ

สามารถออกแบบและสร้างวงจรอินเวอร์เตอร์ความถี่สูงในงานเชื่อมประสานท่อทองแดงได้

## 1.4 วิธีการดำเนินการวิจัย และสถานที่ทำการทดลอง/เก็บข้อมูล

1. แบบการวิจัย ออกแบบเตาหุงต้มแบบใหม่ยาน้ำที่มีความเหมาะสม และศึกษาสภาพที่เหมาะสมต่อไปได้
2. ขั้นตอนและวิธีการในการเก็บข้อมูล ศึกษาคุณลักษณะของสัญญาณไฟฟ้าที่สำคัญต่างๆ พร้อมทั้งปรับปรุงแก้ไขให้เหมาะสม
3. ขั้นตอนและวิธีการในการวิเคราะห์ข้อมูล วิเคราะห์การทำงานของวงจรอินเวอร์เตอร์ ความถี่สูงเพรียบเทียบกับแบบจำลองระบบในคอมพิวเตอร์

สถานที่ทำการทดลอง/เก็บข้อมูล

สาขาวิชาชีวกรรม ไฟฟ้า คณะชีวกรรมศาสตร์ มหาวิทยาลัยเทคโนโลยีราชมงคลกรุงเทพ  
เลขที่ 2 ถนนนang ลีนจี้ แขวงทุ่งมหาเมฆ เขตสาทร กรุงเทพฯ 10120

## 1.5 ประโยชน์ที่คาดว่าจะได้รับ

- 1.5.1 คาดว่าเมื่องานวิจัยสำเร็จแล้วจะสามารถใช้เป็นเครื่องต้นแบบในการวิจัยพัฒนาหรือการนำไปใช้งานในภาคอุตสาหกรรมของประเทศไทยในอนาคตต่อไป
- 1.5.2 สามารถนำผลงานที่สำเร็จไปตีพิมพ์เป็นบทความวิจัยในระดับประเทศและต่างประเทศ
- 1.5.3 สามารถลดการนำเข้าสินค้าจากต่างประเทศได้
- 1.5.4 สามารถลดพลังงานไฟฟ้าได้

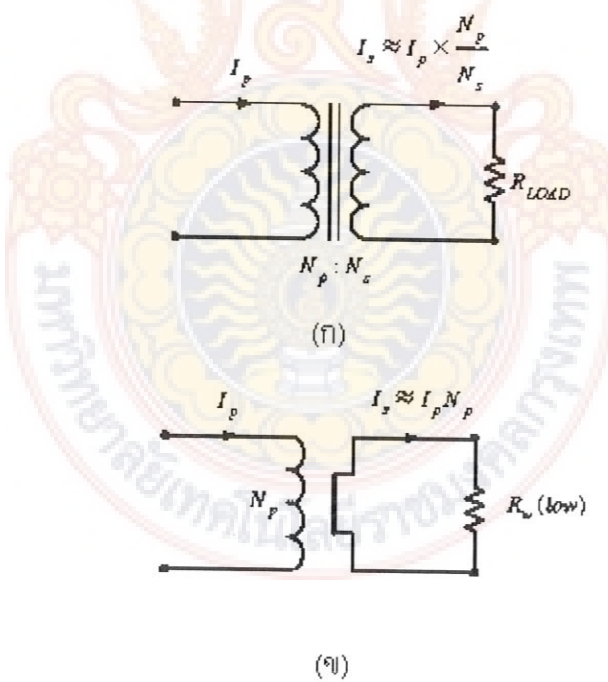
## บทที่ 2

### ทฤษฎีและหลักการที่เกี่ยวข้อง

ในบทนี้จะได้กล่าวถึงทฤษฎีที่เกี่ยวข้องได้แก่ หลักการให้ความร้อนแบบเหนี่ยวนำเบื้องต้น ขดหนี่ยวนำซึ่งเป็นส่วนที่สำคัญสำหรับการให้ความร้อนแบบเหนี่ยวนำ อินเวอร์เตอร์เรไซแนนท์แหล่งจ่ายแรงดันเต็มบริคจ์ หลักการควบคุมมุมไฟฟ้าที่และการวิเคราะห์กำลังไฟฟ้าที่ขดหนี่ยวนำ

#### 2.1 หลักการให้ความร้อนแบบเหนี่ยวนำเบื้องต้น

หลักการพื้นฐานของการให้ความร้อนแบบเหนี่ยวนำสามารถอธิบายให้เห็นได้ชัดเจนโดยเปรียบเทียบกับหลักการของหม้อแปลงไฟฟ้า ดังรูปที่ 2.1(ก) ซึ่งประกอบไปด้วยค่าคลาดปฐมภูมิและทุติยภูมิ (Primary and Secondary Winding) โดยขดหนี่ยวนำเปรียบเสมือนค่าคลาดปฐมภูมิของหม้อแปลงและชื่นงานกับเปรียบเสมือนค่าคลาดทุติยภูมิจำนวน 1 รอบที่ลัดวงจรไว้โดย  $I_p$  เป็นกระแสที่จ่ายให้กับขดหนี่ยวนำและ  $I_s$  เป็นกระแสที่ไหลในชื่นงาน ดังวงจรสมมูลในรูปที่ 2.1(ก)



รูปที่ 2.1 (ก) วงจรสมมูลอย่างง่ายของหม้อแปลงและ (ก) วงจรสมมูลของขดหนี่ยวนากับชื่นงาน

คั้งน้ำนกำลังที่ชิ้นงาน

$$P_w = I_s^2 R_w \quad (2.1)$$

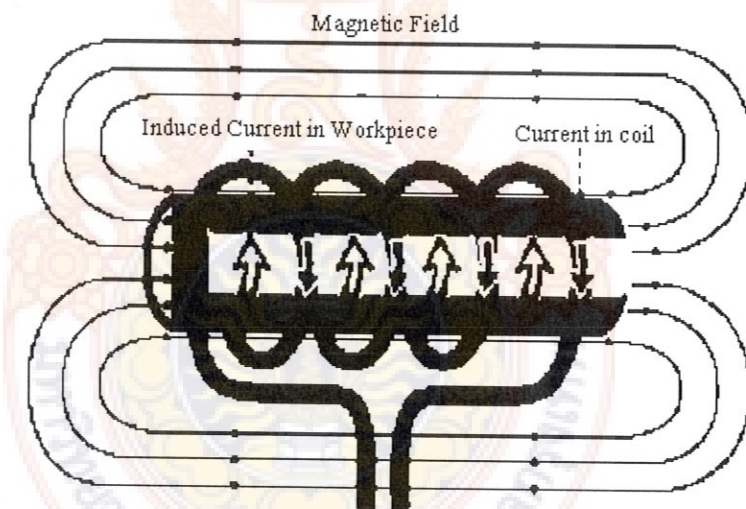
แทนค่า  $I_s = I_p N_p$  จะได้  $P_w = I_p^2 N_p^2 R_w$

โดย

$P_w$  กือ กำลังที่ชิ้นงาน (W)

$R_w$  กือ ความต้านทานสมมูลของชิ้นงาน ( $\Omega$ )

ลักษณะโครงสร้างอย่างจ่ายของการให้ความร้อนแบบเหนี่ยวนำได้แสดงไว้ดังรูปที่ 2.2 เมื่อขดหนึ่ยวนำได้รับกระแสไฟสัลบจะทำให้เกิดฟลักซ์แม่เหล็กสัลบคล้องผ่านชิ้นงานทำให้เกิดแรงเคลื่อนไฟฟ้าเหนี่ยวนำทำให้เกิดกระแสไฟลุวในชิ้นงานทำให้เกิดความร้อนขึ้นที่ชิ้นงานได้ และเนื่องจากกระแสที่ป้อนให้กับขดหนึ่ยวนำมักจะมีปริมาณที่สูงมาก จึงต้องมีระบบระบายความร้อนด้วยน้ำภายในขดหนึ่ยวนำเพื่อลดกำลังสูญเสียที่ขดหนึ่ยวนำ



รูปที่ 2.2 โครงสร้างอย่างจ่ายของการให้ความร้อนแบบเหนี่ยวนำ[1]

ในหลักการดังกล่าวกระแสไฟลุวจะมีความหนาแน่นมากที่สุดที่บริเวณผิวของชิ้นงานเนื่องจากผลของการรั่วพื้นผิว (Skin Effect) และความหนาแน่นของกระแสลดลงมาเป็นประมาณ 0.368 เท่าของค่าความหนาแน่นกระแสที่ผิวของชิ้นงานที่ค่าความลึกพิว (Skin Depth) ซึ่งสามารถคำนวณได้จากสมการที่ 2.2 [1]

$$\text{Skin depth, } \delta = \sqrt{\frac{\rho}{\mu \sigma}} \quad (2.2)$$

โดย

$\delta$  คือ ความลึกผิว (m)

$\rho$  คือ ความต้านทานนำไฟฟ้าของชิ้นงาน ( $\Omega \cdot \text{m}$ )

$\mu$  คือ ความซึมซาบแม่เหล็กของชิ้นงาน ( $\text{H/m}$ )

$f$  คือ ความถี่ของแหล่งจ่ายไฟฟ้าสัมบ (Hz)

จากสมการที่ 2.2 แสดงให้เห็นว่าค่าความลึกผิวขึ้นอยู่กับค่าความถี่ของกระแสไฟฟ้าสัมบที่จ่ายให้ขาดเหนี่ยวนำ, ค่าความซึมซาบแม่เหล็ก (Permeability), ความต้านทานนำไฟฟ้า (Resistivity) ของชิ้นงาน

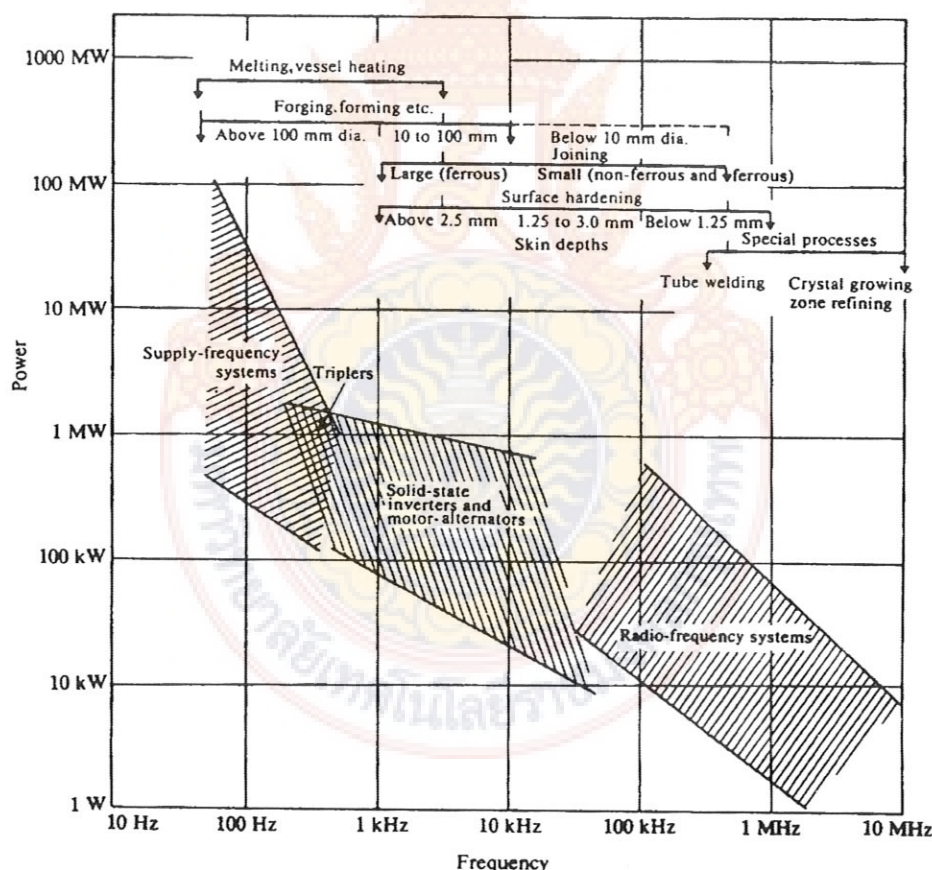
## 2.2 แหล่งจ่ายกำลังไฟฟ้าของขาดเหนี่ยวนำ [6]

ในทางปฏิบัติถกขณะงานที่แตกต่างกันก็มีความต้องการค่าความลึกผิวและกำลังไฟฟ้าที่แตกต่างกัน เช่น การชุบแข็งที่ผิวชิ้นงานจะต้องการค่าความลึกผิวที่ต่ำจึงต้องใช้ความถี่ที่สูงทำให้มีค่าความหนาแน่นของกำลังไฟฟ้าที่สูง ส่วนในงานประเภทการให้ความร้อนสำหรับการหุงขึ้นรูปโลหะจะต้องการค่าความลึกผิวที่ค่อนข้างสูง ความถี่การทำงานจึงต่ำกว่า เป็นต้น

รูปที่ 2.3[1] แสดงช่วงความถี่การทำงาน และระดับกำลังออกของเครื่องให้ความร้อนแบบเหนี่ยวนำแต่ละแบบ โดยขึ้นกับแหล่งกำเนิดไฟฟ้าสัมบที่จ่ายให้กับเครื่อง และยังขึ้นกับอุปกรณ์ที่ใช้ในวงจร รวมทั้งแสดงความถี่กับการประยุกต์ใช้งานในแต่ละช่วงด้วย ระบบการให้ความร้อนแบบเหนี่ยวนำที่ใช้ในปัจจุบันจำแนกได้ดังนี้

1. แหล่งจ่ายกำลังไฟฟ้าโดยตรง เป็นระบบที่ใช้ความถี่จากสายสั่งโดยตรง (50 to 60 Hz) แรงดันไฟฟ้ามีความถี่ค่อนข้างต่ำ จึงทำให้ค่าความลึกผิวในการให้ความร้อนมีค่ามาก โดยค่าความลึกผิวจะมีค่าสูงตั้งแต่ 10 ถึง 100 มิลลิเมตร เครื่องให้ความร้อนแบบนี้นิยมใช้ในงานหลอมโลหะ มีระดับกำลังที่สูงเป็นหลายเมกะวัตต์
2. แหล่งจ่ายกำลังจากชุดมอเตอร์และเครื่องกำเนิดไฟฟ้า เป็นระบบที่มีการผลิตความถี่จากระบบไฟฟ้าโดยใช้มอเตอร์แบบเหนี่ยวนำไปขับเคลื่อนเครื่องกำเนิดไฟฟ้า ซึ่งสร้างแรงดันไฟฟ้าที่มีความถี่สูงขึ้น โดยสามารถทำความถี่ได้ในช่วง 500 Hz ถึง 10 kHz ทำให้ได้ความลึกผิวตั้งแต่ 1 ถึง 10 มิลลิเมตร เครื่องให้ความร้อนชนิดนี้สามารถให้กำลังได้หลายร้อยกิโลวัตต์ ใช้ในงานหลอมโลหะมีระดับกำลังประมาณ 500 กิโลวัตต์ต่อเครื่อง

3. แหล่งจ่ายกำลังจากระบบวงจรแปลงผันที่ใช้สิ่งประดิษฐ์สารกึ่งตัวนำ โดยมีการจัดวงจรได้หลากหลายลักษณะ ซึ่งในปัจจุบันนิยมใช้ออสซีอาร์, ทรานซิสเตอร์กำลัง, มอสเฟทกำลังและไอจีบี ที่เป็นอุปกรณ์สวิตซ์ โดยมีข่ายความถี่ตั้งแต่ 500 Hz ถึง 50 kHz การใช้งานมีหลายลักษณะ เช่น ที่ความถี่ค่ามักจะเป็นงานหลอมโลหะ, ความถี่ปานกลางสำหรับงานทุบขี้รูปโลหะ, ความถี่สูงสำหรับงานชุบแข็งผิว เป็นต้น
4. แหล่งจ่ายกำลังย่านความถี่วิทยุ (50 kHz ถึง 10 MHz) สำหรับความถี่ไม่เกิน 100 kHz ยังสามารถใช้พวกลมอสเฟทกำลังได้ แต่ที่ความถี่สูงมากๆ นิยมใช้หลอดสุญญากาศเพระสิ่งประดิษฐ์สารกึ่งตัวนำซึ่งมีสมรรถนะในการใช้งานที่ความถี่สูงไม่ดีพอ โดยค่าความลึกผิวมีค่า 0.1-2 มิลลิเมตร เครื่องให้ความร้อนแบบเหนี่ยววนัน จะให้กำลังค่อนข้างต่ำเนื่องจากทำงานในย่านความถี่สูง นิยมใช้ในงานเชื่อมประสานและการชุบผิวแข็ง



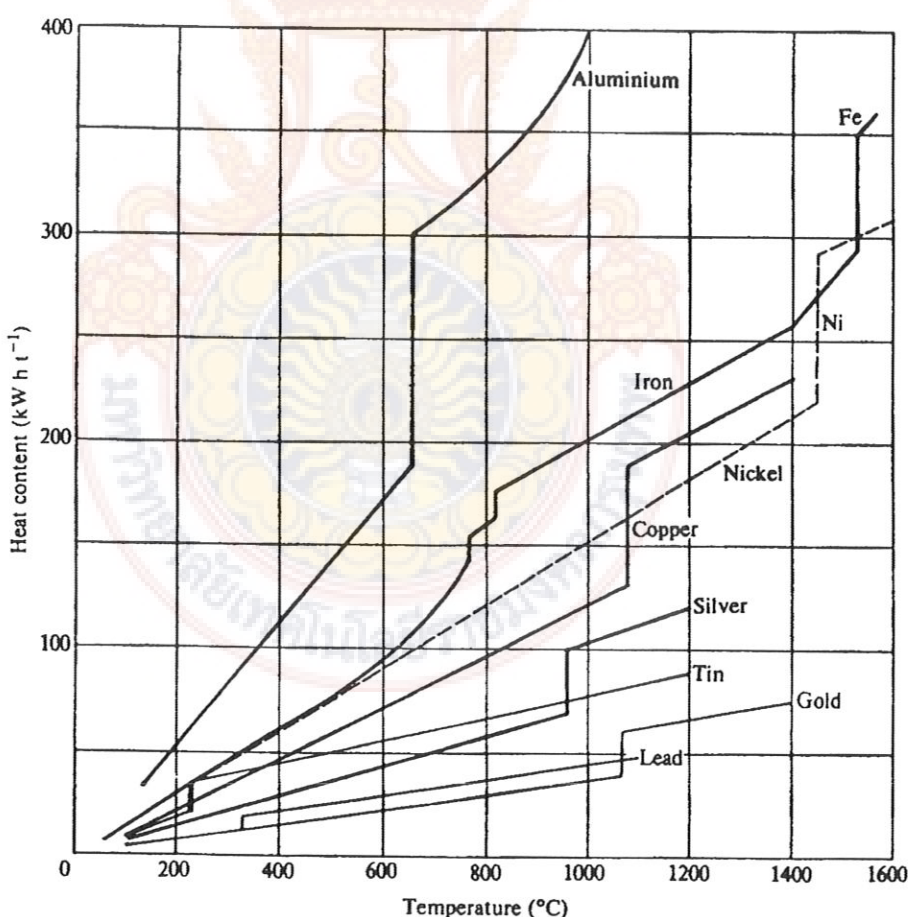
รูปที่ 2.3 กราฟแสดงถึงช่วงความถี่และกำลังของการใช้งานเครื่องให้ความร้อนแบบเหนี่ยววนัน [1]

## 2.3 ผลกระทบอุณหภูมิที่มีต่อคุณสมบัติของชิ้นงาน

อุณหภูมิของชิ้นงานมีผลต่อคุณสมบัติของชิ้นงานที่เกี่ยวข้องกับการให้ความร้อนด้วยการเห็นยาน้ำดังนี้

### 2.3.1 ค่าความจุความร้อนของชิ้นงาน

ในการให้ความร้อนแก่ชิ้นงานจำเป็นต้องมีพลังงานจำนวนหนึ่งเพื่อทำให้ชิ้นงานมีอุณหภูมิตามที่ต้องการ โดยพลังงานจำนวนนี้สามารถคำนวณได้จากค่าความร้อนจำเพาะ (Specific Heat,  $c$ ) ซึ่งมีหน่วยเป็น watt-second per kilogram per Kelvin และความร้อนแฝง (Latent Heat) แต่ในทางปฏิบัตินิยมใช้ค่าความจุความร้อน (Heat Content) ซึ่งมีหน่วยเป็น kilowatt-hour per tonne สำหรับการคำนวณ เมื่อพิจารณาจากค่าความจุความร้อนจะเห็นได้ว่าพลังงานที่ต้องการในการให้ความร้อนให้ได้อุณหภูมิตามที่ต้องการนั้นจะขึ้นอยู่กับน้ำหนักของชิ้นงาน ชนิดของวัสดุ และระยะเวลาที่ต้องการ ค่าความจุความร้อนของวัสดุต่างๆ ได้แสดงไว้ดังรูปที่ 2.4



รูปที่ 2.4 ความจุความร้อนของโลหะชนิดต่างๆ ที่อุณหภูมิเริ่มต้น  $20^{\circ}C$  [1]

### 2.3.2 การเปลี่ยนแปลงค่าความต้านทานนำไฟฟ้าของโลหะตามอุณหภูมิ

เมื่ออุณหภูมิของโลหะมีค่าสูงขึ้น ค่าความต้านทานนำไฟฟ้าจะมีการเปลี่ยนแปลงตามอุณหภูมิโดยโลหะส่วนใหญ่จะมีการเปลี่ยนแปลงที่เป็นเชิงเส้นในช่วงหนึ่งดังนี้

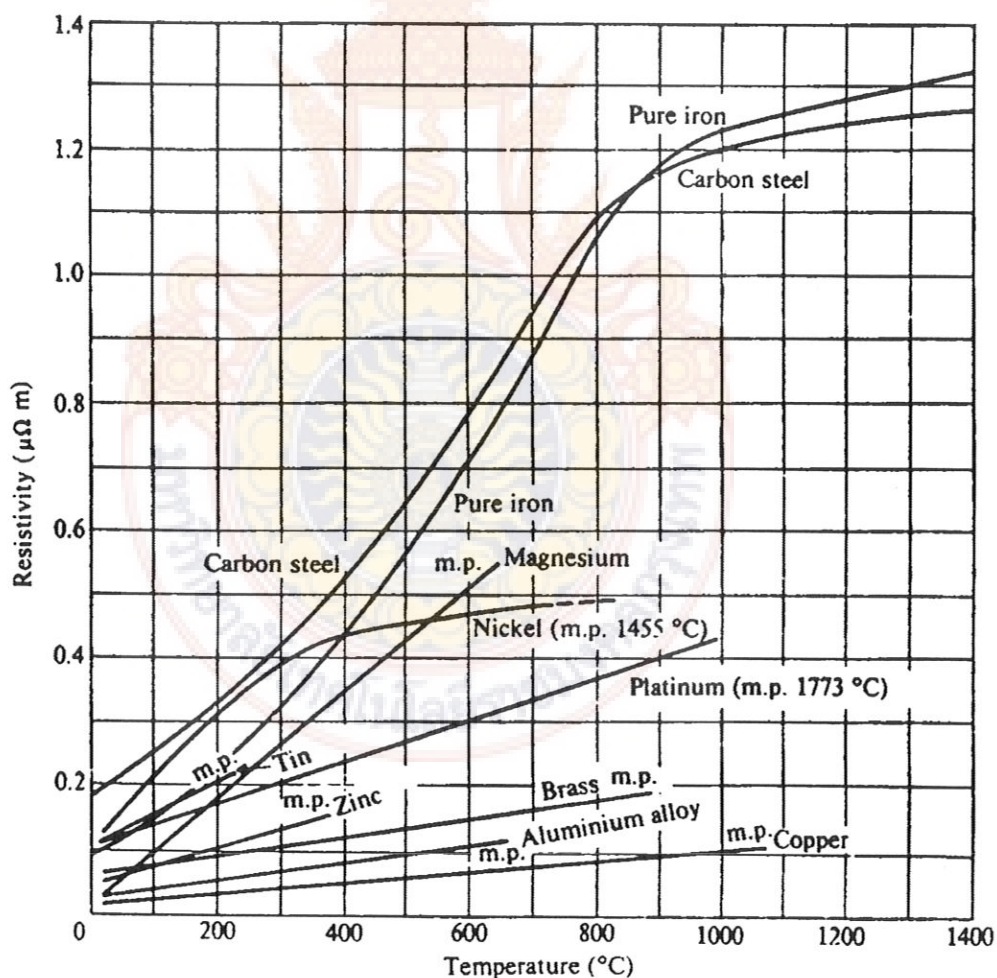
$$\rho_{\theta} = \rho_1 [1 + \alpha(\theta_t - \theta_1)] \quad (2.3)$$

โดย

$\rho_{\theta}$  เป็นค่าความต้านทานนำไฟฟ้าที่อุณหภูมิ  $\theta_t$  ไดๆ ( $\Omega_m$ )

$\rho_1$  เป็นค่าความต้านทานนำไฟฟ้าที่อุณหภูมิ  $\theta_1$  ( $\Omega_m$ )

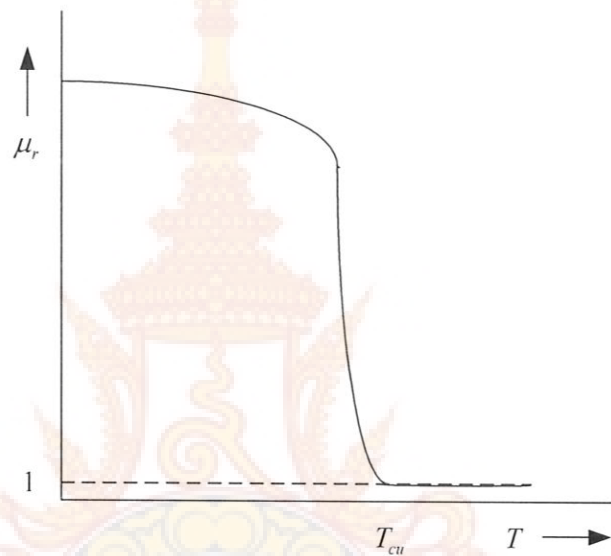
การเปลี่ยนแปลงของค่าความต้านทานนำไฟฟ้าของโลหะต่างๆ เป็นดังรูปที่ 2.5



รูปที่ 2.5 การเปลี่ยนแปลงค่าความด้านทานจำเพาะกับอุณหภูมิ [1]

### 2.3.3 ความซึ้งชานแม่เหล็กของโลหะตามอุณหภูมิ

โลหะที่เป็นสารแม่เหล็กนั้น โดยปกติจะมีค่าความซึ้งชานแม่เหล็กที่ค่อนข้างสูง แต่เมื่ออุณหภูมิเพิ่มขึ้นค่า  $\mu_r$  จะลดลง จนกระทั่งเมื่ออุณหภูมิที่เรียกว่า อุณหภูมิคิรี (Curie Temperature) สารแม่เหล็กจะเปลี่ยนสภาพไปเป็นสารไม่เป็นแม่เหล็ก มีค่าความซึ้งชานแม่เหล็กสัมพัทธ์เป็น 1 หรือเท่ากับความซึ้งชานแม่เหล็กของอากาศนั้นเอง ( $\mu_r = 1$ )



รูปที่ 2.6 แสดงกราฟความสัมพันธ์ระหว่างความซึ้งชานแม่เหล็กสัมพัทธ์กับอุณหภูมิ [1]

## 2.4 ขดเหนี่ยวนำและวงจรสมมูล

ขดเหนี่ยวนำมีวงจรสมมูลประกอบด้วยส่วนที่เป็นค่าความต้านทานและค่ารีแอคแทนซ์ ซึ่งโดยปกติแล้วมีการพับเป็นชั้นเดียว (Single Layer) และมีการระบายน้ำร้อนออกจากตัวขดเหนี่ยวนำเพื่อลดความร้อนที่ตัวเหนี่ยวนำในขณะทำงาน

เมื่อผ่านกระแสเข้าไปในขดเหนี่ยวนำก็จะทำให้เกิดฟลักซ์แม่เหล็กดังผ่านส่วนต่างๆ ภายในขดเหนี่ยวนำดังแสดงในรูปที่ 2.7 [1]

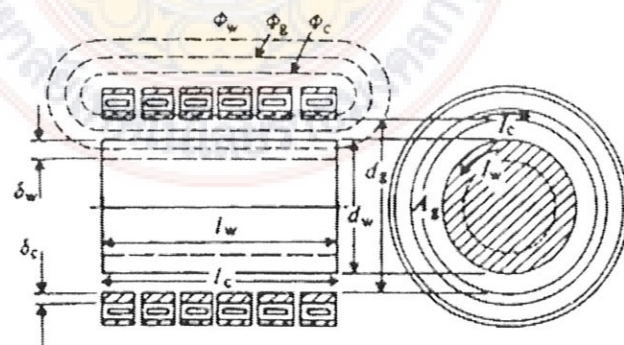
โดยที่  $\phi_w$  คือ ฟลักซ์แม่เหล็กที่คล้องชิ้นงาน ( $W_b$ )

$\phi_g$  คือ ฟลักซ์แม่เหล็กที่คล้องช่องว่างอากาศ ( $W_b$ )

$\phi_c$  คือ ฟลักซ์แม่เหล็กที่คล้องขดเหนี่ยวนำ ( $W_b$ )

ฟลักซ์แม่เหล็กที่คล้องชิ้นงาน ( $\phi_w$ ) เป็นฟลักซ์แม่เหล็กในส่วนที่ตัดผ่านชิ้นงานทำให้เกิดกระแสไฟฟานิชิ้นงานที่ทำให้เกิดความร้อนขึ้น โดยค่ากำลังที่ชิ้นงาน ( $P_w$ ) จะขึ้นอยู่กับค่าความเข้ม spanning แม่เหล็กที่ขดเหนี่ยวนำและค่าแฟกเตอร์  $p$  (แฟกเตอร์  $p$  และ  $q$  แสดงในภาคผนวก ฯ) ดังสมการที่ 2.4

$$P_w = \mu \pi f H_{Rm}^2 (l_w A_w) p \quad (2.4)$$



รูปที่ 2.7 แสดงฟลักซ์แม่เหล็กที่คล้องผ่านส่วนต่างๆ ของขดเหนี่ยวนำและเฟสเซอร์ ไดอะแกรม

ค่าฟลักซ์แม่เหล็กคล้องผ่านชิ้นงานคำนวณได้จาก

$$\phi_{wm} = \mu H_{Rm} A_w (q - jp) \quad (2.5)$$

โดยที่  $P_w$  คือ กำลังที่เกิดขึ้นที่ชิ้นงาน (W),  $H_{Rm}$  คือ ความเข้มสนามแม่เหล็กสูงสุดที่ผิวชิ้นงาน ( $Am^{-1}$ ),  $\phi_{wm}$  คือ ฟลักซ์แม่เหล็กสูงสุดที่ตัดผ่านชิ้นงาน,  $A_w$  และ  $I_w$  คือ พื้นที่หน้าตัดและความยาวของชิ้นงาน ( $m^2, m$ )

ฟลักซ์แม่เหล็กที่คล้องช่องว่างอากาศ ( $\phi_g$ ) ในการออกแบบขดเหนี่ยวนำนี้ จำเป็นต้องเพื่อระบบท่อระบายน้ำทั่วไปตัดเฉพาะหนี่ยวนำกับชิ้นงาน เพื่อให้สามารถใส่ชิ้นงานได้สะดวกและใส่ชิ้นงานร้อนเพื่อกันความร้อนจากการแพร่รังสีความร้อนจากชิ้นงานสู่ขดเหนี่ยวนำ ดังนั้นจึงมีฟลักซ์แม่เหล็กตัดผ่านในส่วนช่องว่างอากาศนี้ด้วย ดังสมการที่ 2.6 ซึ่งมีผลต่อค่าตัวประกอบกำลังของขดเหนี่ยวนำ

$$\phi_{gm} = \mu_0 H_{Rm} A_g \quad (2.6)$$

โดยที่  $A_g$  คือพื้นที่หน้าตัดในส่วนที่เป็นช่องว่างอากาศ ( $m^2$ )

ฟลักซ์แม่เหล็กที่คล้องขดลวดเหนี่ยวนำ ( $\phi_c$ ) เป็นฟลักซ์แม่เหล็กที่ตัดผ่านตัวขดเหนี่ยวนำเองและมีผลปรากฏการณ์พื้นผิวเช่นเดียวกับที่ชิ้นงาน โดยมีปริมาณฟลักซ์ที่ตัดผ่านดังสมการที่ 2.7

$$\phi_{cm} = k_r \frac{\mu_0 \delta_c \pi d_c}{2} H_{Rm} (1 - j) \quad (2.7)$$

โดยที่  $k_r$  คือ Correction factor ที่เกิดจากตัวนำของขดเหนี่ยวนำมีระบบห่างระหว่างกันในแต่ละรอบ ซึ่งโดยปกติจะมีค่าประมาณ 1.15 และ  $d_c$  คือ เส้นผ่านศูนย์กลางภายในของขดเหนี่ยวนำ ( $m$ )

ดังนั้นผลรวมของฟลักซ์แม่เหล็กที่เกิดขึ้นทั้งหมดจะเป็นดังนี้

$$\phi_{0m} = \phi_{wm} + \phi_{gm} + \phi_{cm} \quad (2.8)$$

เมื่อแทนค่าจากสมการที่ 2.5, 2.6 และ 2.7 ลงในสมการที่ 2.8 จะได้

$$\phi_{0m} = \mu_0 H_{0m} [(A_g + \mu_r q A_w + k_r \frac{\pi d_c \delta_c}{2}) - j(\mu_r p A_w + k_r \frac{\pi d_c \delta_c}{2})] \quad (2.9)$$

โดยที่ค่าความเข้มสนามแม่เหล็ก

$$H_{0m} = \sqrt{2} I_c N_c / l_c \quad (2.10)$$

เมื่อ  $I_c$  คือกระแส rms ที่ขดหนี่ยวน้ำ(A),  $N_c$  คือจำนวนรอบของขดหนี่ยวน้ำ,  $l_c$  คือความยาวขดหนี่ยวน้ำ(m)

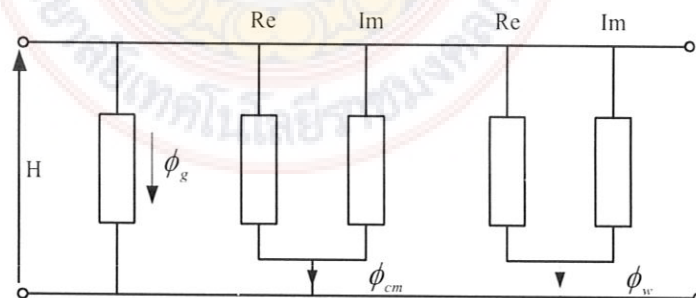
และค่าแรงดันที่ขดหนี่ยวน้ำคือ

$$E_c = j \frac{2\pi}{\sqrt{2}} f N_c \phi_{om} \quad (2.11)$$

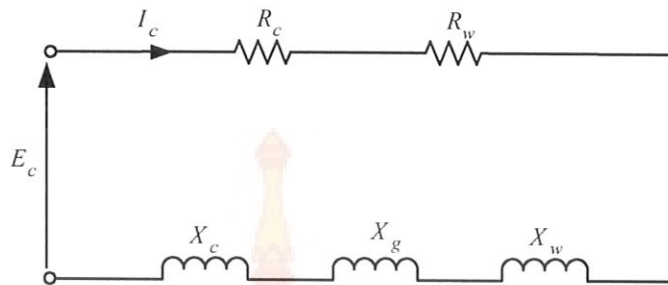
แทนสมการที่ 2.9 และ 2.10 ลงในสมการที่ 2.11 ทำให้ได้สมการเป็น

$$E_c = \frac{2\pi f \mu_0 N_c^2}{l_c} I_c [(\mu_r p A_w + \frac{k_r \pi d_c \delta_c}{2}) + j(A_g + \mu_r q A_w + \frac{k_r \pi d_c \delta_c}{2})] \quad (2.12)$$

จากสมการที่ 2.9 และ 2.12 สามารถนำไปเขียนวงจรสมมูลทางแม่เหล็กและทางไฟฟ้าของขดหนี่ยวน้ำได้ดังรูปที่ 2.8 และ 2.9 ตามลำดับ



รูปที่ 2.8 วงจรสมมูลทางแม่เหล็กของขดหนี่ยวน้ำ



รูปที่ 2.9 วงจรสมมูลทางไฟฟ้าของขดเหนี่ยวนำ

โดยที่

$$Z = (R_w + R_c) + j(X_g + X_w + X_c) \quad (2.13)$$

ความต้านทานของชิ้นงาน

$$R_w = K(\mu_r p A_w) \quad \text{โอห์ม} \quad (2.14)$$

ความต้านทานของขดเหนี่ยวนำ

$$R_c = K\left(\frac{k_r \pi d_c \delta_c}{2}\right) \quad \text{โอห์ม} \quad (2.15)$$

รีแอคแทนซ์ของช่องว่างอากาศ

$$X_g = K(A_g) \quad \text{โอห์ม} \quad (2.16)$$

รีแอคแทนซ์ของชิ้นงาน

$$X_w = K(\mu_r q A_w) \quad \text{โอห์ม} \quad (2.17)$$

รีแอคแทนซ์ของขดเหนี่ยวนำ

$$X_c = K\left(\frac{k_r \pi d_c \delta_c}{2}\right) \quad \text{โอห์ม} \quad (2.18)$$

โดยที่

$$K = \frac{2\pi f \mu_0 N_c^2}{l_c} \quad (2.19)$$

จากค่าพารามิเตอร์ดังกล่าวทำให้สามารถคำนวณคุณสมบัติของขดเหนี่ยวนำได้ดังนี้

$$\text{ประสิทธิภาพของขดเหนี่ยวนำ} \quad \eta = \frac{R_w}{R_w + R_c} \quad (2.20)$$

$$\text{ตัวประกอบกำลังของขดเหนี่ยวนำ} \quad \cos \theta = \frac{R_w + R_c}{Z} \quad (2.21)$$

กำลังงานที่ขดเหนี่ยวนำ

$$P_c = \frac{P_w}{\eta} \quad (2.22)$$

จากสมการต่างๆ ที่เกี่ยวข้องกับค่าพารามิเตอร์ของขดเหนี่ยวนำ เมื่อนำมาเชื่อมโยงจะพบว่า

- ค่าประสิทธิภาพของขดเหนี่ยวนำที่ขึ้นอยู่กับชนิดของชิ้นงานที่ต้องการให้ความร้อนโดยหากค่าความต้านทาน  $R_w$  กับ  $R_c$  มีค่าใกล้เคียงกันจะทำให้ประสิทธิภาพมีค่าประมาณ 50% ซึ่งสามารถสรุปได้ว่า ถ้ากำหนดขนาดชิ้นงานที่เท่ากัน ชิ้นงานที่มีความต้านทานจำเพาะที่สูงกว่าจะมีผลทำให้ประสิทธิภาพของขดเหนี่ยวนามีค่าสูงกว่า

- การที่มีช่องว่างอากาศระหว่างชิ้นงานกับขดเหนี่ยวนำที่สูง จะทำให้ค่ารีแอคเตนซ์ของขดเหนี่ยวนามีค่าสูงมีผลทำให้ตัวประกอบกำลังของขดเหนี่ยวนามีค่าต่ำ ดังนั้นค่าช่องว่างอากาศควรมีค่าที่เหมาะสมกับคือเมื่อไส้จనวนความร้อนกันแล้วยังสามารถป้อนชิ้นงานเข้าไปภายในขดเหนี่ยวนำได้สะดวก

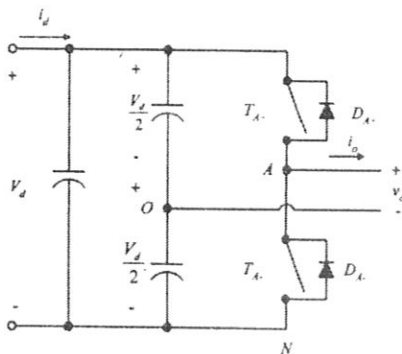
จากสมการ (2.13)–(2.19) จะเห็นได้ว่าค่าความต้านทานสมมูลขึ้นอยู่กับค่าต่างๆ เช่น ความถี่ทำงาน, จำนวนรอบของขดเหนี่ยวนำ, ความยาวขดเหนี่ยวนำ, Coil Correction Factor, ความซึมซาบแม่เหล็กสัมพัทธ์ของขดเหนี่ยวนำ, เส้นผ่าศูนย์กลางของชิ้นงาน, เส้นผ่านศูนย์กลางภายในของขดเหนี่ยวนำ ความซึมซาบแม่เหล็กสัมพัทธ์ของชิ้นงาน ( $\mu_r$ ) และนอกจากนี้ค่า  $\mu_r$  ของชิ้นงานซึ่งอยู่ในตระกูลเหล็กจะมีค่าสูงแต่ค่า  $\mu_r$  จะมีค่าเปลี่ยนไปตามอุณหภูมิจนเมื่อถึงอุณหภูมิภูริชิ้นงานจะมีค่า  $\mu_r = 1$  ซึ่งจะมีผลทำให้ค่าความต้านทานสมมูลแบบอนุกรมของขดเหนี่ยวนำ ( $R_s$ ) ขณะที่เริ่มใส่ชิ้นงานมีค่าสูงกว่าขณะที่ชิ้นงานมีอุณหภูมิภูริโดยที่ค่า  $R_s = R_c + R_w$ ,  $X_s = X_c + X_w + X_g$

## 2.5 อินเวอร์เตอร์ 1 เฟส

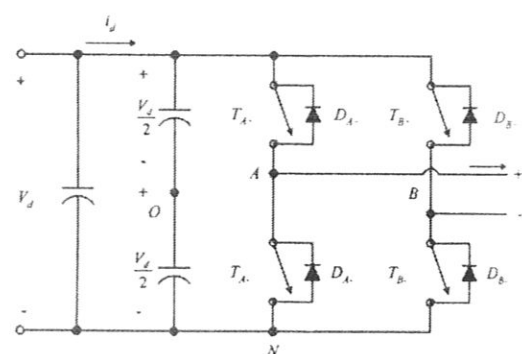
อินเวอร์เตอร์ 1 เฟส แบ่งออกเป็น 2 ชนิด คือ แบบครึ่งบริดจ์ (Half-bridge) และแบบเต็มบริดจ์ (Full-bridge) ในแบบชาล์ฟบริดจ์ จะมีตัวเก็บประจุสองตัวต่อค่าดับกันอยู่ระหว่างแหล่งจ่ายแรงดันไฟฟ้ากระแสตรงและหากกำหนดให้ค่าตัวเก็บประจุสองตัวมีค่าเท่ากัน จะทำให้แรงดันไฟฟ้าตกครึ่งตัวเก็บประจุแต่ค่าตัวมีค่าเท่ากันคือ  $Vd/2$  จุดกึ่งกลางแรงดันไฟฟ้า (จุด ๐ ในรูปที่ 2.11 (ก)) จะมีค่าคงที่เมื่อเทียบกับบล็อก (N) ดังแสดงในรูปที่ 2.11 (ก) ส่วนวงจรอินเวอร์เตอร์แบบฟลูบридจ์ 1 เฟสจะประกอบไปด้วยสองกึ่ง คือ กึ่ง A และกึ่ง B ในรูปที่ 2.11 (ข) โดยแบบฟลูบридจ์จะมีกำลังไฟฟ้าสูงกว่าแบบครึ่งบริดจ์ สองเท่า จึงหมายความว่าที่จะเลือกใช้เมื่อต้องการจ่ายกำลังไฟฟ้าให้ลดลงขึ้น

เนื่องไปสำคัญที่อินเวอร์เตอร์เฟสเดียวแบบครึ่งบริดจ์และแบบเต็มบริดจ์ คือการทำงานของสวิตช์  $T_{A+}$  และ  $T_{A-}$  จะต้องกันข้ามกัน แต่ในทางปฏิบัติจะต้องการช่วงเวลาที่สวิตช์ทั้งคู่ไม่

นำกระแสง ซึ่งจะเรียกว่าเดดไทม์ (deadtime) โดยเดดไทม์ จะอยู่ในช่วงเวลา ก่อนจะเปลี่ยนสถานะการสวิตช์ จากนำกระแสงเป็นไม่นำกระแสงหรืออาจไม่นำกระแสงเป็นนำกระแสง



(ก) แบบ半桥式



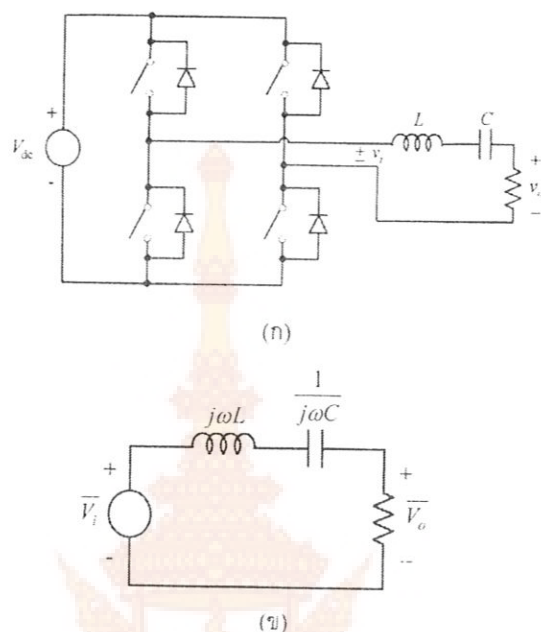
(ข) แบบ全桥式

รูปที่ 2.11 แสดงวงจรอินเวอร์เตอร์ไฟฟ้าเดี่ยว

### 2.5.1 อินเวอร์เตอร์เรโซแนนท์แบบอนุกรม

อินเวอร์เตอร์เรโซแนนท์แบบอนุกรมก็คืออินเวอร์เตอร์ที่แปลงกำลังจากไฟฟ้ากระแสตรงเป็นกระแสสลับรูปที่ 2.12 (ก) ซึ่งจะเรียกว่าเป็นวงจรเรโซแนนท์แบบอนุกรม เพราะมีตัวเหนี่ยวนำและตัวเก็บประจุวางอนุกรมกันกับโหลดความต้านทานการสวิตช์จะทำให้เกิดแรงดันรูปคลื่นสี่เหลี่ยม โดยที่ตัวเหนี่ยวนำและตัวเก็บประจุ (C) จะทำให้เกิดความถี่เรโซแนนท์ซึ่งจะมีค่าเท่ากับความถี่สวิตช์ซึ่งที่ความถี่เรโซแนนท์ค่าอิมพีಡэнซ์ของตัวเหนี่ยวนำและตัวเก็บประจุจะหักล้างกัน จึงมองเห็นเป็นโหลดมีค่าเฉพาะความต้านทานเท่านั้น

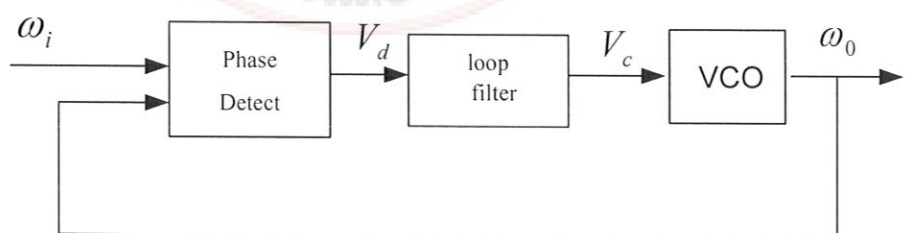
เมื่อแรงดันไฟฟ้าด้านออกเป็นรูปคลื่นสี่เหลี่ยมที่ความถี่  $f_o$  ผลของ L-C จะทำหน้าที่คล้ายเป็นตัวกรองความถี่ และจะลดขนาดสัญญาณของชาร์มอนิกลำดับต่างๆ ทำให้รูปคลื่นแรงดันตกคร่อมความต้านทานเป็นรูปคลื่นไชน์ ที่มีความถี่เดียวกันกับความถี่ของรูปคลื่นสี่เหลี่ยมความถี่เรโซแนนท์จะมีค่าเท่ากับ



รูปที่ 2.12 (ก) วงจรอินเวอร์เตอร์ไซแนนท์แบบอนุกรม (ข) วงจรสมมูล R-L-C

## 2.6 เฟสลีอคลูป

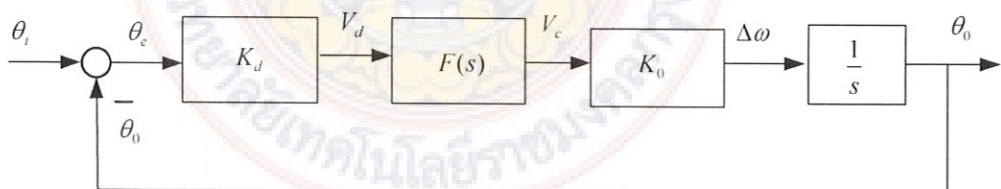
หลักการของเฟสลีอคลูปถูกนำมาใช้ในการการให้ความร้อนแบบเหนี่ยวนำเพื่อควบคุมมุมเฟสให้คงที่ หรือเป็นตัวกำหนดค่าความถี่ในการทำงาน โดยการนำมาใช้ก็จะขึ้นกับลักษณะของวงจรว่า เป็นแบบใด รวมไปถึงสิ่งที่ต้องการควบคุม โครงสร้างของเฟสลีอคลูปเป็นระบบป้อนกลับ โดยมี ตัว VCO (Voltage Controlled Oscillator) ทำหน้าที่ปรับความถี่ให้เปลี่ยนแปลงไปตามสัญญาณ อ้างอิง ส่วนประกอบที่สำคัญของเฟสลีอคลูปแบ่งเป็น 3 ส่วน คือ เฟสเดคเตอร์ ตัวกรองความถี่ และ VCO ดังแสดงในรูปที่ 2.13



รูปที่ 2.13 รูปแสดงการทำงานเบื้องต้นของเฟสลีอคลูป

โดยที่	$\omega_i$	ความถี่เชิงมุมของสัญญาณอ้างอิง
	$V_d$	สัญญาณเอาท์พุตของเฟสเดี๋ยวก่อน
	$V_c$	สัญญาณเอาท์พุตกลุ่มเฟลเตอร์
	$\omega_o$	ความถี่เชิงมุมของสัญญาณเอาท์พุต

มีการทำงานโดยสังเขปดังนี้ เมื่อมีสัญญาณความถี่อ้างอิงจากภายนอก เป็นสัญญาณชั้นๆ (Periodic) ป้อนให้กับเฟสเดี๋ยวก่อนซึ่งทำหน้าที่เปรียบเทียบเฟสระหว่างความถี่อ้างอิง กับความถี่ป้อนกลับจาก VCO สัญญาณที่ได้จากเฟสเดี๋ยวก่อน จะเป็นสัญญาณแรงดันที่เป็นสัดส่วนระหว่างความต่างเฟสของสัญญาณทั้งสอง แรงดันที่ได้นี้จะถูกนำไปผ่านวงจรลูปฟีลเตอร์โดยจะกำจัดความถี่ที่ไม่ต้องการออกไป ให้ได้แรงดันไฟตรงเข้าไปยังอินพุตของ VCO เพื่อทำการปรับความถี่ให้เหมาะสม ในขณะที่วงจรอยู่ในสภาพวิ่ง ความถี่เอาท์พุตของ VCO จะเท่ากับความถี่ของสัญญาณอินพุตซึ่งจะมีความต่างเฟสคงที่ ในกรณีที่เฟสไม่ตรงกัน แรงดันที่ออกจากเฟสเดี๋ยวก่อนจะมีค่าสูงขึ้นด้วย เพื่อไปควบคุมการทำงานของ VCO โดยจะปรับความถี่สูงขึ้นจนทำให้ความต่างเฟสระหว่างสัญญาณทั้งสองลดลงจนกว่าจะเข้าสู่สภาพวิ่ง ล็อก ความถี่สัญญาณเอาท์พุตของ VCO จึงจะมีขนาดคงที่ตลอดเวลา และค่าความถี่จะเปลี่ยนแปลงตามเฟสของสัญญาณอินพุตเสมอ แบบจำลองทางคณิตศาสตร์ของเฟสล็อกลูปที่กำหนดให้ความถี่เอาท์พุตเป็นเฟสเอาท์พุตได้แสดงดังรูปที่ 2.14



รูปที่ 2.14 แบบจำลองทางคณิตศาสตร์ของเฟสล็อกลูป

โดยที่	$\theta_i$	คือ เฟสของสัญญาณอินพุต
	$\theta_0$	คือ เฟสของสัญญาณเอาท์พุต
	$\theta_e$	คือ ความต่างเฟสระหว่างสัญญาณอินพุตและสัญญาณเอาท์พุต

$K_d$  คือ ค่าอัตราขยายของเฟสเดี๋ยวก่อน เฟสเดี๋ยวก่อน มีหน่วยเป็น V/rad

$F(s)$  คือ ฟังก์ชันถ่ายโอนของ โลร์พาสฟิลเตอร์

$K_0$  คือ ค่าอัตราขยายของ VCO มีหน่วยเป็น rad

สัญญาณเอาท์พุตของ โลร์พาสฟิลเตอร์ จะควบคุมความถี่เอาท์พุตของ VCO ซึ่งจะทำให้ความถี่ของ VCO มีการเปลี่ยนแปลง ( $\Delta\omega$ ) ไปจากความถี่กลาง

$$\Delta\omega(s) = K_0 \cdot V_c(s) \quad (2.27)$$

โดยที่

$$\omega = \frac{d\theta}{dt} \quad (2.28)$$

สามารถเขียนเป็นสมการใหม่คือ

$$\frac{d\theta}{dt} = K_0 \cdot V_c(s) \quad (2.29)$$

ทำให้ได้

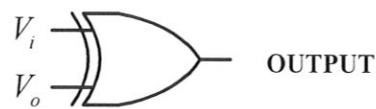
$$\theta_0(s) = \frac{K_0 \cdot V_c(s)}{s} \quad (2.30)$$

ดังนั้น สัญญาณเอาท์พุตของ VCO จะเป็นสัดส่วนกับการอินทิเกรตสัญญาณอินพุตของ VCO จากบล็อกไคโอบาร์มและสมการข้างต้น สามารถหาทราบส์เพอร์ฟังก์ชันของระบบปิดได้ดังนี้

$$\frac{\theta_0(s)}{\theta_i(s)} = \frac{K_d \cdot K_0 \cdot F(s)}{s + K_d \cdot K_0 \cdot F(s)} \quad (2.31)$$

### 2.6.1 เฟสเดี๋ยวก่อน

เฟสเดี๋ยวก่อน ในวงจรเฟสเดี๋ยวก่อน ทำหน้าที่เปรียบเทียบเฟสระหว่างสัญญาณความถี่ 以便อิงกับสัญญาณความถี่เอาท์พุต สำหรับตัวที่นิยมใช้เป็นแบบวงจรตรวจจับแบบเอิกซ์คูลซีฟ-ออร์เกท ซึ่งมีสัญลักษณ์ดังแสดงในรูปที่ 2.15



**สำนักวิทยบริการและเทคโนโลยีสารสนเทศ  
มหาวิทยาลัยเทคโนโลยีราชมงคลกรุงเทพ**

**รูปที่ 2.15 สัญลักษณ์อีกซ์คูลซีฟ-ออร์เกทที่ใช้เป็นวงจรตรวจจับเฟส**  
**ตารางที่ 2.1 แสดงค่าความจริงของการคูณ**

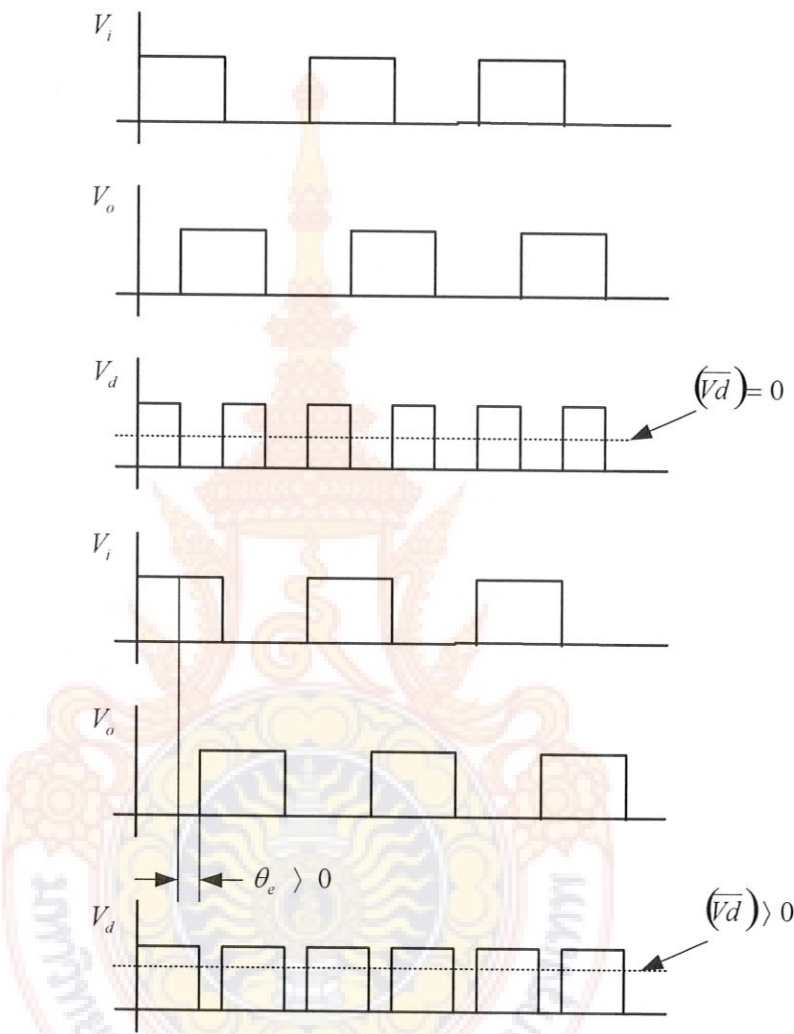
$V_i$	$V_o$	output
(-)	(-)	(+)
(-)	(+)	(-)
(+)	(-)	(-)
(+)	(+)	(+)

**ตารางที่ 2.2 แสดงค่าความจริงของการอีกซ์คูลซีฟ-ออร์เกท**

$V_i$	$V_o$	output
$V_L$	$V_L$	$V_L$
$V_L$	$V_H$	$V_H$
$V_H$	$V_L$	$V_H$
$V_H$	$V_H$	$V_L$

วงจรอีกซ์คูลซีฟ-ออร์เกทเป็นวงจรตรวจจับเฟสแบบดิจิตอลที่มีการทำงานเหมือนกับตัวคูณสัญญาณด้วยการโอลิเวอร์ไคร์แรงดันที่เอาท์พุตในขณะที่ปรากฏระดับของสัญญาณอินพุตเข้ามาและยังให้คูณสมบัติของวงจรเป็นรูปสามเหลี่ยมโดยเอาท์พุตที่ได้จากการคูณจะเป็นค่าอิ่มตัวของแรงดันบวก ซึ่งสอดคล้องกับค่าของลอจิกสูง หรือเป็นค่าอิ่มตัวของแรงดันลบ ที่สอดคล้องกับค่าลอจิกต่ำ สำหรับเงื่อนไขการคูณสามารถสรุปได้ดังตารางที่ 2.1 โดยเอาท์พุตถ้าเปรียบเทียบกับตารางที่ 2.2 ซึ่งเป็นตารางค่าความจริงของวงจรอีกซ์คูลซีฟ-ออร์เกท ที่แสดงไว้ในรูปที่ 2.16 โดยแทนระดับแรงดันลอจิกสูง  $V_H$  ด้วยเครื่องหมาย (+) และระดับแรงดันลอจิกต่ำ  $V_L$  ด้วยเครื่องหมาย (-) จะเห็นว่าอีกซ์คูลซีฟ-ออร์เกทสามารถนำมาใช้เป็นวงจรตรวจจับเฟสที่ทำงานเหมือนตัวคูณสัญญาณ (ลอจิก) ได้

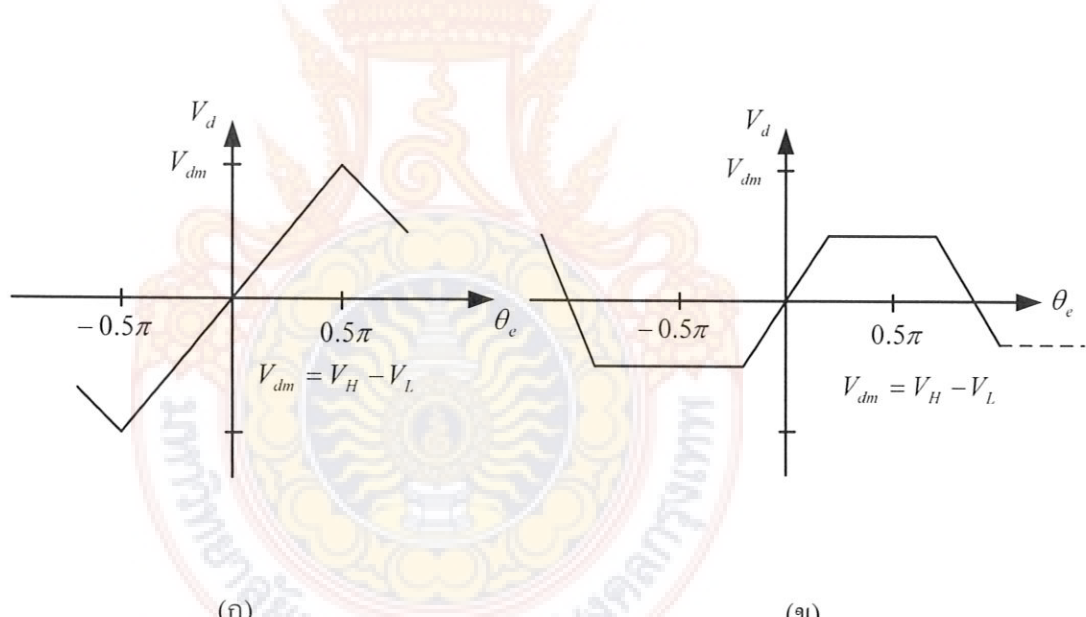
$$\theta_e = 0 \text{ เมื่อ } V_i \text{ และ } V_o \text{ ที่เข้ามามีความต่างไฟสูงกว่า } 90 \text{ องศา } \text{ เรียกว่า } \text{ จุดสูงนิ่ง}$$



รูปที่ 2.16 รูปสัญญาณที่มีค่าความคลาดเคลื่อนเฟสเท่ากับศูนย์และมากกว่าศูนย์

ในรูปที่ 2.16 ได้แสดงให้เห็นถึงเอาท์พุตของวงจรตรวจจับเฟสแบบอิเก็ซคูลชีฟ-ออร์เกทที่มีค่าความคลาดเคลื่อนเฟส ( $\theta_e$ ) ต่างๆ กัน ซึ่งจะแบ่งเป็นสองส่วนคือ ในกรณีที่มีสัญญาโนินพุต  $V_i$  และ  $V_o$  ที่เข้ามามีความต่างเฟสอยู่ 90 องศา โดยจะกำหนดให้มีค่าความคลาดเคลื่อนเฟส ( $\theta_e$ ) เท่ากับศูนย์ ซึ่งเรียกว่า จุดสงบนิ่ง (Quiescent Point) ของวงจรตรวจจับเฟสแบบอิเก็ซคูลชีฟ-ออร์เกท โดยจะทำให้  $V_d$  ที่ได้จะเป็นสัญญาโนสี่เหลี่ยมที่มีค่าความถี่เป็นสองเท่าของสัญญาโนินพุตและให้ค่าดิวตี้ไซเคิลเท่ากับ 50 เปอร์เซ็นต์ เนื่องจากความถี่ของสัญญาโนเอาท์พุต จะถูกกรองทิ้งไปด้วย

วงจรลูปปิลเตอร์ ดังนั้นจึงพิจารณาเพียงค่าเฉลี่ยของสัญญาณเอาท์พุตที่แสดงเป็นเส้นประตามรูป ซึ่งค่าเฉลี่ยที่ได้นี้เป็นค่าที่คำนวนได้จากค่ากลาง (mean) ของระดับลอจิกสูง ( $V_H$ ) และระดับลอจิกต่ำ ( $V_L$ ) กล่าวคือถ้าวงจรตรวจจับเฟสแบบเอ็กซ์คูลซีฟ-ออร์เกท ได้รับการจ่ายไฟเลี้ยง 5 โวลต์ ค่าเอาท์พุตเฉลี่ยที่ได้จะมีค่าประมาณ 2.5 โวลต์ ที่ถูกกำหนดให้มีค่าเป็นศูนย์นับจากนี้ไป และในอีกรัตน์ซึ่งถูกแสดงไว้ในส่วนล่างคือ เมื่อสัญญาณ  $V_o$  ถ้าหลังสัญญาณอินพุตอ้างอิง  $V_i$  ค่าของความคลาดเคลื่อนเฟส ( $\theta_e$ ) จะมีค่าเป็นบวกค่าดิวตี้ใช้เกลียดของสัญญาณเอาท์พุตที่ได้จะมีค่ามากกว่า 50 เปอร์เซ็นต์ และจึงทำให้ค่าเฉลี่ยเอาท์พุตเป็นบวกมากขึ้นด้วย ในรูปที่ 2.17(ก) แสดงกราฟแสดงคุณสมบัติของวงจรตรวจจับเฟสแบบเอ็กซ์คูลซีฟ-ออร์เกทที่ได้จากการพล็อตค่าเฉลี่ยสัญญาณเอาท์พุต เทียบกับค่าของความคลาดเคลื่อนเฟส ( $\theta_e$ ) ซึ่งจะให้ผลเป็นรูปสามเหลี่ยม และอยู่ภายใต้ช่วงที่เป็นเชิงเส้นของ  $-0.5\pi < \theta_e < 0.5\pi$  และถ้าในกรณีที่สัญญาณอินพุต  $V_i$  และ  $V_o$  มีขนาดไม่สมมาตร(มีระดับสัญญาณไม่เท่ากัน) ทำให้ค่าดิวตี้ใช้เกลียดไม่เท่ากัน 50 เปอร์เซ็นต์ ค่าแรงดันเฉลี่ย ( $V_{dm}$ ) ที่ได้จะมีค่าลดลง ดังแสดงในรูปที่ 2.17(ข)



รูปที่ 2.17 กราฟแสดงคุณสมบัติของวงจรตรวจจับเฟสแบบเอ็กซ์คูลซีฟ-ออร์เกท  
 (ก) เมื่อสัญญาณอินพุต  $V_i$  และ  $V_o$  มีขนาดสมมาตร  
 (ข) เมื่อสัญญาณอินพุต  $V_i$  และ  $V_o$  มีขนาดไม่สมมาตร

## 2.6.2 ลูปปิลเตอร์

วงจร โลว์พาส ทำหน้าที่กรองเอาเฉพาะสัญญาณความถี่ต่ำมาควบคุมความถี่ของวงจร VCO ลูปฟิลเตอร์ จะเป็นตัวกำหนดคุณสมบัติการเปลี่ยนแปลงก่อนเข้าสู่สภาวะล็อก ที่เรียกว่า คุณสมบัติชั่วครู่ (Transient) ถ้าเลือกอัตราขยายของลูป (Loop Gain) และค่าคงตัวของลูป (Loop Time Constant) ไม่เหมาะสมความถี่ของเฟสล็อกลูปจะไม่ทำการล็อก และจะเปลี่ยนแปลงอยู่ตลอดเวลา โดยทั่วไปค่าคงตัวของเวลาของลูปฟิลเตอร์จะต้องไม่นานเกินไป เพื่อว่าทุกครั้งที่เปลี่ยนความถี่ เฟสล็อกลูปจะล็อกได้เร็วโดยไม่มีการแกว่ง หน้าที่ของ โลว์พาสฟิลเตอร์ในเฟสล็อกลูป มีหน้าที่หลัก 2 ประการคือ

1. ลดค่าความคลาดเคลื่อนที่เป็นความถี่สูงที่ออกจากเฟสคีแทกเตอร์ โดยใช้คุณสมบัติการกำจัด สัญญาณรบกวน และเป็นตัวทำให้เกิดแรงดันเฉลี่ย (Average dc Voltage) เพื่อนำไปควบคุม วงจร VCO
2. ควบคุมการทำงานของลูปซึ่งขึ้นอยู่กับเงื่อนไขต่างๆ ดังนี้
  - ค่าแรงดันคลาดเคลื่อนของความถี่ระหว่างลูป
  - คุณสมบัติต่อผลตอบสนองช่วงขณะของเฟสล็อกลูป การลดช่วงกว้างของฟิลเตอร์ จะส่งผลไปยังการทำงานของระบบคือ ช่วงแแคปเจอร์จะลดลง และผลตอบสนองชั่วครู่ของเฟสล็อกลูปต่อการเปลี่ยนทันทีของสัญญาณ เข้าสู่ช่วงความถี่แแคปเจอร์ จะอยู่ในลักษณะภายใต้การแคมป์ (Under damp)

### 2.6.3 VCO (Voltage Control Oscillator)

โดยทั่วไปแล้วช่วงการใช้งานของความถี่อาจที่อยู่ที่พุ่งต้องมีลักษณะที่เป็นเชิงเส้น และในขณะที่ไม่มีสัญญาณเข้ามาที่อินพุตของ VCO ตัวของมันเองจะสามารถสร้างความถี่ขึ้นมาค่าหนึ่งหรือกำหนดให้มีค่าต่ำสุด ได้ VCO ที่ใช้กับเฟสล็อกลูปมีทั้งชนิดที่ให้ความถี่อาจที่พุ่งเป็นรูปคลื่นสี่เหลี่ยม และรูปคลื่นชายน์

คุณสมบัติพึงประสงค์ของ VCO ที่ใช้ในเฟสล็อกลูปมีดังนี้

1. คุณสมบัติของการเปลี่ยนแปลงแรงดันเป็นความถี่เป็นเชิงเส้น
2. มีช่วงการใช้งานที่กว้างหรือมีค่าอัตราการขยายระหว่างแรงดันกับความถี่ที่สูง
3. มีเสถียรภาพทางความถี่ที่ดี
4. ถ้าความถี่อาจที่พุ่งเป็นรูปคลื่นชายน์ควรจะเป็นสัญญาณที่คงที่สม่ำเสมอ

## 2.7 วงจร Proportional-Integral Controller

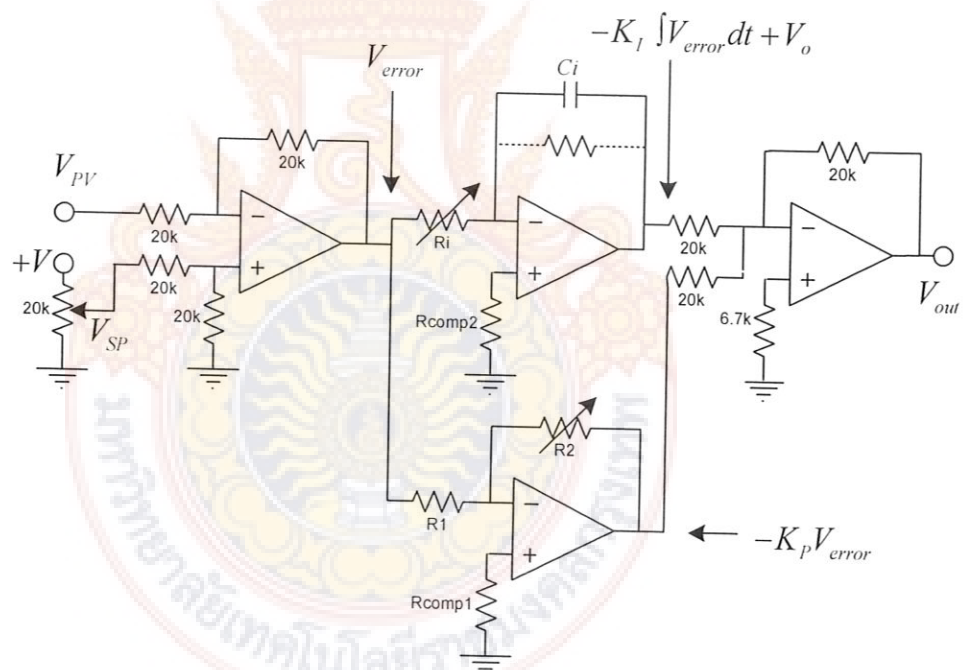
วงจร PI Control ที่ใช้ในการทดลองใช้ช่วงจร PI แบบบานานดังแสดงในรูปที่ 2.22 จากรูปที่ 2.18 สามารถคำนวณค่าต่าง ๆ ได้ดังนี้

$$V_{error} = V_{SP} - V_{PV} \quad (2.32)$$

$$K_p = \frac{R_2}{R_l} \quad (2.33)$$

แรงดันที่ออกจากตัวอินทิเกรต

$$V = -K_l \int V_{error} dt + V_0 \quad (2.34)$$



รูปที่ 2.18 วงจร PI Controller

เมื่อ

$$K_l = \frac{1}{R_i C_i} \quad (2.35)$$

ดังนั้น

$$V_{OUT} = K_p V_{error} + K_l \int V_{error} dt + V_0 \quad (2.36)$$

ด้ามส่วนการได้เป็น

$$V_{OUT} = K_p V_{error} + \frac{K_I V_{error}}{s} \quad (2.37)$$

ท่านเพอร์ฟังก์ชันของ PI Control เป็นดังนี้

$$\frac{V_{OUT}}{V_{error}} = K_p + \frac{K_I}{s} \quad (2.38)$$

หรือ

$$\frac{V_{OUT}}{V_{error}} = \frac{K_p s + K_I}{s} \quad (2.39)$$

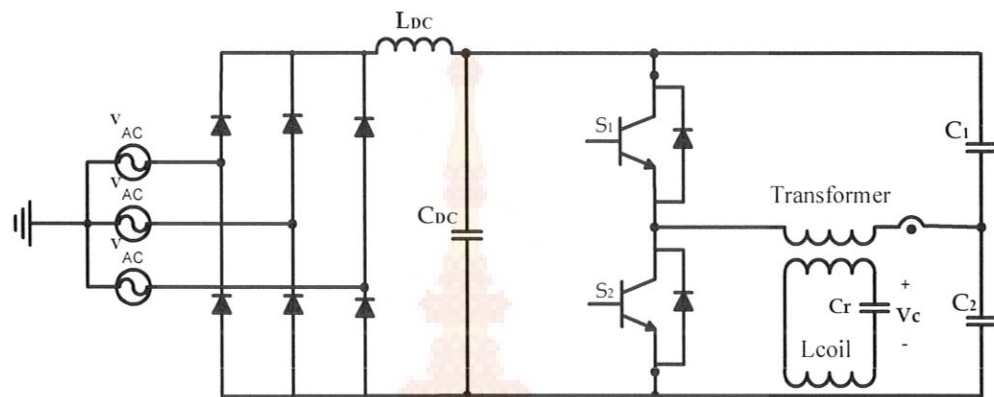
หรือ

$$\frac{V_{OUT}}{V_{error}} = \frac{s + (K_I / K_p)}{(1 / K_p)s} \quad (2.40)$$

### บทที่ 3

#### โครงสร้างและส่วนประกอบของเครื่องเชื่อมแบบเหนี่ยวนำความร้อน

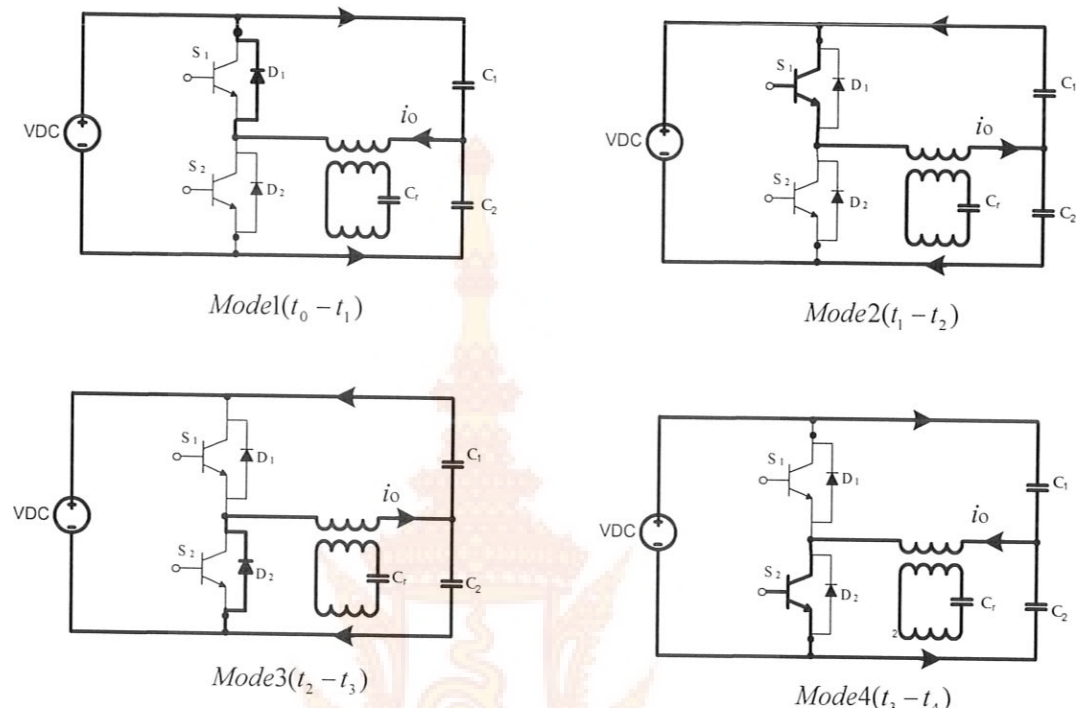
##### 3.1 โครงสร้างเครื่องเชื่อมแบบเหนี่ยวนำความร้อน



รูปที่ 3.1 วงจรกำลังและวงจรควบคุม

วงจรกำลังเป็นแบบอินเวอร์เตอร์อนุกรมเร ใช้แคนน์ทแบบครึ่งบริดจ์บริดจ์ ดังแสดงในรูปที่ 3.1 ประกอบด้วย เตี๊ยบบริดจ์เรกติไฟเออร์ บัสฟิลเตอร์ ( $L_{DC}, C_{DC}$ ) วงจรอินเวอร์เตอร์แบบมีไคโอดต่อ ขนานแบบกลับหัว และหม้อแปลงแม่ตั้ง วงจรอนุกรมเร ใช้แคนน์ทประกอบด้วย ความต้านทาน ( $R$ ) ตัวเหนี่ยวนำ ( $L_{coil}$ ) และตัวเก็บประจุ ( $C_r$ ) อินเวอร์เตอร์มีแรงดันเอาท์พุทรูปคลื่นสี่เหลี่ยม และกระแสเอาท์พุทรูปคลื่นชายน์ ทำงานที่ความถี่ไกล์ความถี่เร โซนันท์

### 3.2 การทำงานของวงจร



รูปที่ 3.2 การทำงานของเครื่องให้ความร้อนแบบหนึ่งขั้นตอนอนุกรมและขนาน

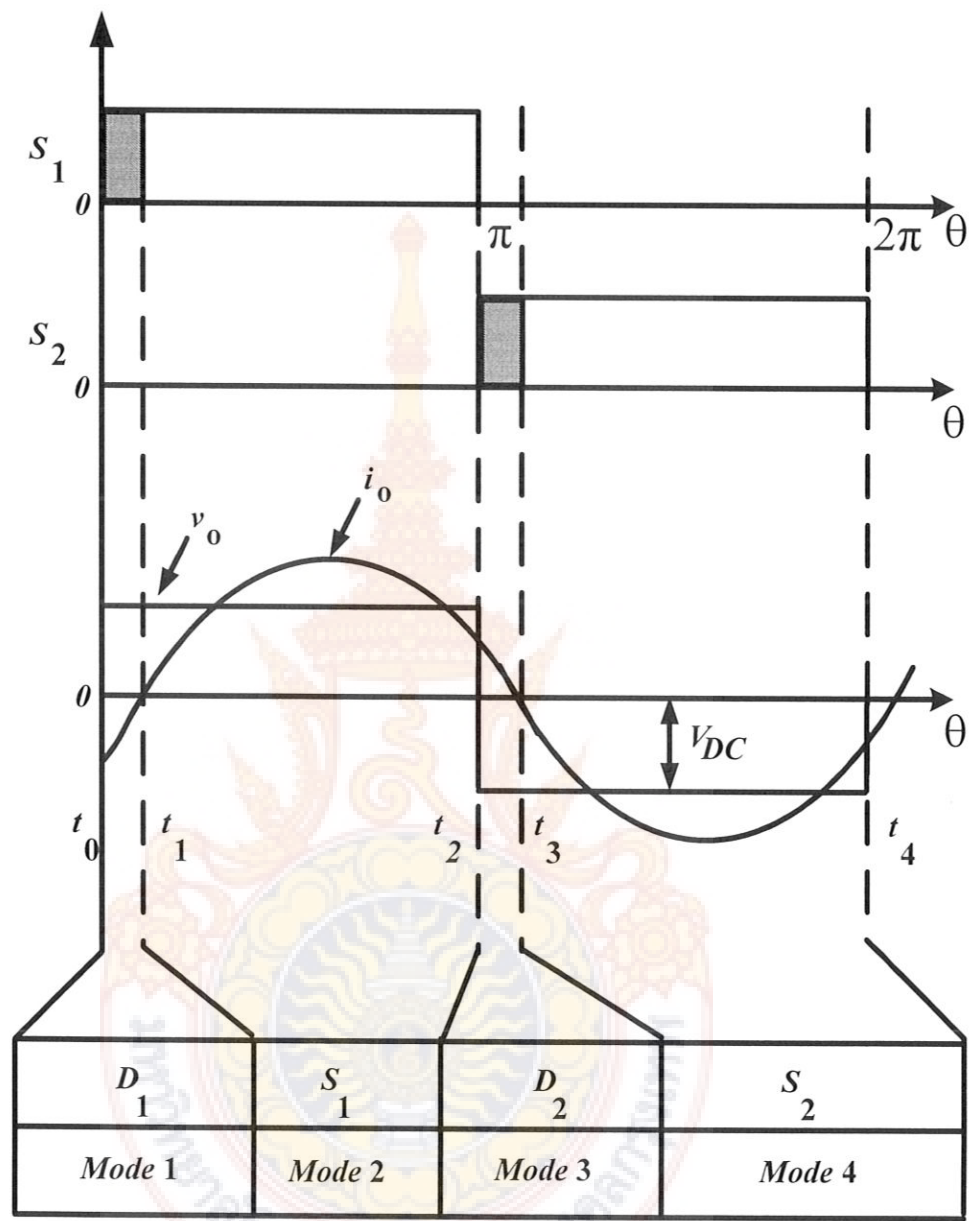
การทำงานของวงจรแบ่งออกได้เป็น 5 ช่วงคือ

ช่วงที่ 1 รูปที่ 3.2 ช่วงเวลา  $t_0 - t_1$  เมื่อที่สวิตซ์  $S_1$  และ  $S_2$  หยุดนำกระแส ไดโอด  $D_1$  นำกระแส ในช่วงที่กระแสเป็นลบ

ช่วงที่ 2 รูปที่ 3.2 ช่วงเวลา  $t_1 - t_2$  เมื่อกระแสเป็นศูนย์ สวิตซ์  $S_1$  จึงนำกระแส ทำให้เกิดกระแสช่วงบวก

ช่วงที่ 3 รูปที่ 3.2 ช่วงเวลา  $t_2 - t_3$  เมื่อสวิตซ์  $S_1$  หยุดนำกระแส ไดโอด  $D_2$  จึงนำกระแส

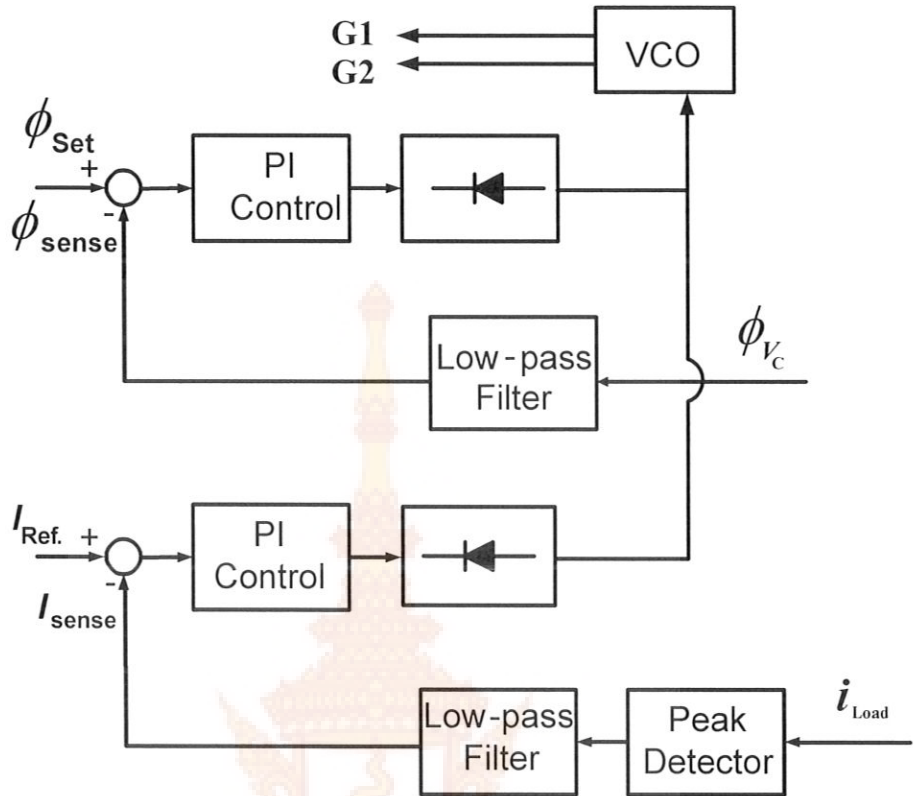
ช่วงที่ 4 รูปที่ 3.2 ช่วงเวลา  $t_3 - t_4$  หลังจากกระแสไหลผ่านไดโอดเป็นศูนย์ สวิตซ์  $S_2$  จึงเริ่มนำกระแสโดยช่วงนี้จะเป็นสวิตซ์ที่แรงดันเป็นศูนย์



รูปที่ 3.3 รูปคลื่นกระแสกับแรงดันด้านออกของอินเวอร์เตอร์ที่สัมพันธ์กับสัญญาณเกตมอสเฟต

จากรูปที่ 3.3 สามารถหากำลังไฟฟ้าเฉลี่ยด้านออกได้ตามสมการ

$$P = \frac{2I_m V_m}{\pi} \cos \theta \quad (3.1)$$



รูปที่ 3.4 บล็อกไซอะแกรมในการควบคุมการทำงานของอินเวอร์เตอร์

รูปที่ 3.4 บล็อกไซอะแกรมของการควบคุมถูกต่อแบบขนาน โดยความถี่อัตโนมัติ โดยการควบคุมแบ่งเป็น 2 วงศ์ ประกอบด้วย ลูปเชิงคุณภาพ และลูปเชิงกระแส โดยที่แต่ละลูปทำงานแยกกันทำให้ออกแบบระบบได้จ่ายกว่าแบบศาสเดค ซึ่งจะมีผลจากลูปนอก ระบบควบคุม ในรูปที่ 3.4 ทำงานติดตามความถี่ให้อินเวอร์เตอร์ทำงานความถี่สูงกว่าความถี่เรโซแนนท์ตลอดเวลา และลูปนอกคือความถูกำลังที่โหลดด้วยวิธีความคุณกระแสง

เฟสล็อกลูปทำหน้าที่ติดตามความถี่เพื่อให้อินเวอร์เตอร์ทำงานที่ความถี่สูงกว่าความถี่เรโซแนนท์ตลอดเวลา โดยที่มือแปลงกระแสจะตรวจวัดกระแสที่โหลด และอินเวอร์เตอร์แหล่งจ่ายแรงดันซึ่งสัญญาณขับสวิตช์ตรงกับเฟสแรงดันสี่เหลี่ยมที่ด้านเอาท์พุทของอินเวอร์เตอร์ นำไปเปรียบเทียบกับเฟสของแรงดันที่ตัวเรโซแนนซ์คากาปะติเตอร์ ซึ่งใช้ Exclusive OR Gate ใน การเปรียบเทียบความต่างเฟสของแรงดันและกระแสที่โหลด โดยเอาท์พุทที่ได้จะเป็น Duty cycle ความต่างเฟสที่มีความถี่เท่ากัน และถูกกรองด้วยวงจรความถี่ต่ำเพื่อเคลียร์ให้ได้ค่าแรงดันไฟตรง แล้วนำไปเปรียบเทียบกับ Phase set ที่ตั้งไว้ โดยที่ Phase set จะตั้งไว้ที่ความถี่สูงกว่าความถี่เรโซแนนท์เล็กน้อย ซึ่งจะควบคุมความถี่ในการทำงานของลูปติดตามความถี่ต่อไป ค่าความผิดพลาดที่ได้จะถูกป้อนเข้า PI Control ควบคุมการทำงานความถี่ของอินเวอร์เตอร์

การควบคุมกำลังที่โหลดด้วยวิธีการควบคุมกระแส โดยกำลังสูงสุดจะอยู่ที่ใกล้ความถี่เรโซแนนท์และกำลังจะลดลงเมื่อความถี่สูงขึ้น โดยทั่วไป Peak detector จะรับสัญญาณไซน์จากหม้อแปลงกระแสไฟฟ้าเป็นสัญญาณซีกบวกทั้งหมด และถูกกรองด้วยวงจรความถี่ต่ำเพื่อเฉลี่ยให้ได้ค่าแรงดันไฟฟ้าแล้วนำไปเปรียบเทียบกับกระแสที่ตั้งไว้ ค่าความผิดพลาดที่ได้จะถูกป้อนเข้า PI Control

ในการออกแบบวงจรกำลังในโครงการนี้ จะใช้ ไอจีบีที เบอร์ IRG4PH40UD เป็นวงจรกำลังโดยใช้ไฟฟ้ากระแสสลับ 1 เฟส 220Vac มาแปลงเป็นไฟฟ้ากระแสตรง โดยใช้วงจรบริดจ์แบบเดิมคลื่น แล้วก็ให้ ไอจีบีที สวิตช์ที่ความถี่สูง อยู่ในช่วง 17.5kHz-40kHz โดย ไอจีบีที ได้รับสัญญาณไฟฟ้ากระแสตื้นที่ขาเกตและสัญญาณที่ส่งมาเน้นจะมาจากไมโครคอนโทรลเลอร์ และในการทำงานของ ไอจีบีที นั้น ไอจีบีที จะทำงานสลับกันโดยที่จะไม่ ON พร้อมกัน และจากวงจรจะเห็นว่าถ้า ไอจีบีที ทั้งสองตัว ON พร้อมกันสิ่งที่เกิดขึ้นก็คือ ไอจีบีที พัง

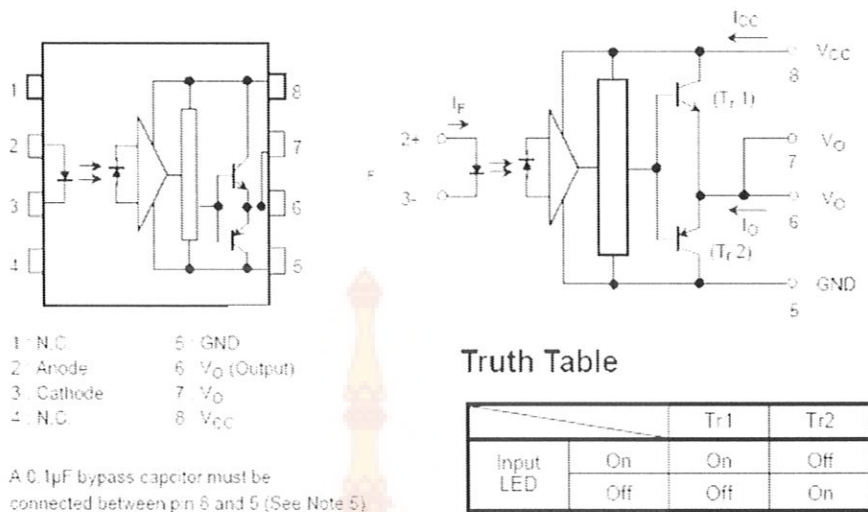
### 3.3 วงจรขับนำเกต(Gate Driver)

สวิตช์ (IGBT) ต้องการแรงดันเกตเพื่อทำให้เกิดการนำกระแสไฟฟ้าผ่านจากขาคอลเลกเตอร์ (Collector) สู่ขาอิมิตเตอร์ (Emitter) แรงดันเกตสามารถถ่ายได้จากรหัสหลาย ๆ แบบ วงจรขับนำเกตควรจะมีทั้งใบอัสนวากเพื่อให้นำกระแส และใบอัสนลเพื่อให้หยุดนำกระแส การที่มีใบอัสนลเพื่อให้ตัวสวิตช์ (IGBT) คัดออฟไฟได้เร็วขึ้นและป้องกันการนำกระแสเนื่องจากมีสัญญาณรบกวนเข้ามาทางขาเกต

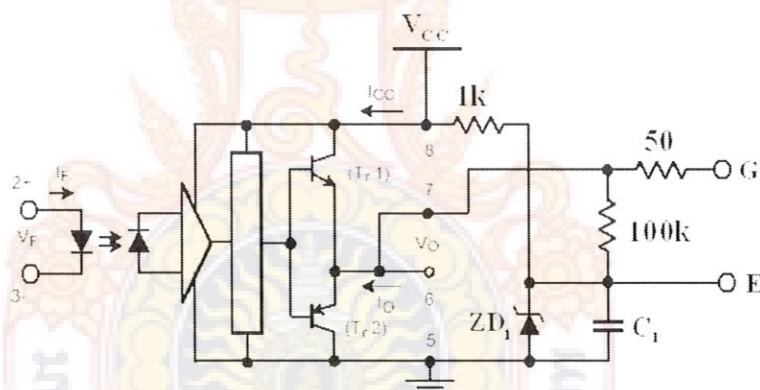
วงจรขับนำเกตที่แสดงดังภาพที่ 3.3 วงจรขับเกตโดยใช้ไอจีเบอร์ TLP250 ซึ่งใช้ตัวเชื่อมไปยังสัญญาณทางแสงเพื่อแยกโอดคสัญญาณทางไฟฟ้าระหว่างวงจรกำลัง (Main Power Circuit) และวงจรควบคุม (Control Circuit) สัญญาณขับนำจากการควบคุมจะเป็นตัวขับ LED ที่อยู่ภายในตัวแยกโอดคสัญญาณทางแสงซึ่งทำหน้าที่เพื่อใบอัสนทรานซิสเตอร์ Tr1 (NPN) และทรานซิสเตอร์ Tr2 (PNP)

ทรานซิสเตอร์ Tr1 เป็นชนิด NPN ซึ่งต้องการสัญญาณใบอัสนเป็นสัญญาณไฟบวก (+) และทรานซิสเตอร์ Tr2 เป็นชนิด PNP ซึ่งต้องการสัญญาณใบอัสนเป็นสัญญาณไฟลบ (-)

เมื่อทรานซิสเตอร์ Tr1 และ ทรานซิสเตอร์ Tr2 ได้รับสัญญาณใบอัสนเป็นสัญญาณไฟบวก (+) ทำให้ทรานซิสเตอร์ Tr1 นำกระแส และในขณะเดียวกันทรานซิสเตอร์ Tr2 หยุดนำกระแส



รูปที่ 3.6 วงจรภายในไอซีเบอร์ TLP250



รูปที่ 3.7 แสดงวงจรขั้บเกตที่ใช้งานจริง

วงจรขั้บเกตที่แสดงดังรูปที่ 3.7 แสดงวงจรขั้บเกตที่ใช้งานจริง ใช้ตัวแยกโอดทางแสงเพื่อแยกโอดระหว่างวงจรควบคุมกับวงจรกำลัง สัญญาณขั้บนำจากวงจรควบคุมจะเป็นตัวขับ LED ที่อยู่ในตัวแยกโอดทางแสงเพื่อไปอัลไทร์กับทรานซิสเตอร์ TR1 ภายในให้นำกระแสและในขณะเดียวกันทรานซิสเตอร์ TR2 หยุดนำกระแส ทำให้มีกระแสไฟหล่อผ่านความต้านทาน  $R50\ \Omega$  ไปจ่ายแรงดันขาเกตในขณะนี้ซีเนอเรอร์ไดโอดที่ต่ออยู่กับขาอิมิตเตอร์เพื่อสร้างแรงดัน  $-5V$  ทำให้แรงดันที่จุด G เมื่อเทียบกับจุด E เป็นแรงดันไฟบวก 15 โวลต์ ( $V_{GE} = +15$  โวลต์)

ในทางกลับกันเมื่อไม่มีสัญญาณขั้บนำเกตผ่านตัวแยกโอดทางแสง ทรานซิสเตอร์ TR1 ไม่นำกระแส ในขณะนี้ทรานซิสเตอร์ TR2 จะนำกระแสสแตนทำให้ที่จุด G มีแรงดันไฟฟ้าลบ

เกิดขึ้นเมื่อเทียบกับจุด E ซึ่งค่าแรงดันไฟลบที่เกิดขึ้นนี้จะขึ้นอยู่กับค่าแรงดันซีเนอร์ไดโอด ZD1 โดยทั่วไปมักจะให้มีแรงดันไฟลบ (-) อยู่ประมาณ 5 โวลต์ เพื่อให้ตัวสวิตช์ (IGBT) คัตออฟได้เร็วขึ้นและป้องกันการนำกระแสของตัวสวิตช์ (IGBT) เมื่อมีสัญญาณรบกวนเข้ามา

### 3.4 Current Transformer สำหรับวัดกระแสที่ขาดลวดเหนือยาน้ำความร้อน

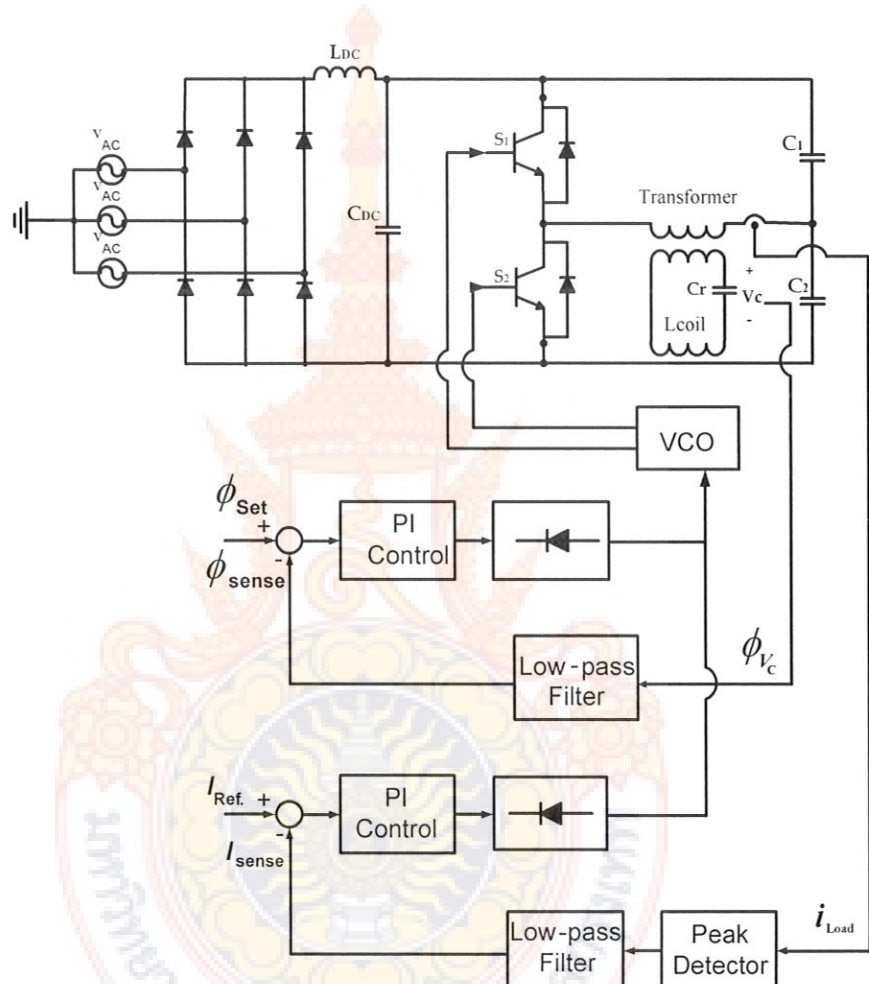
การทำ CT ขึ้นมาเพื่อทำการวัดกระแสไฟฟ้านั้นทำได้โดยการใช้เกนทอรอยด์พันด้วยลวดตัวนำ 30 รอบ ทั้งหมดมีตัวนำยาวอยู่ 10 ตัวนำ แล้วนำแต่ละตัวนำทั้งหมดมาต่ออนุกรมกันดังนั้นจำนวนรอบทั้งหมดจะมีค่าเท่ากับ 300 รอบ และปลายสายตัวนำทั้งสองที่เหลือจะต่อเข้ากับตัวค้านทาน  $20\Omega$  CT ที่ทำขึ้นมาในจุดประสงค์เพื่อต้องการวัดรูปคลื่นของกระแสไฟฟ้าเท่านั้น เพื่อนำไปพิจารณาความสัมพันธ์กับแรงดันที่สวิตช์ (Vce) แรงดันที่ขาดลวดเหนือยาน้ำความร้อน และสัญญาณนำขับสวิตช์ (IGBT) นำไปสู่การวิเคราะห์การทำงานในแต่ละช่วงการทำงานของวงจรกำลังได้เป็นอย่างดี



## บทที่ 4

### ผลการทดสอบ

ทำการทดสอบเครื่องเชื่อมแบบหนี่ยวน้ำความร้อนดังแสดงในรูปที่ 4.1

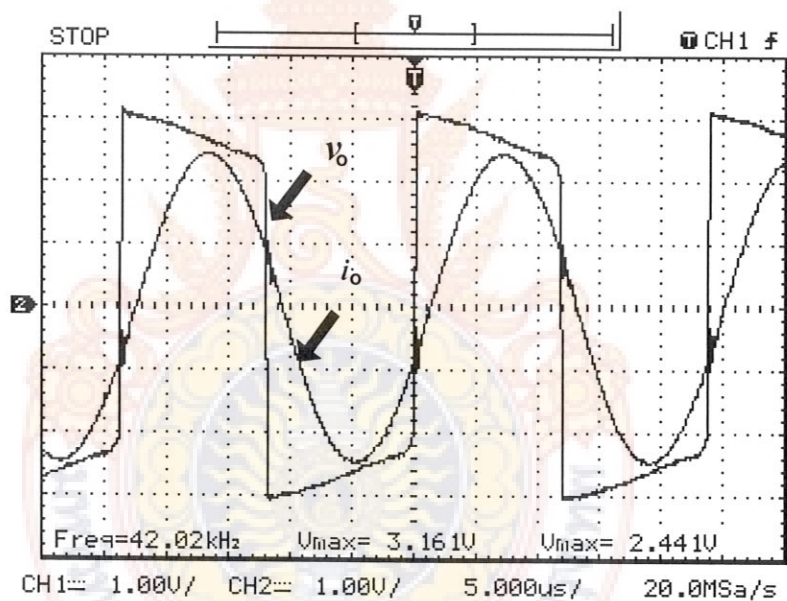


รูปที่ 4.1 เครื่องให้ความร้อนแบบหนี่ยวน้ำและระบบควบคุม

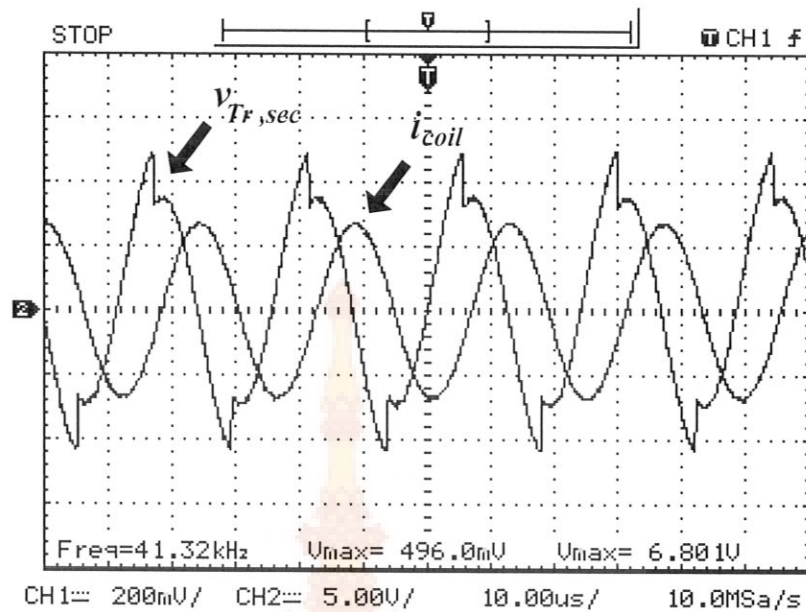
ทำการทดลองของจริงเรอเตอร์แบบคริ่งบริดจ์ที่สภาวะเต็มพิกัด โหลด ขณะชี้้งานร้อน 900°C และขณะไม่มีโหลดทันทีทันใด โดยใช้ค่าตามตารางที่ 1

ตารางที่ 1. พารามิเตอร์ของวงจรอินเวอร์เตอร์แบบคริ่งบридจ์

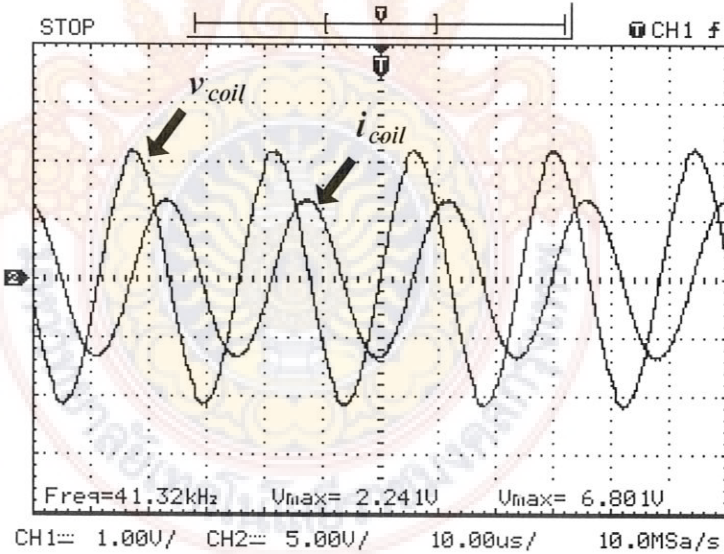
พารามิเตอร์	สัญลักษณ์	ปริมาณ
แรงดันอินพุต 3 เฟส	$V_{ac}$	380 V <sub>rms</sub>
ความถี่สวิตซ์	$f$	42-75 kHz
ค่าปัชชิเตอร์เรโซแนนท์	$C_r$	3 $\mu F$
ขดลวดตัวเหนี่ยววนิềา	$L_{coil}$	4.7-3.5 $\mu H$
ค่าปัชชิเตอร์ แบ่งแรงดัน ( $C_1, C_2$ )		1.5 $\mu F$
อัตราส่วนหม้อแปลง	$n_1/n_2$	10
สวิตซ์	$S_1, S_2$	CM100DU-12H



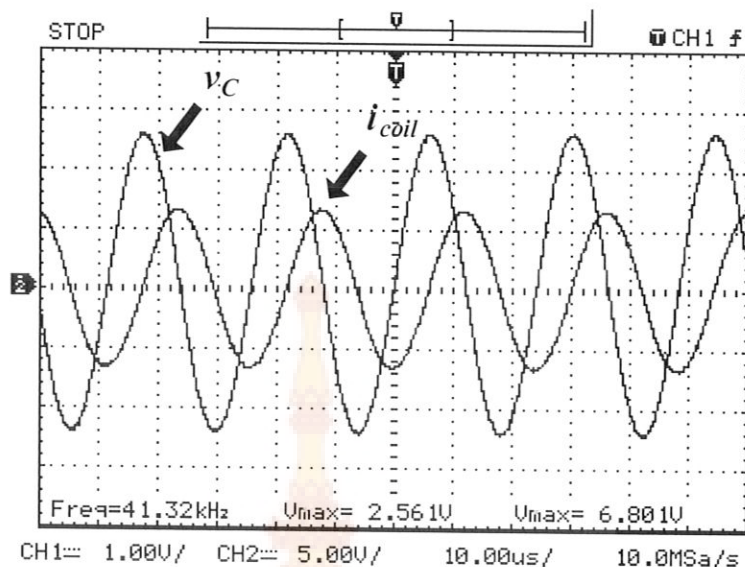
รูปที่ 4.2 แสดงสัญญาณแรงดันด้านออก(  $V_o$  )และสัญญาณกระแส( $i_o$  )ของขดปฐมภูมิหม้อแปลงของอินเวอร์เตอร์แบบคริ่งบридจ์ ( $i_o$ :24.4A/div,  $V_o$  : 316 V/div ที่ 5  $\mu s$  /div.)



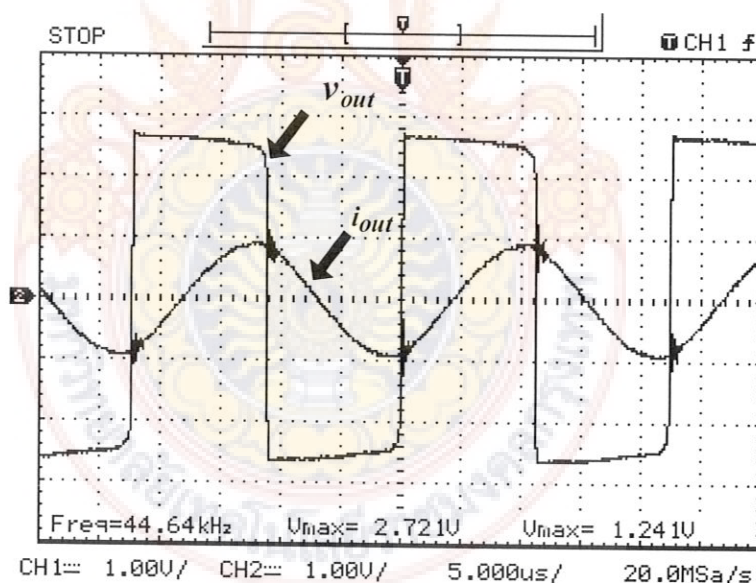
รูปที่ 4.3 ผลการทดลองของวงจรอินเวอร์เตอร์แบบครึ่งบริจจ์ สัญญาณแรงดัน ( $V_{Tr,sec}$ ) คุณภาพของหม้อแปลงและสัญญาณกระแส ขาด漉ดหนี่บวน ( $i_{coil}$ ) ( $i_{coil}$  : 680A/div,  $V_{Tr,sec}$  : 49.6 V/div ที่ 10  $\mu$ s / div.)



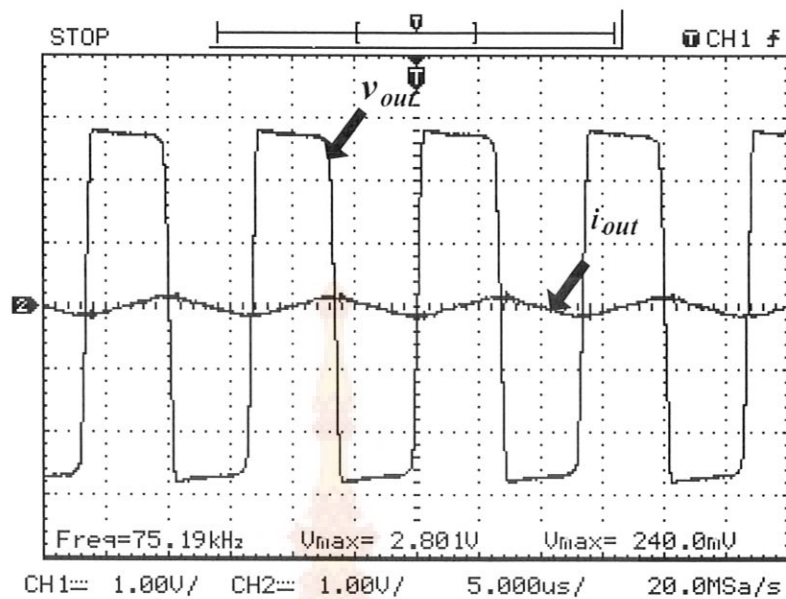
รูปที่ 4.4 ผลการทดลองของวงจรอินเวอร์เตอร์แบบครึ่งบริจจ์ สัญญาณแรงดันขาด漉ดหนี่บวน ( $V_{coil}$ ) และสัญญาณกระแส ( $i_{coil}$ ) ที่ขาด漉ดหนี่บวน ( $i_{coil}$  : 680A/div,  $V_{coil}$  : 224 V/div ที่ 10  $\mu$ s / div.)



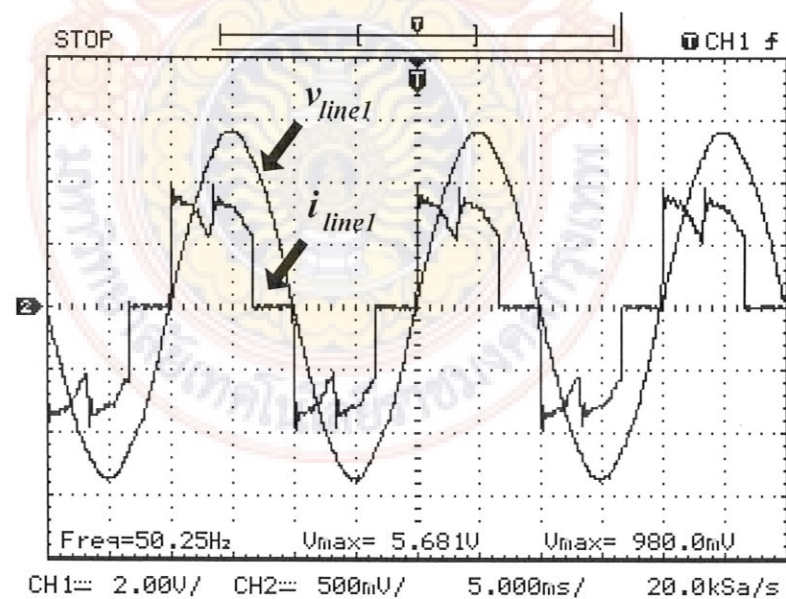
รูปที่ 4.5 ผลการทดลองของจาระอินเวอร์เตอร์แบบกรีบบริดจ์ สัญญาณแรงดันต่อกล่องที่เรโซแนนซ์ค่าป่าชิเตอร์ ( $V_c$ ) และสัญญาณกระแสของขดลวดเหนี่ยวนำ ( $i_{coil}$ ) ( $i_{coil}$  : 680A/div,  $V_c$  : 256 V/div ที่  $10 \mu s$  / div.)



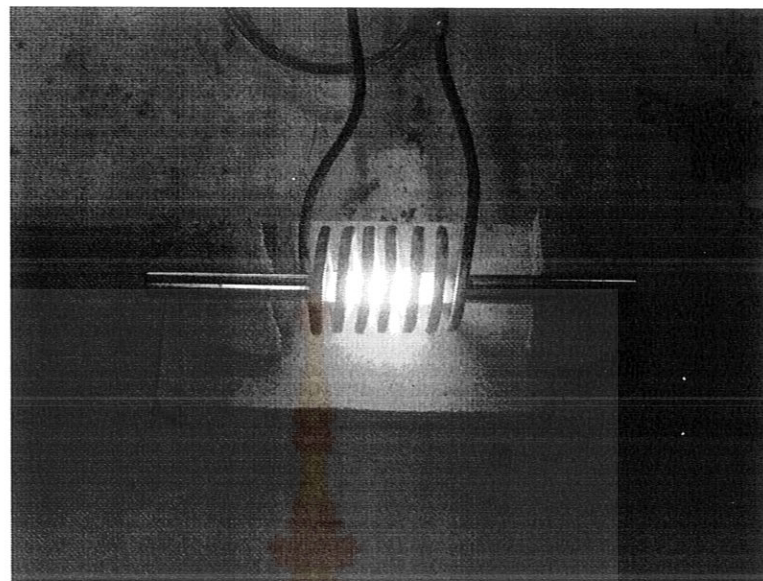
รูปที่ 4.6 แสดงสัญญาณแรงดันด้านออก ( $V_o$ ) และสัญญาณกระแส ( $i_o$ ) ของขดปั๊มน้ำมันที่มีอุปกรณ์ของจาระอินเวอร์เตอร์แบบกรีบบริดจ์ เมื่อขึ้นงานร้อนที่อุณหภูมิ  $900^\circ C$  ( $i_{coil}$  : 124A/div,  $V_{out}$  : 272 V/div ที่  $5 \mu s$  / div.)



รูปที่ 4.7 ผลการทดลองของวงจรอินเวอร์เตอร์แบบครึ่งบริจัชั่นไม่มีโหลดสัญญาณ  
แรงดันค้านออกของอินเวอร์เตอร์ ( $V_o$ ) และสัญญาณกระแสของคปฐมภูมิของหน้าแปลง ( $i_o$ )  
( $i_{coil}$  :24A/div,  $V_{out}$  : 280 V/div ที่ 5  $\mu$ s / div.)



รูปที่ 4.8 แสดงภาพสัญญาณแรงดันและกระแสทางค้านอินพุต 380 โวลต์ 50 Hz โดยวัดมา  
จากเฟสที่ 1 ( $V_{line1}$  :98A/div,  $V_{line1}$  : 568 V/div ที่ 5 ms / div.)



รูปที่ 4.9 แสดงชิ้นงานท่อสแตนเลสขณะมีอุณหภูมิ  $900^{\circ}\text{C}$

รูปที่ 2 แสดงสัญญาณแรงดันด้านออก( $V_o$ ) และสัญญาณกระแส( $i_o$ ) ของขดปฐมภูมิเมื่อแปลงของอินเวอร์เตอร์แบบครึ่งบริดจ์ ที่ความถี่  $42.02\text{ kHz}$  ขณะชิ้นงานมีอุณหภูมิห้อง รูปที่ 4.3 แสดงของสัญญาณแรงดัน( $V_{Tr,sec}$ ) ของขดปฐมภูมิของหม้อแปลงและสัญญาณกระแสของคลอดหนี่ยวนำ( $i_{coil}$ ) การทดลองของวงจรอินเวอร์เตอร์แบบครึ่งบริดจ์ รูปที่ 4 และรูปที่ 4.5 แสดงสัญญาณแรงดันของคลอดหนี่ยวนำ( $V_{coil}$ ) สัญญาณกระแส( $i_{coil}$ ) ที่คลอดหนี่ยวนำ และสัญญาณแรงดันต่อกคร่วงที่เรียกว่าแนวซัคคาป้าชิตเตอร์ ( $V_c$ ) โดยแสดงให้เห็นว่ากระแสที่คลอดหนี่ยวนำจะทำมุมห่างจากแรงดันแรงดันต่อกคร่วงที่เรียกว่าแนวซัคคาป้าชิตเตอร์และคลอดหนี่ยวน้ำอยู่  $90$  องศา รูปที่ 4.6 แสดงสัญญาณแรงดันด้านออก( $V_o$ ) และสัญญาณกระแส( $i_o$ ) ของขดปฐมภูมิเมื่อแปลงของอินเวอร์เตอร์แบบครึ่งบริดจ์ เมื่อชิ้นงานร้อนที่อุณหภูมิ  $900^{\circ}\text{C}$  มีการปรับความถี่ไปที่  $44.64\text{ kHz}$  เพื่อทดสอบกระแส รูปที่ 4.7 ผลการทดลองของวงจรอินเวอร์เตอร์แบบครึ่งบริดจ์ขณะไม่มีโหลดสัญญาณแรงดันด้านออกของอินเวอร์เตอร์ ( $V_o$ ) และสัญญาณกระแสของขดปฐมภูมิของหม้อแปลง( $i_o$ ) ซึ่งแสดงให้เห็นว่าวงจรควบคุมสามารถปรับความถี่ได้สูงขึ้นไปที่  $75.10\text{ kHz}$  เพื่อปรับกระแสลดลงโดยที่สวิตซ์ไอลจีบีที่ไม่เกิดความเสียหาย รูปที่ 4.8 แสดงภาพสัญญาณแรงดันและกระแสทางด้านอินพุต  $380$  โวลต์  $50\text{ Hz}$  โดยวัดมาจากเฟสที่  $1$  ซึ่งจากรูปคลื่นกระแสไฟฟ้า ได้คงอยู่เนื่องจากค่าค่าป้าชิตเตอร์ที่ใส่บนบัสเดซีซีมีค่าน้อย

## บทที่ 5

### สรุปผลงานวิจัย

จากการศึกษาและสร้างเครื่องเชื่อมแบบหนึ่งนำชนิดคริ่งบริดจ์อินเวอร์เตอร์ ที่มีการควบคุมกำลังโดยการปรับความถี่ของปั๊มน้ำ สามารถลดความสูงของน้ำในช่องทางเดินน้ำที่ต่ำกว่าระดับน้ำทะเลได้ ทำให้สามารถลดความสูงของน้ำในช่องทางเดินน้ำที่ต่ำกว่าระดับน้ำทะเลได้

#### 5.1 สรุปผลในโครงงาน

วงจรอินเวอร์เตอร์แบบคริ่งบริดจ์ที่ถูกควบคุมโดยวงจรควบคุมวงปั๊มน้ำที่นำเสนอด้วยการปรับความถี่อัตโนมัติให้สูงขึ้นอย่างรวดเร็วเพื่อลดกระแสขณะชั้นงานมีอุณหภูมิที่สูงรีด อย่างรวดเร็ว ป้องกันการพังเสียหายจากวงจร ได้เป็นอย่างดีการทำงานอยู่ในช่วงความถี่สูงกว่าเรซิโซน์ แต่ไม่สูงเท่าเดิม ทำให้ได้การสวิตช์ที่แรงดันเป็นสูงขึ้น ช่วยลดการสูญเสียที่สวิตช์เป็นอย่างดี แรงดันด้านนอกของอินเวอร์เตอร์เป็นรูปสี่เหลี่ยมที่มีค่าเป็นครึ่งหนึ่งของแรงดันดีซีบัส จากการทดสอบเครื่องต้นแบบสามารถให้ความร้อนแก่ชั้นงานที่เป็นท่อทองแดงและท่อสแตนเลสที่ความถี่สูงได้ ซึ่งเป็นความถี่ที่เหมาะสมแก่การเชื่อมได้

#### 5.2 ข้อเสนอแนะ

- เนื่องจากอุปกรณ์ที่ใช้เป็นอุปกรณ์สวิตช์ชิ้นนี้มีปัญหาเรื่องสัญญาณรบกวนกับวงจร อิเล็กทรอนิกส์ เช่นเดียวกับขนาดของสายไฟที่เดินอยู่ในวงจรควรจะมีการตีเกลียวเพื่อลดสัญญาณรบกวนจากภายนอกได้
- ชีตซิงค์ที่ติดกับมอสเฟต์กำลังต้องมีการระบายน้ำความร้อนที่ดี เพราะถ้ามอสเฟต์กำลังมีอุณหภูมิสูงจะส่งผลต่อประสิทธิภาพการทำงานจะลดลง

## เอกสารอ้างอิง

1. E.J. Davies, J. and Simpson, P., 1979, Induction Heating Handbook, McGraw-Hill, UK.
2. C. Chuenwattanapraniti, C. koompai and V. Monyakul “Half-Bridge Current Fed Inverter Power Supply for Forging Application,” 25<sup>th</sup> Electrical Engineering Conference, Thailand, pp. 97 – 101, 2002
3. Chudjuarjeen, S. and Koompai, C., 2007, “A High-Frequency Induction Cooker using Qusai-resonant Converter”, ECTI-CONFERENCE 2007 pp.378-381.
4. Chudjuarjeen, S. and Koompai, C., 2008, “Asymmetrical control with Phase Lock Loop for Induction Cooking Appliances”, ECTI-CONFERENCE 2008 pp. 1013-1016
5. นกคล นุ่นงาม. 2539. เครื่องให้ความร้อนแบบเหนี่ยวนำชนิดปรับความถี่อัตโนมัติ วิทยานิพนธ์ ปริญญา วิศวกรรมศาสตรมหาบัณฑิต สาขาวิศวกรรมไฟฟ้า ภาควิชา วิศวกรรมไฟฟ้า สถาบันเทคโนโลยีพระจอมเกล้าฯ พระนครเหนือ.



# International Rectifier

PD- 91575B

## IRG4PH50KD

### INSULATED GATE BIPOLAR TRANSISTOR WITH ULTRAFAST SOFT RECOVERY DIODE

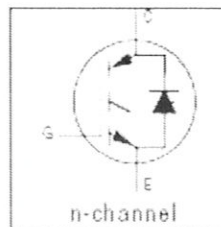
#### Features

- High short circuit rating optimized for motor control,  $t_{SC} = 10\mu s$ ,  $V_{CE} = 720V$ ,  $T_J = 125^\circ C$ ,  $V_{GE} = 15V$
- Combines low conduction losses with high switching speed
- Tighter parameter distribution and higher efficiency than previous generations
- IGBT co-packaged with HEXFRED™ ultrafast, ultrasoft recovery antiparallel diodes

#### Benefits

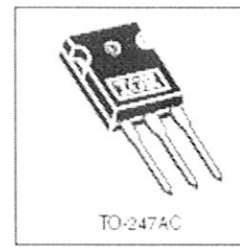
- Latest generation 4 IGBT's offer highest power density motor controls possible
- HEXFRED™ diodes optimized for performance with IGBTs. Minimized recovery characteristics reduce noise, EMI and switching losses
- This part replaces the IRGPH50KD2 and IRGPH50MD2 products
- For hints see design tip 97003

#### Absolute Maximum Ratings



Short Circuit Rated  
UltraFast IGBT

$V_{CES} = 1200V$   
 $V_{CE(on)} \text{ typ.} = 2.77V$   
 $\text{@ } V_{GE} = 15V, I_C = 24A$



	Parameter	Max.	Units
$V_{CES}$	Collector-to-Emitter Voltage	1200	V
$I_C @ T_J = 25^\circ C$	Continuous Collector Current	45	A
$I_C @ T_J = 100^\circ C$	Continuous Collector Current	24	
$I_{CM}$	Pulsed Collector Current (1)	90	
$I_{LM}$	Clamped Inductive Load Current (2)	90	
$I_F @ T_J = 100^\circ C$	Diode Continuous Forward Current	16	
$I_{FM}$	Diode Maximum Forward Current	90	
$t_{SC}$	Short Circuit withstand Time	10	$\mu s$
$V_{GE}$	Gate-to-Emitter Voltage	$\pm 20$	V
$P_D @ T_J = 25^\circ C$	Maximum Power Dissipation	250	W
$P_D @ T_J = 100^\circ C$	Maximum Power Dissipation	78	
$T_J$	Operating Junction and Storage Temperature Range	-55 to +150	
$T_{SNG}$	Soldering Temperature, for 10 sec.	300 to 363 in. (1.6mm from case)	$^\circ C$
	Mounting Torque, 8-32 or M8 Screw	10 lb-in (1.1 N-m)	

#### Thermal Resistance

	Parameter	Min.	Typ.	Max.	Units
$R_{JC}$	Junction-to-Case - IGBT	---	---	0.64	
$R_{JD}$	Junction-to-Case - Diode	---	---	0.83	$^\circ C/W$
$R_{CS}$	Case-to-Sink, flat, greased surface	---	0.24	---	
$R_{CA}$	Junction-to-Ambient, typical socket mount	---	---	40	
WT	Weight	---	6 (0.21)	---	0.102

# IRG4PH50KD

International  
I<sup>R</sup> Rectifier

Electrical Characteristics @ T<sub>J</sub> = 25°C (unless otherwise specified)

	Parameter	Min.	Typ.	Max.	Units	Conditions
V <sub>BREAKDOWN</sub>	Collector-to-Emitter Breakdown Voltage <sup>2</sup>	1200	—	—	V	V <sub>GE</sub> = 0V, I <sub>C</sub> = 250μA
ΔV <sub>BREAKDOWN</sub> /ΔT <sub>J</sub>	Temperature Coeff. of Breakdown Voltage	—	0.91	—	mV/°C	V <sub>GE</sub> = 0V, I <sub>C</sub> = 1.0mA
V <sub>CE(on)</sub>	Collector-to-Emitter Saturation Voltage	—	2.77	3.5	V	I <sub>C</sub> = 24A, V <sub>GE</sub> = 15V
		—	3.28	—	V	I <sub>C</sub> = 45A, See Fig. 2, 5
		—	2.54	—	V	I <sub>C</sub> = 24A, T <sub>J</sub> = 150°C
V <sub>GTH</sub>	Gate Threshold Voltage	8.0	—	8.0	V	V <sub>GE</sub> = V <sub>BE</sub> , I <sub>C</sub> = 250μA
ΔV <sub>GTH</sub> /ΔT <sub>J</sub>	Temperature Coeff. of Threshold Voltage	—	-10	—	mV/°C	V <sub>GE</sub> = V <sub>BE</sub> , I <sub>C</sub> = 250μA
g <sub>F</sub>	Forward Transconductance <sup>2</sup>	13	19	—	S	V <sub>CE</sub> = 100V, I <sub>C</sub> = 24A
I <sub>ES</sub>	Zero Gate Voltage Collector Current	—	—	250	μA	V <sub>GE</sub> = 0V, V <sub>CE</sub> = 1200V
		—	—	6500	—	V <sub>GE</sub> = 0V, V <sub>CE</sub> = 1200V, T <sub>J</sub> = 150°C
V <sub>FM</sub>	Diode Forward Voltage Drop	—	2.5	3.5	V	I <sub>D</sub> = 16A, See Fig. 18
		—	2.1	3.0	V	I <sub>D</sub> = 16A, T <sub>J</sub> = 150°C
I <sub>SEE</sub>	Gate-to-Emitter Leakage Current	—	—	±100	nA	V <sub>GE</sub> = ±20V

Switching Characteristics @ T<sub>J</sub> = 25°C (unless otherwise specified)

	Parameter	Min.	Typ.	Max.	Units	Conditions
Q <sub>G</sub>	Total Gate Charge (turn-on)	—	100	270	—	I <sub>C</sub> = 24A V <sub>CC</sub> = 400V V <sub>GE</sub> = 15V See Fig. 8
Q <sub>GS</sub>	Gate - Emitter Charge (turn-on)	—	25	38	nC	
Q <sub>GC</sub>	Gate - Collector Charge (turn-on)	—	70	110	—	
t <sub>on</sub>	Turn-On Delay Time	—	87	—	ns	T <sub>J</sub> = 25°C I <sub>C</sub> = 24A, V <sub>CC</sub> = 800V V <sub>GE</sub> = 15V, R <sub>G</sub> = 5.0Ω Energy losses include 'tail' and diode reverse recovery See Fig. 9,10,18
t <sub>r</sub>	Rise Time	—	100	—	ns	
t <sub>off</sub>	Turn-Off Delay Time	—	140	300	ns	
t <sub>f</sub>	Fall Time	—	200	300	ns	
E <sub>SO</sub>	Turn-On Switching Loss	—	3.83	—	mJ	V <sub>CC</sub> = 720V, T <sub>J</sub> = 125°C V <sub>GE</sub> = 15V, R <sub>G</sub> = 5.0Ω Energy losses include 'tail' and diode reverse recovery See Fig. 9,10,18
E <sub>TO</sub>	Turn-Off Switching Loss	—	1.90	—	mJ	
E <sub>T</sub>	Total Switching Loss	—	5.73	7.9	—	
t <sub>sc</sub>	Short Circuit Withstand Time	10	—	—	μs	V <sub>CC</sub> = 720V, T <sub>J</sub> = 125°C V <sub>GE</sub> = 15V, R <sub>G</sub> = 5.0Ω T <sub>J</sub> = 150°C, See Fig. 10,11,19 I <sub>C</sub> = 24A, V <sub>CC</sub> = 800V V <sub>GE</sub> = 15V, R <sub>G</sub> = 5.0Ω, Energy losses include 'tail' and diode reverse recovery
t <sub>on</sub>	Turn-On Delay Time	—	67	—	ns	
t <sub>r</sub>	Rise Time	—	72	—	ns	
t <sub>off</sub>	Turn-Off Delay Time	—	310	—	ns	
t <sub>f</sub>	Fall Time	—	390	—	ns	
E <sub>T</sub>	Total Switching Loss	—	19.95	—	mJ	

International  
I<sup>2</sup>R Rectifier

## IRG4PH50KD

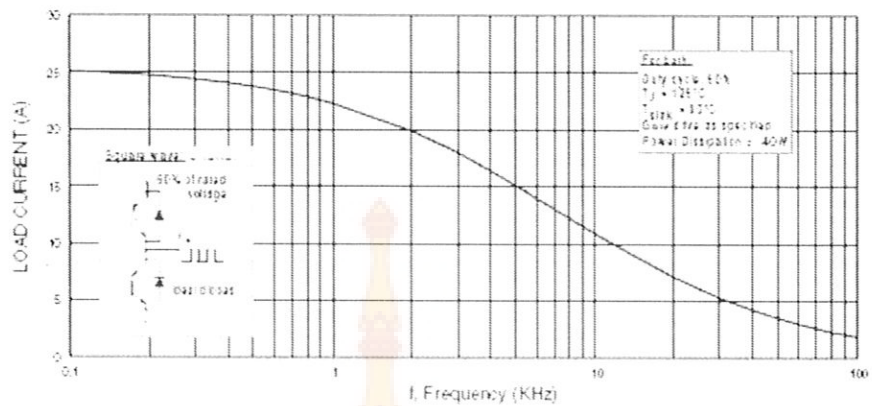


Fig. 1 - Typical Load Current vs. Frequency  
(Load Current =  $I_{RMS}$  of fundamental)

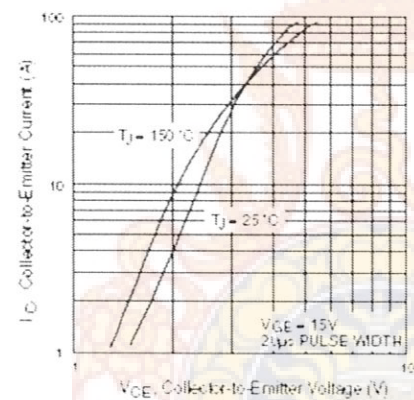


Fig. 2 - Typical Output Characteristics

[www.irf.com](http://www.irf.com)

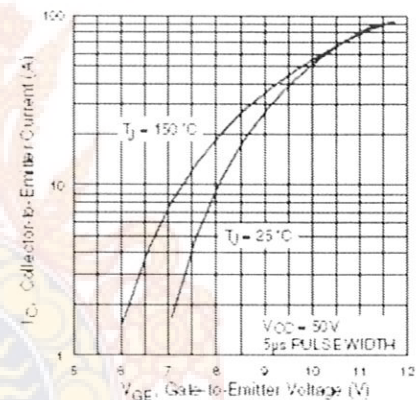


Fig. 3 - Typical Transfer Characteristics

3

## IRG4PH50KD

International  
I<sup>GBT</sup>R Rectifier

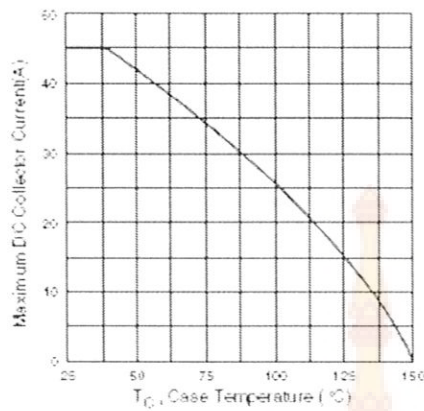


Fig. 4 - Maximum Collector Current vs. Case Temperature

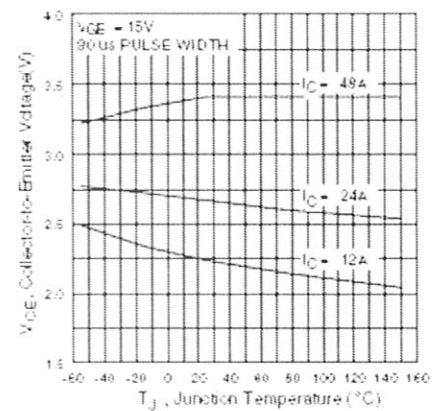


Fig. 5 - Typical Collector-to-Emitter Voltage vs. Junction Temperature

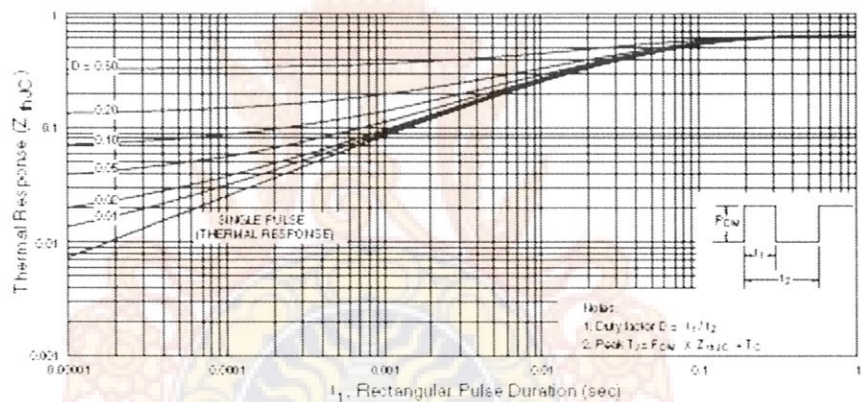


Fig. 6 - Maximum Effective Transient Thermal Impedance, Junction-to-Case

IRG4PH50KD  
Typical Data

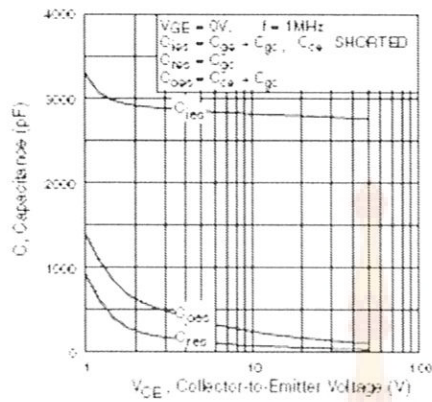


Fig. 7 - Typical Capacitance vs.  
Collector-to-Emitter Voltage

IRG4PH50KD

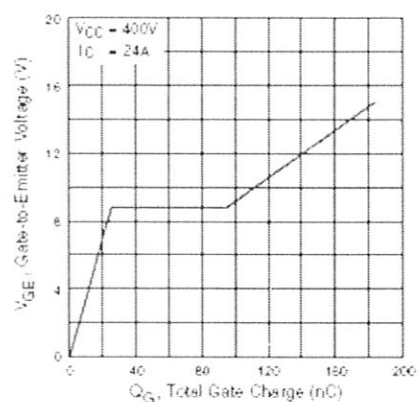


Fig. 8 - Typical Gate Charge vs  
Gate-to-Emitter Voltage

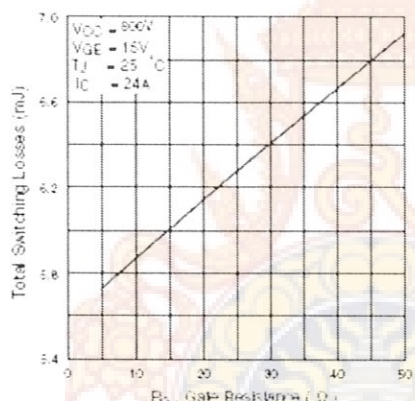


Fig. 9 - Typical Switching Losses vs. Gate  
Resistance

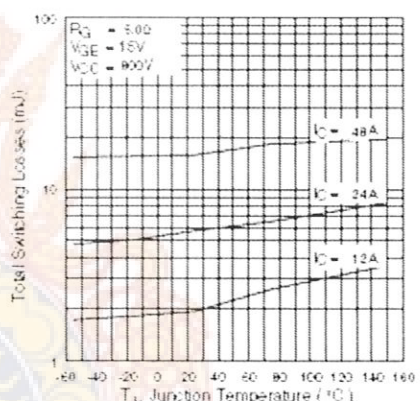


Fig. 10 - Typical Switching Losses vs.  
Junction Temperature

## IRG4PH50KD

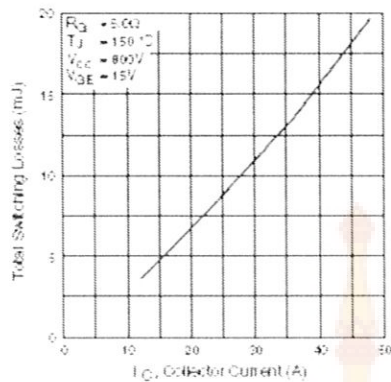


Fig. 11 - Typical Switching Losses vs. Collector Current

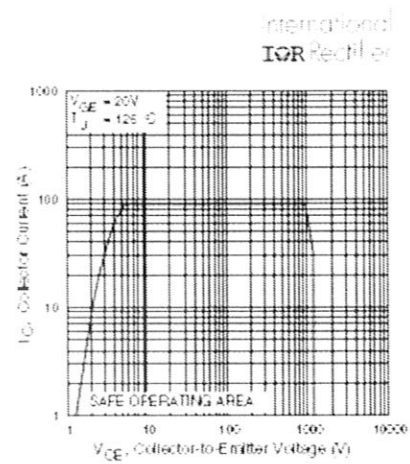


Fig. 12 - Turn-Off SOA

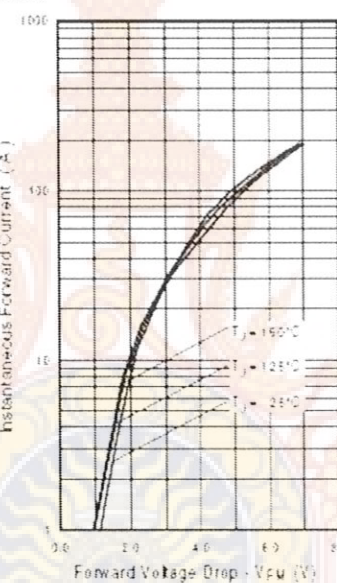
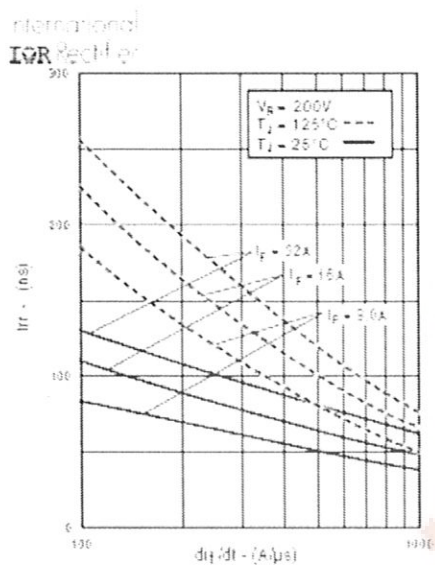
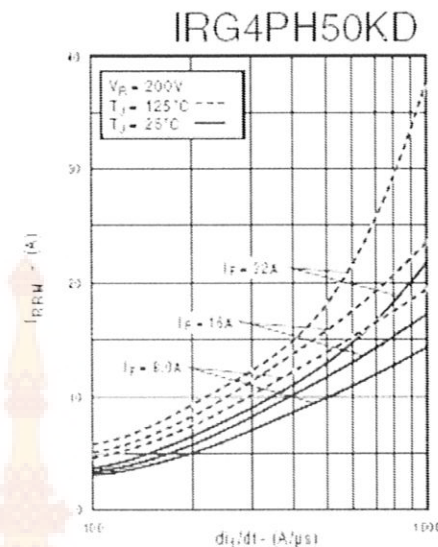
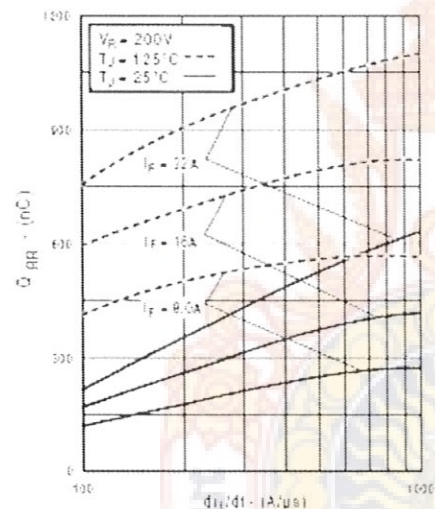
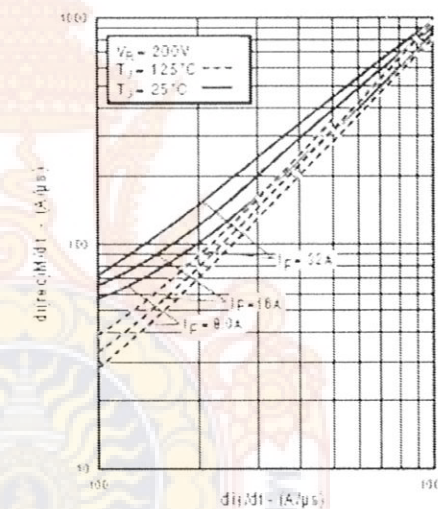


Fig. 13 - Typical Forward Voltage Drop vs. Instantaneous Forward Current

Fig. 14 - Typical Reverse Recovery vs.  $di/dt$ Fig. 15 - Typical Recovery Current vs.  $di/dt$ Fig. 16 - Typical Stored Charge vs.  $di/dt$ Fig. 17 - Typical  $dI_{rec}/dt$  vs.  $di/dt$

## IRG4PH50KD

International  
IGBT Rectifier

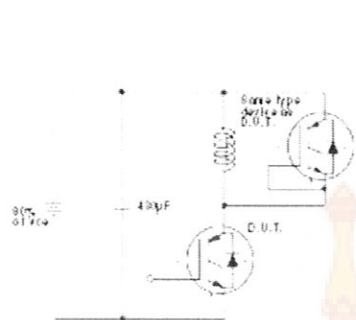


Fig. 18a - Test Circuit for Measurement of  
 $I_{DM}$ ,  $E_{ON}$ ,  $E_{off}(\text{diode})$ ,  $I_m$ ,  $Q_m$ ,  $I_r$ ,  $I_{doff}$ ,  $I_r$

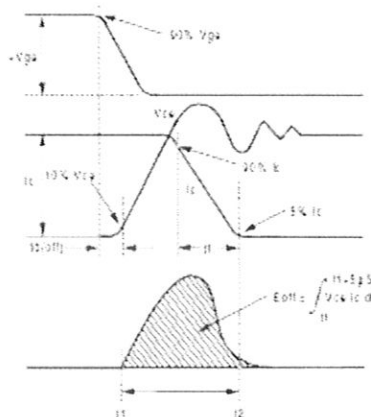


Fig. 18b - Test Waveforms for Circuit of Fig. 18a, Defining  
 $E_{off}$ ,  $I_{doff}$ ,  $I_r$

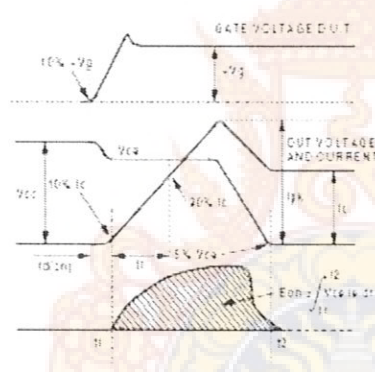


Fig. 18c - Test Waveforms for Circuit of Fig. 18a,  
Defining  $E_{on}$ ,  $I_m$ ,  $I_r$

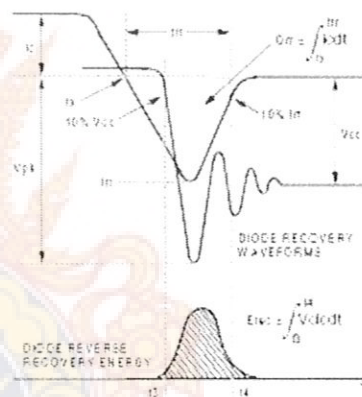


Fig. 18d - Test Waveforms for Circuit of Fig. 18a,  
Defining  $E_{rec}$ ,  $I_r$ ,  $Q_m$ ,  $I_r$

International  
IGBT Test Center

## IRG4PH50KD

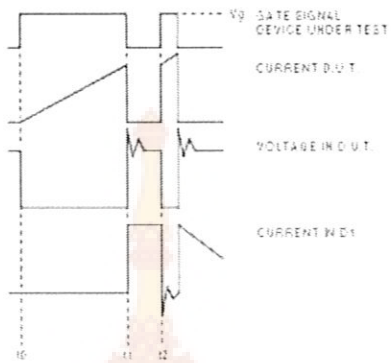


Figure 18e. Macro Waveforms for Figure 18a's Test Circuit

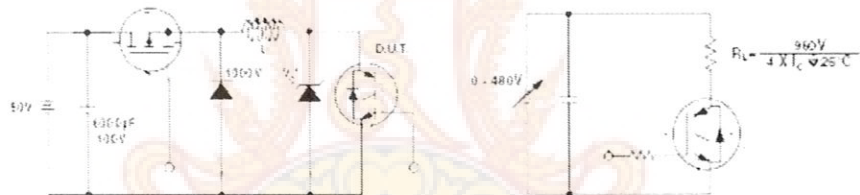


Figure 19. Clamped Inductive Load Test Circuit

Figure 20. Pulsed Collector Current Test Circuit

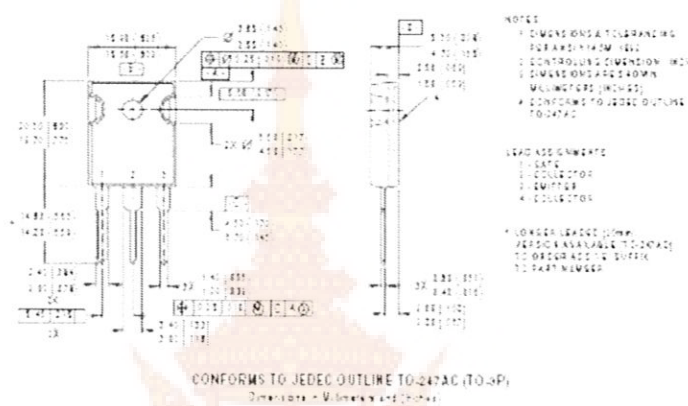
# IRG4PH50KD

International  
ICR Rectifier

## Notes:

- ① Repetitive rating:  $V_{GE}=20V$ ; pulse width limited by maximum junction temperature (figure 20)
- ②  $V_{CE}=80\%$  ( $V_{CES}$ ),  $V_{GE}=20V$ ,  $L=10\mu H$ ,  $R_S=5.0\Omega$  (figure 19)
- ③ Pulse width  $\leq 80\mu s$ , duty factor  $\leq 0.1\%$ .
- ④ Pulse width  $\leq 5.0\mu s$ , single shot.

## Case Outline — TO-247AC



International  
ICR Rectifier

IR WORLD HEADQUARTERS: 233 Kansas St., El Segundo, California 90245, USA Tel: (210) 262-7105  
 IR EUROPEAN REGIONAL CENTRE: 439/445 Godstone Rd, Whalley, Surrey CR9 0EL, UK Tel: ++ 44 (0)20 9845 8000  
 IR CANADA: 15 Lincoln Court, Brampton, Ontario L6T3Z2, Tel: (905) 453 2200  
 IR GERMANY: Saalburgstrasse 157, 61360 Bad Homburg Tel: ++ 49 (0) 6172 96590  
 IR ITALY: Via Liguria 49, 10071 Borgaro, Torino Tel: ++ 39 011 451 0111  
 IR JAPAN: K&H Bldg., 2F, 30-4 Nishiakabukuro 3-Chome, Toshima-Ku, Tokyo 171 Tel: 61 (0)3 3993 0086  
 IR SOUTHEAST ASIA: 1 Kim Seng Promenade, Great World City West Tower, 12-11, Singapore 237994 Tel: ++ 65 (0)89 4690  
 IR TAIWAN: 16 Fl., Suite D, 207, Sec. 2, Tun Hwa South Road, Taipei, 10673 Tel: 886 (0)2 2377 9996  
 Data and specifications subject to change without notice. 7/00

**TOSHIBA**TLP250

TOSHIBA Photocoupler GaAs/Ired &amp; Photo-IC

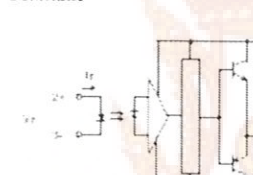
**TLP250**

Transistor inverter  
 Inverter For Air Conditioner  
 IGBT Gate Drive  
 Power MOS FET Gate Drive

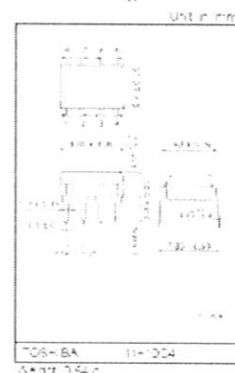
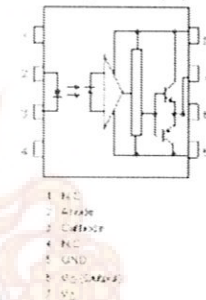
The TOSHIBA TLP250 consists of a GaAs/AlGaAs emitting diode and a integrated photodetector.  
 This unit is 8 lead DIP package.

TLP250 is suitable for gate driving circuit of IGBT or power MOS-FET.

- Input threshold current ( $I_{in} = 5\text{mA}$  max.)
- Supply current ( $I_{CC} = 1\text{mA}$  max.)
- Supply voltage  $V_{CC} = 10\text{--}50\text{V}$
- Output current  $I_{O} = \pm 1\text{mA}$  (max.)
- Switching time ( $t_{on}/t_{off}$ ): 1.5 μsec(max.)
- Isolation voltage: 1500Vrms (min.)
- UL recognized: UL1577, ENEC No.R07549
- Option (D4 type)  
 VDE approved DIN VDE 0884-05-02 certificate No.76825  
 Maximum operating insulation voltage: 4000VDC  
 Highest permissible over voltage: 4000VDC
- (Note) When a VDE0884 approved type is needed,  
 please designate the "option (D4)"
- Creepage distance: 6.4mm(min.)  
 Clearance: 5.4mm(min.)

**Schematic**

A.C. I.R. bypass capacitor resistor  
 connected between pin 5 and other body pins

**Pin Configuration (top view)**

- 1 N.C.
- 2 Anode
- 3 Cathode
- 4 N.C.
- 5 GND
- 6 VCC (Supply V)
- 7 VSS
- 8 VDD

**Truth Table**

		0.1	1.0
1.0	0.1	0.1	0.0
0.0	0.0	0.0	0.0

1

2004-06-25

**TOSHIBA**

TLP260

Absolute Maximum Ratings ( $T_A = 25^\circ\text{C}$ )

Characteristic		Symbol	Rating	Unit
DC	Forward current	I_F	20	mA
	Forward current derating ( $T_A > 25^\circ\text{C}$ )	ΔP = 0.14		-0.15
	Peak transient forward current	I_F(max)	100	A
	Reverse voltage	V_R	5	V
	Junction temperature	T_J	125	°C
	Temperature current (I_W = 2.5 mA, $f = 100\text{Hz}$ )	(Note 2)		1000
	Temperature current (I_W = 2.5 mA, $f = 100\text{Hz}$ )	(Note 2)		1000
	Output voltage	V_O	25	V
	( $T_A = 25^\circ\text{C}$ )	V_O(max)	24	V
	Supply voltage	V_DC	25	V
AC	Output voltage ringing ( $T_A = 25^\circ\text{C}$ )	ΔV_O = 0.05		%
	Supply voltage ringing ( $T_A = 25^\circ\text{C}$ )	ΔV_DC = 0.05		%
	Junction temperature	T_J	125	°C
	Operating frequency	(Note 3)	1	GHz
	Operating temperature range	T_JOP	-20~80	°C
	Storage temperature range	T_STO	-55~125	°C
Lead thickness requirement (D) [D1]		(Note 4)	D1	mm
Insulation voltage (AC, $f = 50\text{~}60\text{~Hz}$ )		(Note 5)	1000	V/mm

Note 1: Pulse width  $t_{PW} \leq 1\mu\text{s}$ , 1000ppm

Note 2: Exponential waveform

Note 3: Exponential waveform,  $\log(t) = -0.5\pm 0.5\text{~ns}$ ,  $\log(d) = 1.05\pm 0.5\text{~ns}$ 

Note 4: 0.12~0.18 mm or more from a lead foot

Note 5: Device contains two thin-film devices. Pins 1, 2, 3 and 4 shorted together, and pins 5, 6, 7 and 8 shorted together.

Note 6: A ceramic capacitor ( $0.1\mu\text{F}$ ) should be connected from pin 9 to pin 8 to stabilize the operation of the high-gain linear amplifier. Failure to provide the bypassing may impair the switching property. The total lead length between capacitor and coupler should not exceed 10 mm.

## Recommended Operating Conditions

Characteristic	Symbol	Min	Typ	Max	Unit
Input current, on ( $V_D = 0$ )	I_IN(on)	2	8	10	mA
Input voltage off	V_IN(off)	2	—	0.5	V
Supply voltage	V_DC	15	—	25	V
Peak output current	I_O(max)	—	—	10.5	A
Operating temperature	T_JOP	-20	25	80	°C

Note 7: Input signal into pin 1 (allowable)  $< 0.5\text{~ns}$

**TOSHIBA**

TLP260

Electrical Characteristics ( $T_a = -20\text{--}70^\circ\text{C}$ , unless otherwise specified)

Characteristic	Symbol	Test Condition	Min.	Typ.*	Max.	Unit	
Input forward voltage	$V_F$	—	$I_F = 10\text{ mA}, T_a = 25^\circ\text{C}$	—	1.5	1.6	V
Temperature coefficient of forward voltage	$\Delta V_F/\Delta T_A$	—	$I_F = 10\text{ mA}$	—	+2.0	—	$\text{mV}/^\circ\text{C}$
Input reverse current	$I_S$	—	$V_G = 5\text{ V}, T_a = 25^\circ\text{C}$	—	—	10	$\mu\text{A}$
Input capacitance	$C_F$	—	$V_G = 0.1\text{--}1\text{ VDC}, T_a = 25^\circ\text{C}$	—	45	250	$\text{pF}$
Output current	200 mA level	$I_{O200}$	3 $V_{DD} = 3\text{V}$ $V_{G2} = 4\text{V}$ $V_{G3} = 4\text{V}$	-0.6	-1.0	—	A
	100 mA level	$I_{O100}$	2 $V_{G1} = 0.5\text{V}$ $V_{G2} = 2.5\text{V}$	0.5	2	—	
Output voltage	200 mA level	$V_{O200}$	4 $V_{DD} = +15\text{V}, V_{G1} = +15\text{V}$ $I_O = 1000\text{ mA}$	0	-12.0	—	V
	100 mA level	$V_{O100}$	6 $V_{DD} = +15\text{V}, V_{G1} = +15\text{V}$ $I_O = 1000\text{ mA}$	—	-14.2	-12.5	
Supply current	200 mA level	$I_{DD200}$	— $V_{DD} = 3\text{V}, T_a = 25^\circ\text{C}$	—	7	—	mA
	100 mA level	$I_{DD100}$	— $V_{DD} = 3\text{V}, T_a = 25^\circ\text{C}$	—	—	11	
Threshold input current	200 mA level	$I_{TH200}$	— $V_{DD} = 3\text{V}, V_{G1} = 0.5\text{V}$	—	1.5	5	mA
Threshold input voltage	200 mA level	$V_{TH200}$	— $V_{DD} = 3\text{V}, I_{TH200}$	0.5	—	—	V
Supply voltage	$V_{DD}$	—	—	10	—	15	V
Capacitance (input, $f = 1\text{ MHz}$ )	$C_{IN}$	—	$V_G = 0.1\text{--}1\text{ VDC}$	—	1.0	2.0	$\text{pF}$
Resistance (input, $f = 1\text{ kHz}$ )	$R_{IN}$	—	$V_G = 5\text{ VDC}, T_a = 25^\circ\text{C}$	$1 \times 10^{12}$	$10^{14}$	—	$\Omega$

\* All typical values are at  $T_a = 25^\circ\text{C}$ . \*1ns: Duration of pulse  $\leq 50\text{ ns}$ .

**TOSHIBA**

TLP260

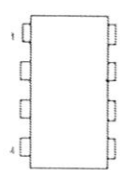
Switching Characteristics ( $T_a = -20\sim70^\circ\text{C}$ , unless otherwise specified)

Characteristic		Symbol	Test Condition	Min	Typ.*	Max	Unit
Propagation delay time	L-H	$t_{PD}$	S ( $I_o = 10\text{mA}$ , $V_{DD} = 15\text{V}$ , $V_{CC} = -15\text{V}$ , $R_L = 200\Omega$ )	—	0.15	0.5	ns
	H-L	$t_{PH}$		—	0.15	0.5	
	—	—		—	—	—	
Output rise time	—	—	—	—	—	—	—
Common mode transient immunity at high level output	S <sub>CM</sub>	—	$V_{DD} = 15\text{V}$ , $I_o = 0\text{mA}$ , $V_{CC} = 0\text{V}$ , $V_L = 25\text{V}$	-500	—	—	V (μs)
Common mode transient immunity at low level output	S <sub>CL</sub>	—	$V_{DD} = 15\text{V}$ , $I_o = 0\text{mA}$ , $V_{CC} = 0\text{V}$ , $V_L = 25\text{V}$	500	—	—	V (μs)

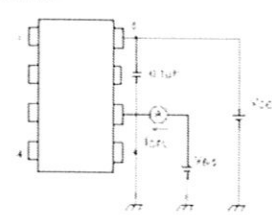
\* All typical values are at  $T_a = 25^\circ\text{C}$ .Note: T<sub>l</sub>: input digital rise time (fall time) < 0.5 μs.

**TOSHIBA****TLP260**

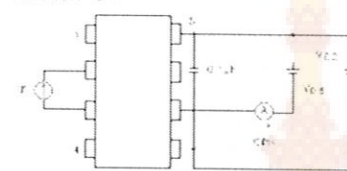
Test Circuit 1



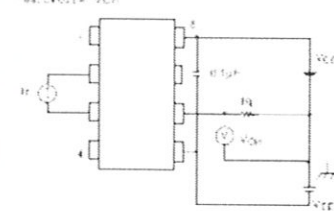
Test Circuit 12 - TLP260



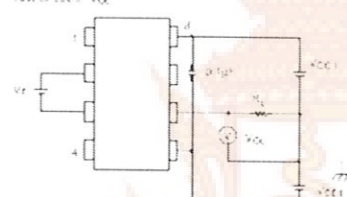
Test Circuit 13 - TLP260



Test Circuit 14 - TLP260



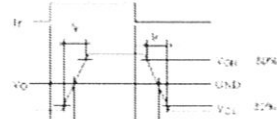
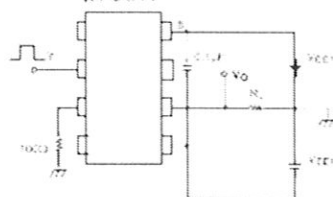
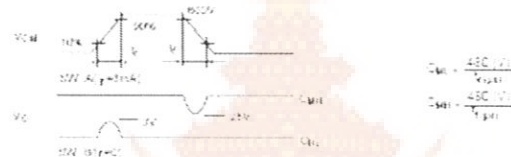
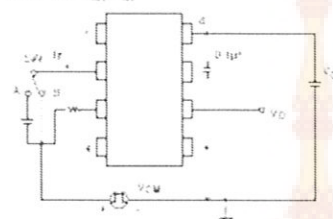
Test Circuit 15 - TLP260



2004-06-25

**TOSHIBA**

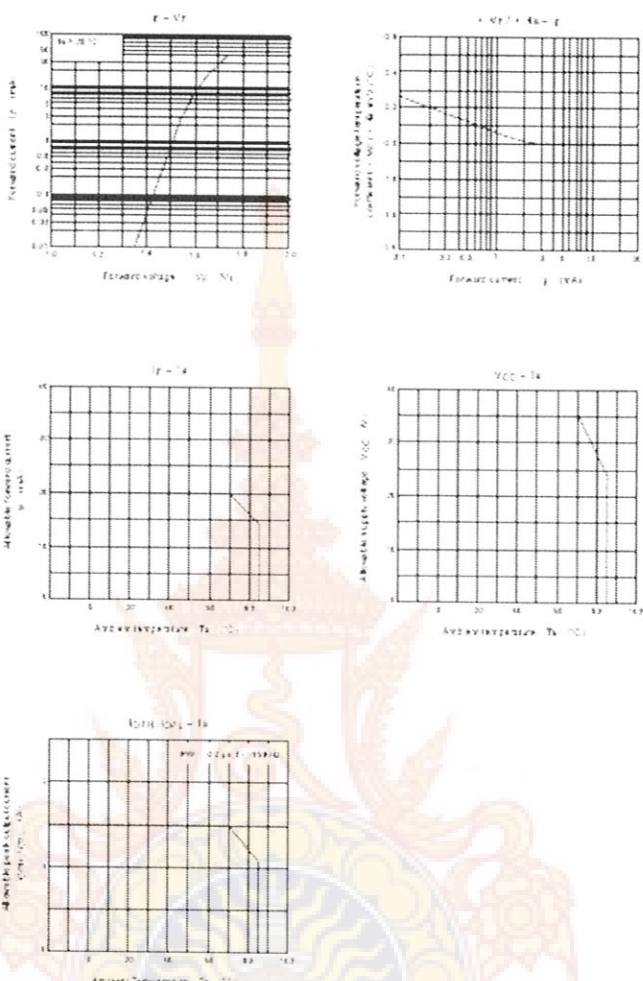
TLP250

Test circuit 6: V<sub>CM</sub> limit 5VTest circuit 7: V<sub>CM</sub> limit 5V

$dV_CM/dt$ : Rate of rise of the maximum rate of rise of the common mode voltage that can be sustained with the output voltage in the forward state.

**TOSHIBA**

TLP260



2004-06-25

**TOSHIBA**

TLP260

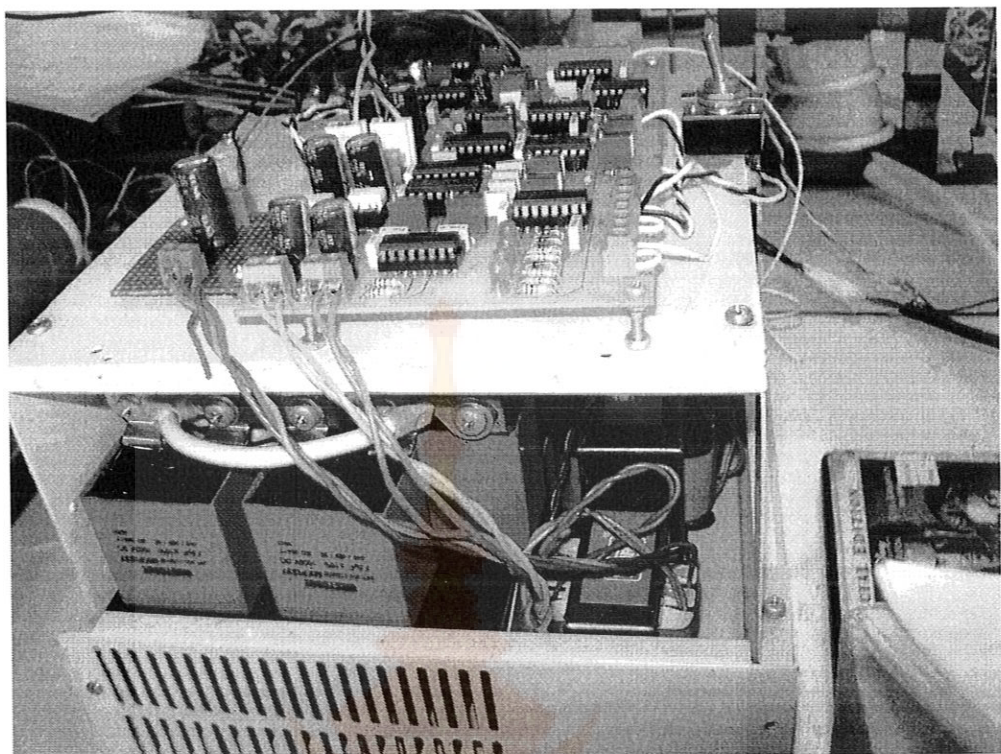


#### RESTRICTIONS ON PRODUCT USE

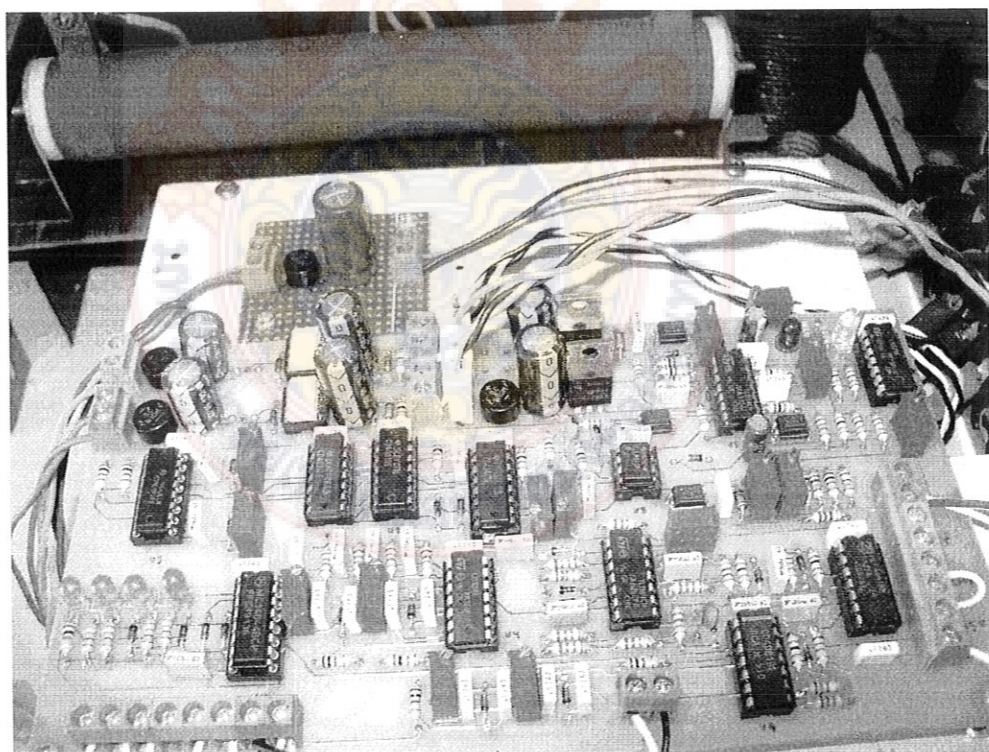
- The information contained herein is subject to change without notice.
- The information contained herein is presented only as a guide for the application of our products. No responsibility is assumed by TOSHIBA for any infringement of patents or other rights of the third parties which may result from its use. No license is granted by implication or otherwise under any patent or copyright of TOSHIBA or others.
- TOSHIBA is continually working to improve the quality and reliability of its products. Nevertheless, semiconductor devices in general can malfunction or fail due to their inherent electrical sensitivity and vulnerability to physical stress. Even the most reliable of the parts, when using TOSHIBA products, in concert with the elements of safety, mounting, circuit design for the entire system, and the usage situations in which it is included, can result in such failure if such failure could cause loss of human life, body injury or damage to property.
- In developing your design, please review the TOSHIBA products are used within specified operating ranges as set forth in the most recent TOSHIBA products specifications. Also, please refer to the procedure and conditions set forth in the Handling Guide for Semiconductor Devices (for TOSlink, the procedure is titled "Handling Guide").
- The TOSHIBA products listed in this document are intended for usage in general electronic products such as computers, personal equipment, office equipment, monitoring equipment, industrial robotics, domestic appliances, etc. These TOSHIBA products are further intended for embedded AI usage in equipment that requires extremely high quality and reliability or a multi-functionality of which any failure causes loss of human life or body injury (hereinafter "target"). Unintended usage include atomic energy control, infrastructure, aerospace, specialized instruments, transportation instruments, traffic signal instruments, aviation aircraft, railcars, medical instruments, all types of safety devices, etc. Unintended usage of TOSHIBA products listed in this document shall be made at the customer's own risk.
- The products described in this document are subject to the foreign exchange and foreign trade laws.
- TOSHIBA products should not be embedded to the power-harm products which are prohibited to be produced and sold under any law and regulation.
- Disassembly, Assembly, or reuse of this product. The lead of vapor is harmful to the human body. Do not break, cut, saw or disassemble.

## ภาคผนวก ข

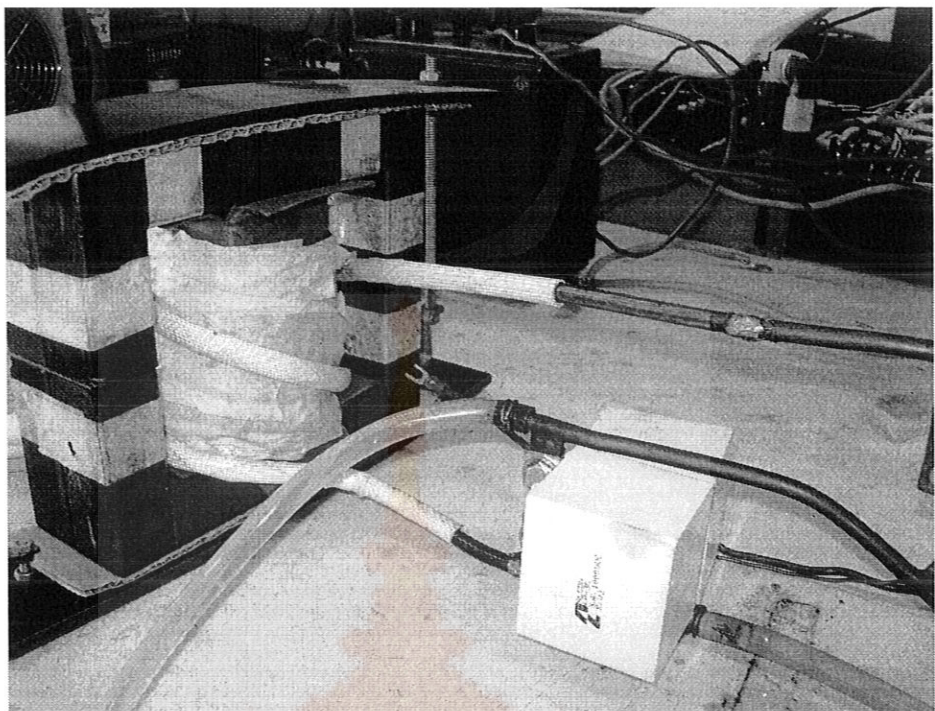




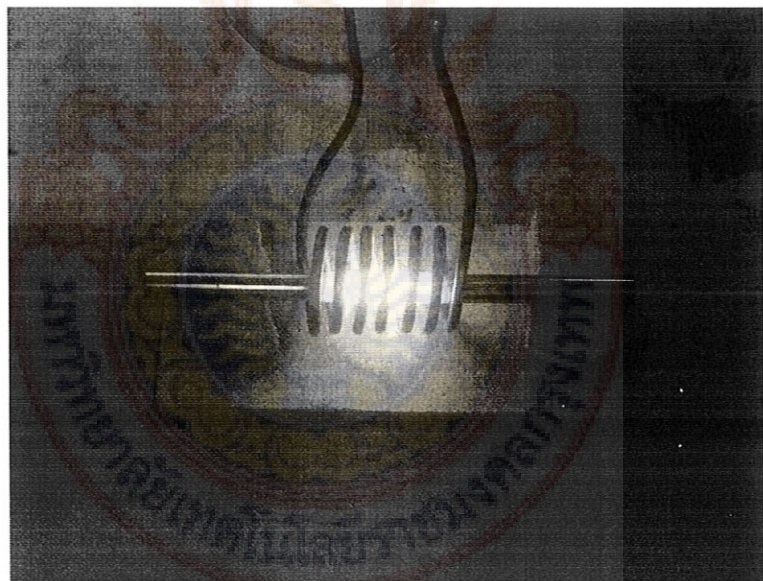
รูปที่ ข.1 เครื่องต้นแบบ



รูปที่ ข.2 วงจรควบคุม



รูปที่ ข.3 หม้อแปลงและเร โชแนนซ์คากาชินเตอร์



รูปที่ ข.4 แสดงชิ้นงานท่อสแตนเลสขนาดมีอุณหภูมิ  $900^{\circ}\text{C}$



## อินเวอร์เตอร์แบบครึ่งบริดจ์ความถี่สูงสำหรับเหนี่ยวนำความร้อนท่อสแตนเลส

### A High Frequency Half-Bridge Inverter for Stainless Pipe Induction Heating

สายชล ชุดเจ้อจีน\* วิเชียร หทัยรัตน์คิริ\* ปันธุ์ราษฎร์\*\*

และอนันต์ แสงสว่าง\*\*

\*ภาควิชาวิศวกรรมไฟฟ้าและโทรคมนาคม คณะวิศวกรรมศาสตร์ มหาวิทยาลัยเทคโนโลยีราชมงคลกรุงเทพ

2 ถนนนang ลิ้นจี่ สาทร ทุ่งมหาเมฆ กรุงเทพฯ 10140

\*\*ภาควิชาวิศวกรรมไฟฟ้า คณะวิศวกรรมศาสตร์ มหาวิทยาลัยเทคโนโลยีพระจอมเกล้าธนบุรี

126 ถนนประชาอุทิศ แขวงบางมด เขตทุ่งครุ กรุงเทพฯ

#### บทคัดย่อ

งานวิจัยฉบับนี้เสนอของอินเวอร์เตอร์แบบครึ่งบริดจ์ที่มีการควบคุมวงปีดแบบขานาน สำหรับงานให้ความร้อนท่อสแตนเลส อุปกรณ์สวิตซ์ใช้อิเล็กทรอนิกส์ที่เป็นตัวสวิตซ์ อินเวอร์เตอร์ถูกควบคุมให้ทำงานที่ย่านความถี่สูงกว่าเรโซแนนซ์ เพื่อให้สวิตซ์นำกระแสที่แรงดันเป็นศูนย์ วงจรควบคุมสามารถปรับกระแสและองศาเร็วขณะไม่มีโหลดได้โดยการปรับความถี่ เครื่องดันแบบมีกำลังด้านเดียวขนาด 3.95 กิโลวัตต์ ปรับความถี่อยู่ในย่าน 42-75 กิโลเฮิรตซ์ สามารถให้ความร้อนกับท่อสแตนเลสที่มีเส้นผ่าศูนย์กลางประมาณ 50 มม. ยาว 10 ซม. ให้มีอุณหภูมิสูงขึ้นจากอุณหภูมิห้องเป็น 900 องศาเซลเซียส ภายในเวลา 10 วินาที

คำหลัก อินเวอร์เตอร์แบบครึ่งบริดจ์ เเรโซแนนซ์ ความร้อน เหนี่ยวนำ

#### Abstract

This paper presents a closed-loop controlled half-bridge inverter for heating stainless steel tube. The IGBTs are used as switching devices. The operating frequency is controlled to be at a region higher than the resonant frequency for zero-voltage switching operation. The control circuit is designed to address no-load condition by reducing the load current through frequency variation. The hardware prototype operates with input power at 3.95 kW with the frequency ranging from 42 to 75 kHz. The circuit has been tested with a stainless steel tube with diameter of 50 mm and 10 cm long. The work piece has been heated from room temperature to 900 degree Celsius with in 10 seconds.

**Keywords:** Half-bridge inverter resonant, induction heating

#### 1. บทนำ

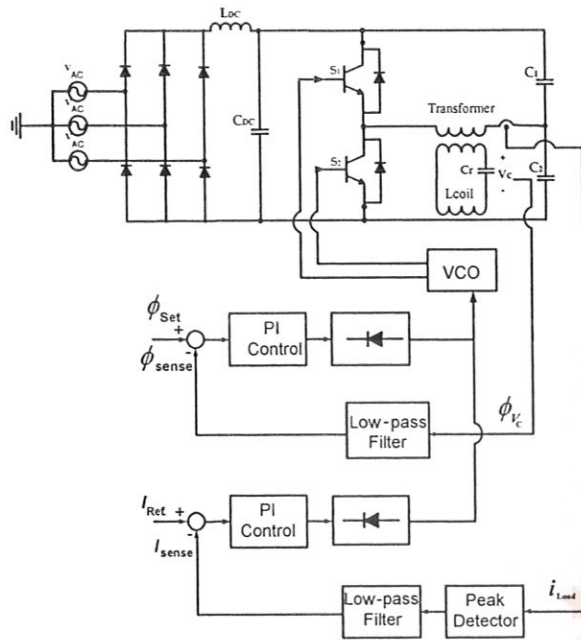
ปัจจุบันหลักการเหนี่ยวนำความร้อนได้มีการนำไปใช้งานได้หลากหลาย เช่น brazing, surface hardening, welding, forming และ melting ซึ่งในแต่ละงานจะต้องใช้ความถี่และกำลังไฟฟ้าแตกต่างกันขึ้นอยู่กับชนิดของงานและขนาดของโหลด[1] การให้ความร้อนแบบเหนี่ยวนำมีข้อดีคือ สามารถให้ความร้อนที่เกิดขึ้นเมื่อความสัมผัสมือทั้งชิ้นงาน ชิ้นงานกับแหล่งพลังงานไม่มีการสัมผัสกันโดยตรง ไม่ก่อให้เกิดผลพิพิธแก่สิ่งแวดล้อมเป็นด้าน[2] ลักษณะโดยทั่วไปของอินเวอร์เตอร์ที่ถูกนำมาใช้ในงานให้ความร้อนแบบเหนี่ยวนำแบ่งตามลักษณะของแหล่งจ่ายได้เป็น 2 ประเภทใหญ่ ๆ คือ อินเวอร์เตอร์ชนิดแหล่งจ่ายแรงดันคงที่และอินเวอร์เตอร์ชนิดแหล่งจ่ายกระแสที่ ซึ่งอินเวอร์เตอร์ชนิดแหล่งจ่ายแรงดันคงที่ยังคงใช้กันอยู่ในปัจจุบัน วงจรที่ถูกนำมาใช้มีอยู่มาก เช่น วงจรอินเวอร์เตอร์แบบตีมบบริดจ์ วงจรควบคุมเรโซแนนซ์ วงจรคลาสดี อินเวอร์เตอร์เป็นด้าน ซึ่งจะขึ้นอยู่กับกำลังไฟฟ้าที่ใช้

อินเวอร์เตอร์ชนิดแหล่งจ่ายแรงดันคงที่สำหรับเครื่องที่มีกำลังไม่เกิน 20 กิโลวัตต์จะนิยมใช้วิธีการควบคุมกำลังแบบปรับความถี่[3] เพราะเป็นวิธีที่ง่าย และจะร้ามีชั้บช้อน

ปัจจุบันวงจรควบคุมกำลังแบบปรับความถี่ที่ทำกัน โดยทั่วไปจะมีลักษณะที่ต่อ กันเป็นแบบแคสเคด โดยมีการควบคุมมุมเฟสที่สูงใน และสูญเสียควบคุมกระแสซึ่งการต่อแบบนี้ การปรับให้การควบคุมเป็นไปได้อย่างมีประสิทธิภาพทำได้ยาก เพราะการทั้งคุณในและสูญเสียความสัมพันธ์กัน จึงทำให้การควบคุมไม่อิสระจากกัน

ดังนั้นในงานวิจัยนี้นำเสนอของ จะ วงจรอินเวอร์เตอร์แบบครึ่งบริดจ์ ทำงานที่ย่านความถี่สูงกว่าเรโซแนนซ์ เพื่อให้สวิตซ์นำกระแสที่แรงดันเป็นศูนย์ มีการควบคุมกำลังโดยการปรับความถี่ที่วิ่งปีดแบบขานาน มีการควบคุมที่อิสระแยกจากกัน วงจรควบคุมสามารถปรับกระแสและองศาเร็วขณะไม่มีโหลดได้โดยการปรับความถี่

## 2. วงจรกำลังและวงจรควบคุม



รูปที่ 1 บล็อกไดอะแกรมของการควบคุมความถี่อัตโนมัติ

วงจรกำลังเป็นแบบอินเวอร์เตอร์อนุกรมเรโซแนนท์แบบครึ่งบริดจ์ ดังแสดงในรูปที่ 2 ประกอบด้วย พูลบริดจ์เรกเกอร์ไฟเออร์บัสฟิลเตอร์ ( $L_{DC}, C_{DC}$ ) วงจรอินเวอร์เตอร์แบบมีไอดิโอดต่อข่านแบบกลับหัว และหม้อแปลงแมดซิช วงจรอนุกรมเรโซแนนท์ประกอบด้วย ความต้านทาน ( $R$ ) ตัวเหนี่ยวนำ ( $L_{coil}$ ) และตัวเก็บประจุ ( $C_r$ ) อินเวอร์เตอร์มีแรงดันເອກพุทธຽปคลื่นสีเหลี่ยมและกระแสເອກพุทธຽปคลื่นไขช์น ทำงานที่ความถี่ใกล้ความถี่เรโซแนนท์

### 2.1 วงจรควบคุม

จากรูปที่ 3 บล็อกไดอะแกรมของการควบคุมถูกต่อแบบขานาน โดยความถี่อัตโนมัติ โดยการควบคุมแบ่งเป็น 2 วงปิด ประกอบด้วย ลูปเช็คคุณภาพ และลูปเช็คกระแสโดยที่แต่ละลูปทำงานแยกกันทำให้ออกแบบระบบได้ง่ายกว่าแบบคาสเดด ซึ่งจะมีผลจากลูป nok ระบบควบคุมในรูปที่ 3 ทำงานติดตามความถี่ให้อินเวอร์เตอร์ทำงานความถี่สูงกว่าความถี่เรโซแนนท์ตลอดเวลา และลูป nok คือควบคุมกำลังที่โหลดด้วยวิธีควบคุมกระแส

เฟสล็อกลูปทำหน้าที่ติดตามความถี่เพื่อให้อินเวอร์เตอร์ทำงานที่ความถี่สูงกว่าความถี่เรโซแนนท์ตลอดเวลา โดยที่หม้อแปลงกระแสจะตรวจวัดกระแสโดยโหลด และอินเวอร์เตอร์แหล่งจ่ายแรงดันซึ่งสัญญาณขับสวิตช์ตรงกับเฟสแรงดันสีเหลี่ยมที่ด้านເອກพุทธของอินเวอร์เตอร์ นำไปเปรียบเทียบกับเฟสของแรงดันที่ด้านເອກพุทธที่ได้จะเป็น Duty cycle ความต่างเฟสที่มีความถี่เท่ากัน และถูกกรองด้วยวงจรความถี่ต่ำเพื่อเลี้ยให้ได้ค่าแรงดันไฟตรง

แล้วนำไปเปรียบเทียบกับ Phase set ที่ตั้งไว้ โดยที่ Phase set จะดึงไว้ที่ความถี่สูงกว่าความถี่เรโซแนนท์เล็กน้อย ซึ่งจะควบคุมความถี่ในการทำงานของลูปติดตามความถี่ต่อไป ค่าความผิดพลาดที่ได้จะถูกป้อนเข้า PI Control ควบคุมการทำงานความถี่ของอินเวอร์เตอร์

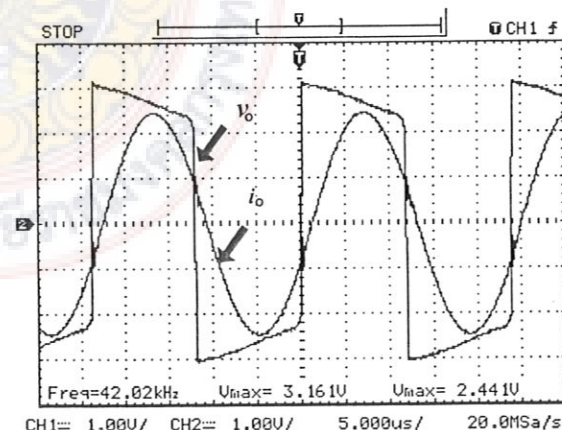
การควบคุมกำลังที่โหลดด้วยวิธีการควบคุมกระแส โดยกำลังสูงสุดจะอยู่ที่ใกล้ความถี่เรโซแนนท์และกำลังจะลดลงเมื่อความถี่สูงขึ้น โดยที่วงจร Peak detector จะรับสัญญาณไซน์จากหม้อแปลงกระแสและแปลงเป็นสัญญาณซึ่งบวกทั้งหมด และถูกกรองด้วยวงจรความถี่ต่ำเพื่อเลี้ยให้ได้ค่าแรงดันไฟตรงแล้วนำไปเปรียบเทียบกับกระแสที่ตั้งไว้ ค่าความผิดพลาดที่ได้จะถูกป้อนเข้า PI Control

## 3. ผลการทดลอง

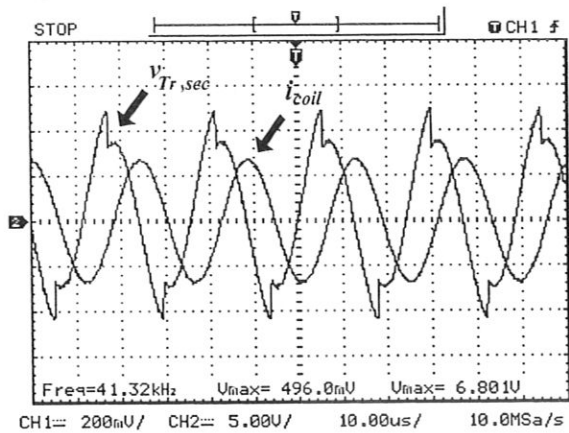
ทำการทดลองวงจรอินเวอร์เตอร์แบบครึ่งบริดจ์ที่สภาวะฟูลโหลด ขณะขั้นตอนร้อน  $900^{\circ}\text{C}$  และขณะไม่มีโหลดกันที่กันได โดยใช้ค่าตามตารางที่ 1

ตารางที่ 1. พารามิเตอร์ของวงจรอินเวอร์เตอร์แบบครึ่งบริดจ์

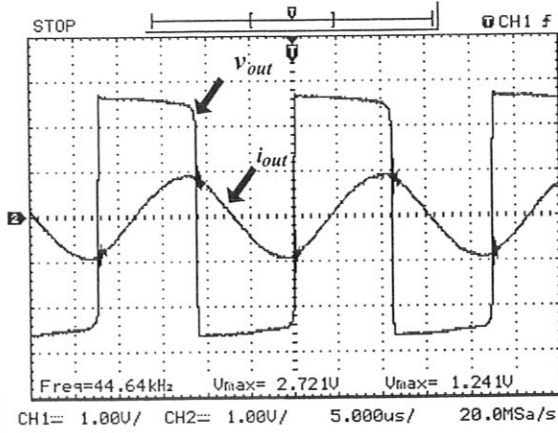
พารามิเตอร์	สัญลักษณ์	ปริมาณ
แรงดันอินพุต 3 เฟส	$V_{ac}$	$380 \text{ V}_{rms}$
ความถี่สิ่วตัว	$f$	$42-75 \text{ kHz}$
ค่าปารามิเตอร์เรโซแนนท์	$C_r$	$3 \mu\text{F}$
ขนาดตัวเหนี่ยวนำ	$L_{coil}$	$4.7-3.5 \mu\text{H}$
ค่าปารามิเตอร์แบ่งแรงดัน	$(C_1, C_2)$	$1.5 \mu\text{F}$
อัตราส่วนหม้อแปลง	$n_1/n_2$	10
สวิตช์	$S_1, S_2$	CM100DU-12H



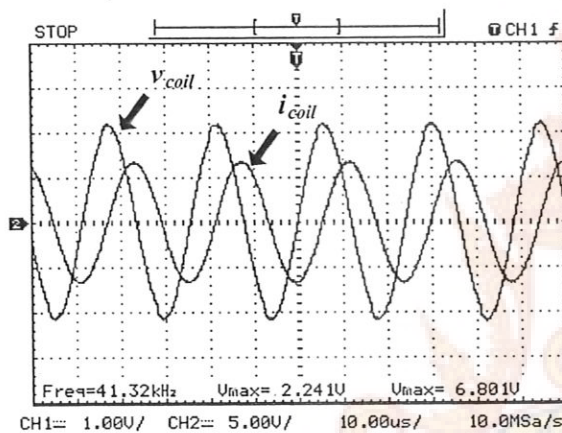
รูปที่ 2 แสดงสัญญาณแรงดันด้านออก ( $V_o$ ) และสัญญาณกระแส ( $i_o$ ) ของชุดปฐมภูมิหม้อแปลง ของอินเวอร์เตอร์แบบครึ่งบริดจ์ ( $i_o : 24.4A/\text{div}, V_o : 316 \text{ V}/\text{div}$  ที่  $5 \mu\text{s}/\text{div}$ .)



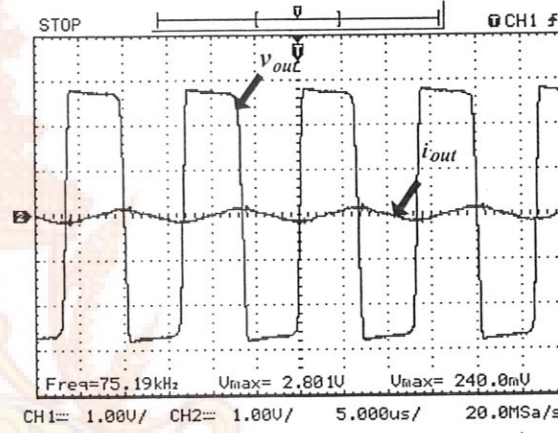
รูปที่ 3 ผลการทดลองของวงจรอินเวอร์เตอร์แบบครึ่งบริดจ์ สัญญาณแรงดัน (  $V_{Tr,sec}$  ) ของดุจดิยภูมิของหม้อแปลงและสัญญาณกระแส ขนาดดันหนี่ยวน้ำ ( $i_{coil}$ ) ( $i_{coil}$  : 680A/div,  $V_{Tr,sec}$  : 49.6 V/div ที่  $10 \mu\text{s} / \text{div.}$ )



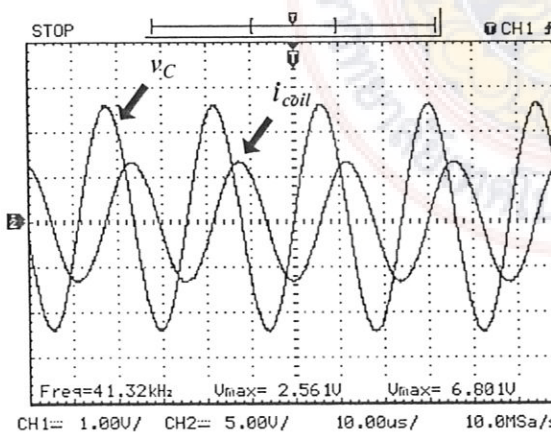
รูปที่ 6 แสดงสัญญาณแรงดันด้านออก ( $V_o$ ) และสัญญาณกระแส ( $i_o$ ) ของดุจดิยภูมิหม้อแปลง ของอินเวอร์เตอร์แบบครึ่งบริดจ์ เมื่อชั้นงานร้อนที่อุณหภูมิ 900°C ( $i_{coil}$  : 124A/div,  $V_{out}$  : 272 V/div ที่  $5 \mu\text{s} / \text{div.}$ )



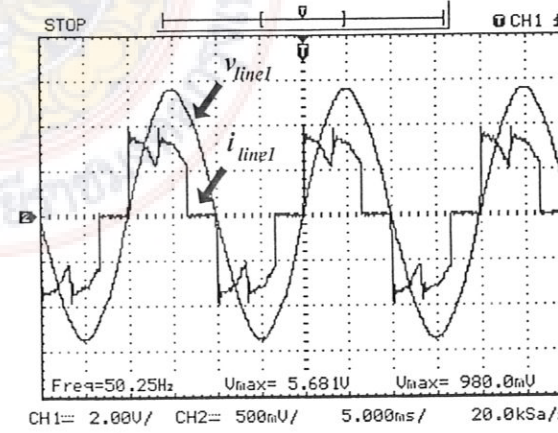
รูปที่ 4 ผลการทดลองของวงจรอินเวอร์เตอร์แบบครึ่งบริดจ์ สัญญาณแรงดันดัน漉ดหนี่ยวน้ำ ( $V_{coil}$ ) และสัญญาณกระแส ( $i_{coil}$ ) ที่ขด漉ดหนี่ยวน้ำ ( $i_{coil}$  : 680A/div,  $V_{coil}$  : 224 V/div ที่  $10 \mu\text{s} / \text{div.}$ )



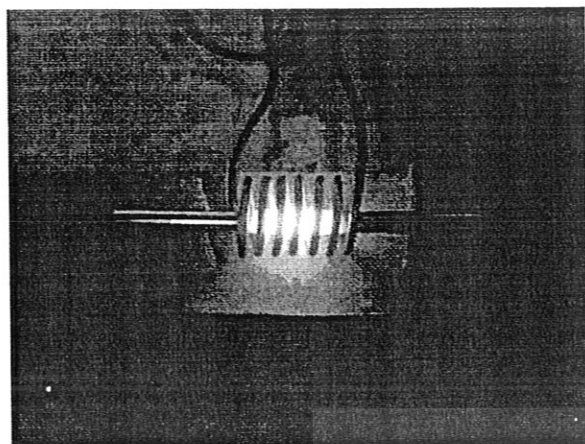
รูปที่ 7 ผลการทดลองของวงจรอินเวอร์เตอร์แบบครึ่งบริดจ์ ขณะไม่มีโหลดสัญญาณแรงดันด้านออกของอินเวอร์เตอร์ ( $V_o$ ) และสัญญาณกระแสของดุจดิยภูมิของหม้อแปลง ( $i_o$ ) ( $i_{coil}$  : 24A/div,  $V_{out}$  : 280 V/div ที่  $5 \mu\text{s} / \text{div.}$ )



รูปที่ 5 ผลการทดลองของวงจรอินเวอร์เตอร์แบบครึ่งบริดจ์ สัญญาณแรงดันดักครัวที่เรโซแนนซ์คาป่าเชิงต่อ ( $V_c$ ) และ สัญญาณกระแสของขด漉ดหนี่ยวน้ำ ( $i_{coil}$ ) ( $i_{coil}$  : 680A/div,  $V_c$  : 256 V/div ที่  $10 \mu\text{s} / \text{div.}$ )



รูปที่ 8 แสดงภาพสัญญาณแรงดันและกระแสทางด้าน อินพุต 380 โวลต์ 50 Hz โดยวัดมาจากเฟสที่ 1 ( $V_{line1}$  : 98A/div,  $V_{line1}$  : 568 V/div ที่  $5 \text{ ms} / \text{div.}$ )



รูปที่ 9 แสดงชิ้นงานท่อสแตนเลสขนาดมีอุณหภูมิ  $900^{\circ}\text{C}$

รูปที่ 2 แสดงสัญญาณแรงดันด้านออก ( $V_o$ ) และสัญญาณกระแส ( $i_o$ ) ของขดปฐมภูมิหม้อแปลง ของอินเวอร์เตอร์แบบคั่งบริดจ์ ที่ความถี่  $42.02\text{ kHz}$  ขณะชิ้นงานมีอุณหภูมิห้อง รูปที่ 3 แสดงของ สัญญาณแรงดัน ( $V_{Tr,sec}$ ) ขดทุติกวิมิองหม้อแปลงและสัญญาณกระแสคลอดเหนี่ยวนำ ( $i_{coil}$ ) การทดลองของวงจรอินเวอร์เตอร์แบบคั่งบริดจ์ รูปที่ 4 และรูปที่ 5 แสดงสัญญาณแรงดันของคลอด เหนี่ยวนำ ( $V_{coil}$ ) สัญญาณกระแส ( $i_{coil}$ ) ที่ขดลวดเหนี่ยวนำ และสัญญาณแรงดันต่อกรุ่มที่เรโซแนนซ์คากาชิตเตอร์ ( $V_c$ ) โดย แสดงให้เห็นว่ากระแสที่ขดลวดเหนี่ยวนำจะทำมุ่งห่างจากแรงดัน แรงดันต่อกรุ่มที่เรโซแนนซ์คากาชิตเตอร์และคลอดเหนี่ยวนำอยู่  $90$  องศา รูปที่ 6 แสดงสัญญาณแรงดันด้านออก ( $V_o$ ) และสัญญาณกระแส ( $i_o$ ) ของขดปฐมภูมิหม้อแปลง ของอินเวอร์เตอร์แบบคั่ง บริดจ์ เมื่อชิ้นงานแร็อนที่อุณหภูมิ  $900^{\circ}\text{C}$  มีการปรับความถี่ไปที่  $44.64\text{ kHz}$  เพื่อลดกระแส รูปที่ 7 ผลการทดลองของวงจร อินเวอร์เตอร์แบบคั่งบริดจ์ขณะไม่มีโหลดสัญญาณแรงดันด้าน ออกของอินเวอร์เตอร์ ( $V_o$ ) และสัญญาณกระแสของขดปฐมภูมิ ของหม้อแปลง ( $i_o$ ) ซึ่งแสดงให้เห็นว่าวงจรควบคุมสามารถปรับ ความถี่ได้สูงขึ้นไปที่  $75.10\text{ kHz}$  เพื่อปรับกระแสลดลงโดยที่สวิตซ์ ไอีบีที่ไม่เกิดความเสียหาย รูปที่ 8 แสดงภาพสัญญาณแรงดัน และกระแสทางด้านอินพุต  $380$  โวลต์  $50\text{ Hz}$  โดยวัดมาจากเฟสที่ 1 ซึ่งจากรูปคลื่นกระแสเรียงคงอยู่ในองค์ประกอบคากาชิตเตอร์ที่ใช้บนมัลติมิเตอร์ที่มีค่าน้อย

#### 4. สรุป

วงจรอินเวอร์เตอร์แบบคั่งบริดจ์ที่ถูกควบคุมโดยyang ระหว่าง ควบคุมวงปิดแบบขานานที่นำเสนอ สามารถปรับความถี่อัดโนมัติให้ สูงขึ้นอย่างรวดเร็วเพื่อลดกระแสและชั้นงานมีอุณหภูมิที่กู้รีและใน ภาวะไม่มีโหลดได้อย่างรวดเร็ว ป้องกันการพังเสียหายจากการ ได้เป็นอย่างดีการทำงานอยู่ในช่วงความถี่สูงกว่าเรโซแนนซ์ ตลอดเวลา ทำให้ได้การสวิตซ์ที่แรงดันเป็นศูนย์ ช่วยลดการสูญเสีย ที่สวิตซ์เป็นอย่างดี แรงดันด้านออกของอินเวอร์เตอร์เป็นรูป สี่เหลี่ยมที่มีค่าเป็นคั่งหนึ่งของแรงดันดีซีบัส ทำให้การเลือกใช้โซลูชันที่ถูกต้อง

#### เอกสารอ้างอิง

- [1] E.J. Davies, J. and Simpson, P., 1979, Induction Heating Handbook, McGraw-Hill, UK.
- [2] C. Chuenwattanapraniti, C. koompai and V. Monyakul "Half-Bridge Current Fed Inverter Power Supply for Forging Application," 25<sup>th</sup> Electrical Engineering Conference, Thailand, pp. 97 – 101, 2002
- [3] Viriya, P.; Sittichok, S.; Matsuse, K.; "Analysis of High-Frequency Induction Cooker with Variable Frequency Power Control," PCC Osaka 2002, vol.3, April, pp. - 1502 1507
- [4] J. M. Burdio, F. Canales, P. M. Barbosa, and F. C. Lee, "A comparison study of fixed-frequency control strategies for ZVS dc/dc series resonant converters," in Proc. IEEE Power Electronics Specialists Conf. (PESC), 2001, pp. 427–432.
- [5] José M. Espí Huerta, Enrique J. Dede García Santamaría, Rafael García Gil, and Jaime Castelló Moreno, " Design of the L-LC Resonant Inverter for Induction Heating Based on Its Equivalent SRI , " IEEE Trans. Ind. Electron., vol. 54, no.6, Dec 2007
- [6] L. Grajales and F. C. Lee "Control system design and small-signal analysis of a phase-shift controlled series-resonant inverter for induction heating," IEEE Power Electron. Spec. Conf. (PESC), 1995, pp. 450–456
- [7] Chudjuarjeen, S. and Koompai, C., 2007, "A High-Frequency Induction Cooker using Qusai-resonant Converter", ECTI-CONFERENCE 2007 pp.378-381.
- [8] Chudjuarjeen, S. and Koompai, C., 2008, "Asymmetrical control with Phase Lock Loop for Induction Cooking Appliances", ECTI-CONFERENCE 2008 pp. 1013-1016

## ประวัติผู้จัด

- 1 ชื่อ และ นามสกุล นายสา衣ชล ชุดเจือจีน Mr. Saichol Chudjuarjeen
- 2 หมายเลขบัตรประชาชน 3-2501-00418-89-1
- 3 ตำแหน่งปัจจุบัน อาจารย์พนักงานมหาวิทยาลัย สาขาที่ทำการวิจัย สาขาวิศวกรรมไฟฟ้า
- 4 สถานที่ติดต่อ ที่ทำงานปัจจุบัน สาขาวิชาชีวกรรมไฟฟ้า คณะวิศวกรรมศาสตร์ มหาวิทยาลัยเทคโนโลยีราชมงคลกรุงเทพ เลขที่ 2 ถนน นางลินจี้ แขวงทุ่งมหาเมฆ เขตสาทร กรุงเทพฯ รหัสไปรษณีย์ 10120 โทรศัพท์ 0 2286 9629 ที่อยู่ปัจจุบัน 1/26 หมู่ 8 บางมด จอมทอง กรุงเทพฯ E-mail address c\_somchai2@hotmail.com

## 5. ประวัติการศึกษา

ระดับ การศึกษา	อักษรย่อ ปริญญา	วิชาเอก	สถานศึกษา	ปีที่ สำเร็จ	ประเทศ
ปริญญาโท	ว.ศ.ม.	วิศวกรรมไฟฟ้า	มหาวิทยาลัยเทคโนโลยี พระจอมเกล้าธนบุรี	2547	ไทย
ปริญญาตรี	ว.ศ.บ.	วิศวกรรมไฟฟ้า	มหาวิทยาลัยเทคโนโลยีมหานคร	2543	ไทย

6. สาขาวิชาการที่มีความชำนาญพิเศษ อิเล็กทรอนิกส์กำลัง Induction Heating

7. ประสบการณ์ที่เกี่ยวข้องกับการบริหารงานวิจัยทั้งภายในและภายนอกประเทศไทย โดยระบุ

สถานภาพในการทำวิจัยว่าเป็นผู้อำนวยการแผนงานวิจัย หัวหน้าโครงการวิจัย หรือผู้ร่วมวิจัยในแต่ละข้อเสนอการวิจัย

7.1 ผู้อำนวยการแผนงานวิจัย: ชื่อแผนงานวิจัย

7.2 หัวหน้าโครงการวิจัย: ชื่อโครงการวิจัย

7.3 งานวิจัยที่ทำเสร็จแล้ว: ชื่อผลงานวิจัย ปีที่พิมพ์ การเผยแพร่ และแหล่งทุน

### 7.3 งานวิจัยที่ทำเสร็จแล้ว: ชื่อผลงานวิจัย ปีที่พิมพ์ การเผยแพร่ และแหล่งทุน

Chudjuarjeen, S., Koompai, C. and Monyakul, V. 2004, “Full-bridge current-fed inverter with automatic frequency control for forging application”, PROC. IEEE Conf., Vol. 4, Nov. 2004  
Page(s):128 - 131

Chudjuarjeen, S., Koompai, C. and Monyakul, V., 2004, “Automatic Frequency Control Current Source Inverter for Forging Application”, International Conference on Control Automation and System, pp. 238-242.

สายชล ชุดเจ้อจีน ชัยนต์ คุ้มภัย และ วีรพล โนนยะกุล, 2545, “เครื่องให้ความร้อนแบบเห็นี่ยวนำสำหรับงานทุบขึ้นรูปโลหะ โดยใช้อินเวอร์เตอร์แคลงจ่ายกระแสเติมบริดจ์”, การประชุมวิชาการทางวิศวกรรมไฟฟ้า ครั้งที่ 27, หน้า 421-424

สายชล ชุดเจ้อจีน และ ชัยนต์ คุ้มภัย, 2549, “เตาหุงต้มเห็นี่ยวนำความถี่สูงโดยใช้วงจรควบคุมไฮ-เรโซแนนซ์คอนเวอร์เตอร์”, การประชุมวิชาการ มหาวิทยาลัยเกษตรศาสตร์ วิทยาเขตกำแพงแสน ครั้งที่ 3, หน้า 99-105

Chudjuarjeen, S. and Koompai, C., 2007, “A High-Frequency Induction Cooker using Qusai-resonant Converter”, ECTI-CONFERENCE 2007 pp. 378-381.

### 7.4 งานวิจัยที่กำลังทำ: ชื่อข้อเสนอการวิจัย แหล่งทุน และสถานภาพการทำวิจัย ว่าได้ทำการวิจัยถูกต้องแล้วประมาณเท่าใด

สายชล ชุดเจ้อจีน “เตาหุงต้มเห็นี่ยวนำความถี่สูงโดยใช้วงจรควบคุมไฮ-เรโซแนนซ์คอนเวอร์เตอร์” (หัวหน้าโครงการวิจัย) ได้รับทุนสนับสนุนงานวิจัยจากงบประมาณประจำปี 2551 ทำการวิจัยถูกต้องแล้ว

#### ประวัติผู้ร่วมวิจัย

1 ชื่อ และ นามสกุล นาย วิเชียร \_hatairatsiri  
Mr. Vichian Hatairatsiri

2 หมายเลขบัตรประชาชน 3-1009-05333-893-18  
3 ตำแหน่งปัจจุบัน

อาจารย์ 2 ระดับ 7  
สาขาวิชาที่ทำการวิจัย สาขาวิศวกรรมไฟฟ้า

#### 4. สถานที่ติดต่อ

ที่ทำงานปัจจุบัน สาขาวิชาวิศวกรรมไฟฟ้า คณะวิศวกรรมศาสตร์  
มหาวิทยาลัยเทคโนโลยีราชมงคลรังสิต เลขที่ 2 ถนนนanglinji แขวง  
ทุ่งมหาเมฆ เขตสาทร กรุงเทพฯ รหัสไปรษณีย์ 10120 โทรศัพท์ 0 2286  
9629  
ที่อยู่ปัจจุบัน 1/174 ม. 5 หนองแymb ประเวศ กรุงเทพฯ  
E-mail address: vichen\_174@hotmail.com

#### 5. ประวัติการศึกษา

ระดับ การศึกษา	อักษรย่อ ปริญญา	วิชาเอก	สถานศึกษา	ปีที่ สำเร็จ	ประเทศ
ปริญญาตรี	วศ.บ.	วิศวกรรมไฟฟ้า	มหาวิทยาลัยเทคโนโลยีราชมงคลธัญบุรี	2543	ไทย

6. สาขาวิชาการที่มีความชำนาญพิเศษ Induction Heating

7. ประสบการณ์ที่เกี่ยวข้องกับการบริหารงานวิจัยทั้งภายในและภายนอกประเทศ โดยระบุ  
สถานภาพในการทำวิจัยว่าเป็นผู้อำนวยการแผนงานวิจัย หัวหน้าโครงการวิจัย หรือผู้ร่วมวิจัยในแต่  
ละข้อเสนอการวิจัย

7.1 ผู้อำนวยการแผนงานวิจัย: ชื่อแผนงานวิจัย

7.2 หัวหน้าโครงการวิจัย: ชื่อโครงการวิจัย

7.3 งานวิจัยที่ทำเสร็จแล้ว: ชื่อผลงานวิจัย ปีที่พิมพ์ การเผยแพร่ และแหล่งทุน

7.4 งานวิจัยที่กำลังทำ: ชื่อข้อเสนอการวิจัย แหล่งทุน และสถานภาพการทำวิจัย ว่าได้ทำ  
การวิจัยลุล่วงแล้วประมาณเท่าใด